

## โครงการวิทยาศาสตร์

การศึกษาการซ้อนทับกันของรูปสามเหลี่ยมเพื่อให้ได้พื้นที่ซ้อนทับที่มาก  
ที่สุดภายใต้การเลื่อนขนานและการหมุน

Study of Overlapped Triangles with the Maximal Overlapped  
Area under Translation and Rotation

นายภูมิ เลิศภิญโญวงศ์

นางสาวนพวรรณ วัฒนาวนิชกุล

นายกฤตเมธ เลี้งรักษา

สาขาวิชาคณิตศาสตร์  
โรงเรียนมหาดเล็กวิทยานุสรณ์ (องค์การมหาชน)  
ปีการศึกษา 2557



ใบรับรองโครงการวิทยาศาสตร์  
โรงเรียนมหิดลวิทยานุสรณ์ (องค์การมหาชน)

มัธยมศึกษาตอนปลาย

คณิตศาสตร์

หลักสูตร

สาขาวิชา

การศึกษาการซ้อนทับกันของรูปสามเหลี่ยมเพื่อให้ได้พื้นที่ซ้อนทับที่มากที่สุดภายใต้การ  
เลื่อนขนาและหมุน

Study of Overlapped Triangles with the Maximal Overlapped Area under  
Translation and Rotation

นามผู้ทำโครงการ นาย ภูมิ เลิศภิญโญวงศ์ ม. 5/5 เลขประจำตัวนักเรียน 06536  
นางสาว นวพรณ วัฒนาวนิชกุล ม. 5/8 เลขประจำตัวนักเรียน 06592  
นาย กฤตเมธ เลิ่งรักษा ม. 5/6 เลขประจำตัวนักเรียน 06549

ได้พิจารณาเห็นชอบโดย

ประธานกรรมการ.....วันที่.....เดือน.....พ.ศ. 2558  
(อาจารย์สิทธิโชค โสมอํมา)  
กรรมการ.....วันที่.....เดือน.....พ.ศ. 2558  
(ดร.นศร จันละ)  
กรรมการ.....วันที่.....เดือน.....พ.ศ. 2558  
(ดร.ธรรมนูญ ผุยรอด)  
กรรมการ.....วันที่.....เดือน.....พ.ศ. 2558  
(อาจารย์จีรวรรณ บัวประทุม)  
หัวหน้าสาขาวิชาคณิตศาสตร์.....วันที่.....เดือน.....พ.ศ. 2558  
(อาจารย์ชิดเฉลิม คงประดิษฐ์)

หัวข้อโครงการ	การศึกษาการซ้อนทับกันของรูปสามเหลี่ยมเพื่อให้ได้พื้นที่ซ้อนทับที่มากที่สุดภายใต้การเลื่อนขานและการหมุน
ผู้ทำโครงการ	นายภูมิ เลิศภิญโญวงศ์ นางสาวนพวรรณ วัฒนาวนิชกุล และ นายกฤษณะ เมธะ เลี้งรักษากา
อาจารย์ที่ปรึกษา	อ.สิทธิโชค โสมอํา และ ผศ.ดร.วัชรินทร์ วิชิรมาลา
สาขาวิชา	คณิตศาสตร์
โรงเรียน	มหาวิทยาลัยสารนาถ ปีการศึกษา 2557

### บทคัดย่อ

ปัญหาเกี่ยวกับพื้นที่ซ้อนทับเป็นหนึ่งในปัญหาทางคณิตศาสตร์ที่มีผู้คนสนใจอย่างกว้างขวาง งานวิจัยนี้ศึกษาเกี่ยวกับพื้นที่ซ้อนทับที่มากที่สุดของรูปสามเหลี่ยมสองรูปใดๆ ภายใต้การเลื่อนขานและการหมุนแต่ไม่รวมถึงการสะท้อน โดยขั้นแรกจะทำการสังเกตการจัดเรียงของรูปสามเหลี่ยมสองรูปใดๆ ที่ทำให้พื้นที่ซ้อนทับมีค่ามากที่สุดโดยใช้โปรแกรม The Geometer's Sketchpad (GSP) หลังจากนั้นก็จะทำการสร้างและพิสูจน์ข้อคาดเดา ผลปรากฏว่าพื้นที่ซ้อนทับที่มากที่สุดของรูปสามเหลี่ยมสองรูปซึ่งไม่มีรูปใดถูกซ้อนทับโดยอีกรูปหนึ่งได้อย่างสนิทแน่นจะเกิดขึ้นเมื่อสามเหลี่ยมทั้งสองรูปมีด้าน 1 ด้านที่อยู่บนเส้นตรงเดียวกันและซ้อนทับกัน หรืออาจเกิดขึ้นเมื่อสามเหลี่ยมสองรูปจัดเรียงตัวเป็นรูปร่างคล้ายรูปดาว 6 แฉก (Star-shaped) ซึ่งในกรณีแรกนั้นจะสามารถหาตำแหน่งการจัดเรียงของรูปสามเหลี่ยมที่ทำให้พื้นที่ซ้อนทับมีค่ามากที่สุด อย่างไรก็ตาม ในกรณีที่สองยังจำเป็นต้องใช้เครื่องมือหรือวิธีการที่มีความซับซ้อนมากขึ้นในการที่จะหาตำแหน่งที่ทำให้พื้นที่ซ้อนทับมีค่ามากที่สุด ซึ่งเป็นหัวข้อที่น่าสนใจและควรแก่การศึกษาต่อไป

**Research Title** Study of Overlapped Triangles with the Maximal Overlapped Area under Translation and Rotation

**Researchers** Mr. Poom Lertpinyowong, Miss Nawapan Wattanawanichkul and Mr. Kittamed Lengrusa

**Advisors** Mr. Sittichoke Som-am, Asst. Prof. Dr. Wacharin Wichiramala

**Department** Mathematics

**School** Mahidol Wittayanusorn      **Academic Year** 2014

---

### Abstract

Problems about overlapped area are also one of the problems that many mathematicians have studied for decades. In this research, the maximal overlapped area of two arbitrary triangles under translation and rotation were studied. Reflection is not allowed during the process of the research. First, we observed the arrangement of two arbitrary triangles that maximized the overlapped area by using The Geometer's Sketchpad (GSP) and made some conjectures. The results showed that the maximal overlapped area of two triangles that one cannot cover another one occurs when one side of each triangle lies on the same line, overlapping each other, or when two triangles form a star-shaped. In the first case, we could find the unique position of the triangles that gave the maximal overlapped area. However, in the second case, it might require more tools to help us finding the position that give the maximal overlapped area. That is an interesting topic that needs further clarification.

## กิตติกรรมประกาศ

คณบดีวิจัยขอขอบคุณ อ.สิทธิโชค โสมอํา สาขาวิชาคณิตศาสตร์ โรงเรียนมหาวิทยาลัยศรีปทุม และ พศ.ดร.วัชรินทร์ วิชิรมาลา สาขาวิชาคณิตศาสตร์และวิทยาการคอมพิวเตอร์ ภาควิชาวิทยาศาสตร์ จุฬาลงกรณ์มหาวิทยาลัย เป็นอย่างยิ่ง ที่ได้ให้คำแนะนำและคำปรึกษาที่เป็นประโยชน์อย่างยิ่งต่อการทำงานวิจัยขึ้นนี้ให้สำเร็จลุล่วงไปได้ด้วยดี

คณบดีวิจัย

19 กุมภาพันธ์ 2558

# สารบัญ

	หน้า
บทคัดย่อภาษาไทย	๑
บทคัดย่อภาษาอังกฤษ	๒
กิตติกรรมประกาศ	๓
สารบัญ	๔
สารบัญภาพ	๘
<b>บทที่</b>	
<b>1 บทนำ</b>	
1.1 ความสำคัญและที่มาของโครงการ	1
1.2 วัตถุประสงค์ของโครงการ	2
1.3 ขอบเขตของการศึกษา	2
1.4 ระยะเวลาทำโครงการ	2
1.5 สถานที่ทำโครงการ	2
1.6 ประโยชน์ที่คาดว่าจะได้รับ	2
<b>2 เอกสารและงานวิจัยที่เกี่ยวข้อง</b>	
2.1 บทนิยามพื้นฐานทางเรขาคณิต	3
2.2 ทฤษฎีบทพื้นฐานทางเรขาคณิต	5
2.3 ทฤษฎีบทเรขาคณิตกับตรีゴโนมิตริ	6
2.4 การเลื่อนขนานและการหมุน	6

## สารบัญ (ต่อ)

บทที่	หน้า
2.5 การซ่อนทับของรูปหลายเหลี่ยม 2 รูป ภายใต้การเลื่อนขาน	7
2.6 การตรวจหาว่ารูปหลายเหลี่ยมมุนสองรูปใดๆ ซ่อนทับกันหรือไม่	7
<b>3 วิธีดำเนินการทดลอง</b>	
3.1 เครื่องมือที่ใช้ในการศึกษา	8
3.2 วิธีดำเนินการศึกษา	8
<b>4 ผลการทดลอง</b>	
4.1 การตัดกรณีการวางแผนเหลี่ยมสองรูปที่ไม่ทำให้เกิดพื้นที่ซ้อนทับสูงสุด	9
4.2 การหาตำแหน่งของรูปสามเหลี่ยมสองรูปที่มีด้านร่วมกัน 1 ด้าน ภายใต้การเลื่อนขานที่ทำให้พื้นที่ซ้อนทับที่มากที่สุด	62
<b>5 สรุปและวิจารณ์ผลการทดลอง</b>	106
<b>บรรณานุกรม</b>	108
<b>ประวัติผู้วิจัย</b>	109

## สารบัญภาพ

ภาพที่		หน้า
2.1.1	มุมประชิด	3
2.1.2	ภาพประกอบบทนิยามที่ 2.1.11	4
4.1.1	รูปแสดงตีกรีของจุดยอดที่ตำแหน่งต่างๆ	9
4.1.1.1.1	รูปประกอบการพิสูจน์บทตั้งที่ 4.1.1.1 กรณีที่ 1	10
4.1.1.1.2	รูปประกอบการพิสูจน์บทตั้งที่ 4.1.1.1 กรณีที่ 2	11
4.1.1.1.3	รูปประกอบการพิสูจน์บทตั้งที่ 4.1.1.1 กรณีที่ 3	11
4.1.1.2.1	รูปประกอบการพิสูจน์บทตั้งที่ 4.1.1.2 กรณีที่ 1	12
4.1.1.2.2	รูปประกอบการพิสูจน์บทตั้งที่ 4.1.1.2 กรณีที่ 2	12
4.1.1.2.2.1	รูปประกอบการพิสูจน์บทตั้งที่ 4.1.1.2 กรณีที่ 2.1	12
4.1.1.2.2.2	รูปประกอบการพิสูจน์บทตั้งที่ 4.1.1.2 กรณีที่ 2.2	13
4.1.1.2.2.3	รูปประกอบการพิสูจน์บทตั้งที่ 4.1.1.2 กรณีที่ 2.3	13
4.1.1.2.3	รูปประกอบการพิสูจน์บทตั้งที่ 4.1.1.2 กรณีที่ 3	14
4.1.1.2.4	รูปประกอบการพิสูจน์บทตั้งที่ 4.1.1.2 กรณีที่ 4	15
4.1.1.2.5	รูปประกอบการพิสูจน์บทตั้งที่ 4.1.1.2 กรณีที่ 5	16
4.1.1.2.6.1.1	รูปประกอบการพิสูจน์บทตั้งที่ 4.1.1.2 กรณีที่ 6.1 รูปที่ 1	17
4.1.1.2.6.1.2	รูปประกอบการพิสูจน์บทตั้งที่ 4.1.1.2 กรณีที่ 6.1 รูปที่ 2	17
4.1.1.2.6.2	รูปประกอบการพิสูจน์บทตั้งที่ 4.1.1.2 กรณีที่ 6.2	18
4.1.1.2.6.3	รูปประกอบการพิสูจน์บทตั้งที่ 4.1.1.2 กรณีที่ 6.3	19
4.1.1.3	รูปประกอบการพิสูจน์บทตั้งที่ 4.1.1.3	20
4-1.1	รูปประกอบการพิสูจน์กรณีที่ 1 กรณีย่อยีที่ 1.1	21
4-1.2	รูปประกอบการพิสูจน์กรณีที่ 1 กรณีย่อยีที่ 1.2	21
4-1.3.1	รูปประกอบการพิสูจน์กรณีที่ 1 กรณีย่อยีที่ 1.3 (1.3.1)	21
4-1.3.2.1	รูปประกอบการพิสูจน์กรณีที่ 1 กรณีย่อยีที่ 1.3 (1.3.2 รูปที่ 1)	22
4-1.3.2.2	รูปประกอบการพิสูจน์กรณีที่ 1 กรณีย่อยีที่ 1.3 (1.3.2 รูปที่ 2)	22
4-1.3.2.3	รูปประกอบการพิสูจน์กรณีที่ 1 กรณีย่อยีที่ 1.3 (1.3.2 รูปที่ 3)	22
4-1.3.2.4	รูปประกอบการพิสูจน์กรณีที่ 1 กรณีย่อยีที่ 1.3 (1.3.2 รูปที่ 4)	23

## สารบัญภาพ (ต่อ)

ภาพที่	หน้า
4-1.4.1 รูปประกอบการพิสูจน์กรณีที่ 1 กรณีย่อยี 1.4 (1.4.1)	24
4-1.4.2.1 รูปประกอบการพิสูจน์กรณีที่ 1 กรณีย่อยี 1.4 (1.4.2 รูปที่1)	24
4-1.4.2.2 รูปประกอบการพิสูจน์กรณีที่ 1 กรณีย่อยี 1.4 (1.4.2 รูปที่2)	25
4-1.4.2.3 รูปประกอบการพิสูจน์กรณีที่ 1 กรณีย่อยี 1.4 (1.4.2 รูปที่3)	25
4-1.4.2.4 รูปประกอบการพิสูจน์กรณีที่ 1 กรณีย่อยี 1.4 (1.4.2 รูปที่4)	25
4-2.1 รูปประกอบการพิสูจน์กรณีที่ 2 กรณีย่อยี 2.1	27
4-2.2.1.1 รูปประกอบการพิสูจน์กรณีที่ 2 กรณีย่อยี 2.2 (2.2.1 รูปที่1)	27
4-2.2.1.2 รูปประกอบการพิสูจน์กรณีที่ 2 กรณีย่อยี 2.2 (2.2.1 รูปที่2)	27
4-2.2.1.3 รูปประกอบการพิสูจน์กรณีที่ 2 กรณีย่อยี 2.2 (2.2.1 รูปที่3)	28
4-2.2.2 รูปประกอบการพิสูจน์กรณีที่ 2 กรณีย่อยี 2.2 (2.2.2)	29
4-2.2.3 รูปประกอบการพิสูจน์กรณีที่ 2 กรณีย่อยี 2.2 (2.2.3)	29
4-2.3.1.1 รูปประกอบการพิสูจน์กรณีที่ 2 กรณีย่อยี 2.3 (2.3.1 รูปที่1)	30
4-2.3.1.2 รูปประกอบการพิสูจน์กรณีที่ 2 กรณีย่อยี 2.3 (2.3.1 รูปที่2)	30
4-2.3.2 รูปประกอบการพิสูจน์กรณีที่ 2 กรณีย่อยี 2.3 (2.3.2)	31
4-2.3.3 รูปประกอบการพิสูจน์กรณีที่ 2 กรณีย่อยี 2.3 (2.3.3)	31
4-2.3.4 รูปประกอบการพิสูจน์กรณีที่ 2 กรณีย่อยี 2.3 (2.3.4)	32
4-3.1.1.1 รูปประกอบการพิสูจน์กรณีที่ 3 กรณีย่อยี 3.1 (3.1.1 รูปที่1)	32
4-3.1.1.2 รูปประกอบการพิสูจน์กรณีที่ 3 กรณีย่อยี 3.1 (3.1.1 รูปที่2)	33
4-3.1.1.3 รูปประกอบการพิสูจน์กรณีที่ 3 กรณีย่อยี 3.1 (3.1.1 รูปที่3)	33
4-3.1.2 รูปประกอบการพิสูจน์กรณีที่ 3 กรณีย่อยี 3.1 (3.1.2)	34
4-3.2.1.1 รูปประกอบการพิสูจน์กรณีที่ 3 กรณีย่อยี 3.2 (3.2.1 รูปที่1)	35
4-3.2.1.2 รูปประกอบการพิสูจน์กรณีที่ 3 กรณีย่อยี 3.2 (3.2.1 รูปที่2)	35
4-3.2.1.3 รูปประกอบการพิสูจน์กรณีที่ 3 กรณีย่อยี 3.2 (3.2.1 รูปที่3)	36
4-3.2.2.1.1 รูปประกอบการพิสูจน์กรณีที่ 3 กรณีย่อยี 3.2 (3.2.2.1 รูปที่1)	37

## สารบัญภาพ (ต่อ)

ภาพที่		หน้า
4-3.2.2.1.2	รูปประกอบการพิสูจน์กรณีที่ 3 กรณีย่อยีที่ 3.2 (3.2.2.1 รูปที่2)	37
4-3.2.3.1	รูปประกอบการพิสูจน์กรณีที่ 3 กรณีย่อยีที่ 3.2 (3.2.3 รูปที่1)	39
4-3.2.3.2	รูปประกอบการพิสูจน์กรณีที่ 3 กรณีย่อยีที่ 3.2 (3.2.3 รูปที่2)	39
4-3.2.4	รูปประกอบการพิสูจน์กรณีที่ 3 กรณีย่อยีที่ 3.2 (3.2.4)	40
4-3.2.5	รูปประกอบการพิสูจน์กรณีที่ 3 กรณีย่อยีที่ 3.2 (3.2.5)	40
4-3.3.1.1	รูปประกอบการพิสูจน์กรณีที่ 3 กรณีย่อยีที่ 3.3 (3.3.1 รูปที่1)	41
4-3.3.1.2	รูปประกอบการพิสูจน์กรณีที่ 3 กรณีย่อยีที่ 3.3 (3.3.1 รูปที่2)	41
4-3.3.2.1	รูปประกอบการพิสูจน์กรณีที่ 3 กรณีย่อยีที่ 3.3 (3.3.2 รูปที่1)	42
4-3.3.2.2	รูปประกอบการพิสูจน์กรณีที่ 3 กรณีย่อยีที่ 3.3 (3.3.2 รูปที่2)	43
4-3.3.2.3	รูปประกอบการพิสูจน์กรณีที่ 3 กรณีย่อยีที่ 3.3 (3.3.2 รูปที่3)	43
4-3.3.3	รูปประกอบการพิสูจน์กรณีที่ 3 กรณีย่อยีที่ 3.3 (3.3.3)	44
4-3.3.4	รูปประกอบการพิสูจน์กรณีที่ 3 กรณีย่อยีที่ 3.3 (3.3.4)	44
4-4.1.1.1	รูปประกอบการพิสูจน์กรณีที่ 4 กรณีย่อยีที่ 4.1 (4.1.1 รูปที่1)	45
4-4.1.1.2	รูปประกอบการพิสูจน์กรณีที่ 4 กรณีย่อยีที่ 4.1 (4.1.1 รูปที่2)	45
4-4.1.2	รูปประกอบการพิสูจน์กรณีที่ 4 กรณีย่อยีที่ 4.1 (4.1.2)	46
4-4.1.3.1	รูปประกอบการพิสูจน์กรณีที่ 4 กรณีย่อยีที่ 4.1 (4.1.3 รูปที่1)	46
4-4.1.3.2	รูปประกอบการพิสูจน์กรณีที่ 4 กรณีย่อยีที่ 4.1 (4.1.3 รูปที่2)	47
4-4.1.4.1	รูปประกอบการพิสูจน์กรณีที่ 4 กรณีย่อยีที่ 4.1 (4.1.4 รูปที่1)	48
4-4.1.4.2	รูปประกอบการพิสูจน์กรณีที่ 4 กรณีย่อยีที่ 4.1 (4.1.4 รูปที่2)	48
4-4.2.1	รูปประกอบการพิสูจน์กรณีที่ 4 กรณีย่อยีที่ 4.2 (4.2.1)	49
4-4.2.2	รูปประกอบการพิสูจน์กรณีที่ 4 กรณีย่อยีที่ 4.2 (4.2.2)	49
4-4.2.3.1	รูปประกอบการพิสูจน์กรณีที่ 4 กรณีย่อยีที่ 4.2 (4.2.3 รูปที่1)	50
4-4.2.3.2	รูปประกอบการพิสูจน์กรณีที่ 4 กรณีย่อยีที่ 4.2 (4.2.3 รูปที่2)	50
4-4.2.4.1	รูปประกอบการพิสูจน์กรณีที่ 4 กรณีย่อยีที่ 4.2 (4.2.4 รูปที่1)	51

## สารบัญภาพ (ต่อ)

ภาพที่	หน้า
4-4.2.4.2 รูปประกอบการพิสูจน์กรณีที่ 4 กรณีย่อยีที่ 4.2 (4.2.4 รูปที่2)	51
4-4.2.5 รูปประกอบการพิสูจน์กรณีที่ 4 กรณีย่อยีที่ 4.2 (4.2.5)	52
4-5.1.1.1 รูปประกอบการพิสูจน์กรณีที่ 5 กรณีย่อยีที่ 5.1 (5.1.1 รูปที่1)	53
4-5.1.1.2 รูปประกอบการพิสูจน์กรณีที่ 5 กรณีย่อยีที่ 5.1 (5.1.1 รูปที่2)	53
4-5.1.2 รูปประกอบการพิสูจน์กรณีที่ 5 กรณีย่อยีที่ 5.1 (5.1.2)	54
4-5.2.1.1 รูปประกอบการพิสูจน์กรณีที่ 5 กรณีย่อยีที่ 5.2 (5.2.1 รูปที่1)	55
4-5.2.1.2 รูปประกอบการพิสูจน์กรณีที่ 5 กรณีย่อยีที่ 5.2 (5.2.1 รูปที่2)	55
4-5.2.2 รูปประกอบการพิสูจน์กรณีที่ 5 กรณีย่อยีที่ 5.2 (5.2.2)	56
4-6.1 รูปประกอบการพิสูจน์กรณีที่ 6 กรณีย่อยีที่ 6.1	56
4-6.2 รูปประกอบการพิสูจน์กรณีที่ 6 กรณีย่อยีที่ 6.2	57
4-6.3.1 รูปประกอบการพิสูจน์กรณีที่ 6 กรณีย่อยีที่ 6.3 (รูปที่ 1)	57
4-6.3.2 รูปประกอบการพิสูจน์กรณีที่ 6 กรณีย่อยีที่ 6.3 (รูปที่ 2)	58
4-7.1 รูปประกอบการพิสูจน์กรณีที่ 7 กรณีย่อยีที่ 7.1	59
4-7.2.1 รูปประกอบการพิสูจน์กรณีที่ 7 กรณีย่อยีที่ 7.2 (รูปที่1)	59
4-7.2.2 รูปประกอบการพิสูจน์กรณีที่ 7 กรณีย่อยีที่ 7.2 (รูปที่2)	59
4-7.3 รูปประกอบการพิสูจน์กรณีที่ 7 กรณีย่อยีที่ 7.3	60
4-1-1 รูปแสดงกรณีที่สามารถให้พื้นที่ทับซ้อนที่มากที่สุดที่เป็นไปได้ รูปที่1	61
4-1-2 รูปแสดงกรณีที่สามารถให้พื้นที่ทับซ้อนที่มากที่สุดที่เป็นไปได้ รูปที่2	61
4.2.1 รูปประกอบการพิสูจน์บทตั้ง 4.2.2 กรณีที่ 1	64
4.2.2 รูปประกอบการพิสูจน์บทตั้ง 4.2.2 กรณีที่ 3	64
4.2.3 รูปประกอบการพิสูจน์บทตั้ง 4.2.2 กรณีที่ 4 รูปที่ 1	65
4.2.4 รูปประกอบการพิสูจน์บทตั้ง 4.2.2 กรณีที่ 4 รูปที่ 2	65
4.2.5 รูปประกอบการพิสูจน์บทตั้ง 4.2.2 กรณีที่ 5	66
4.2.6 รูปประกอบการพิสูจน์บทตั้ง 4.2.2 กรณีที่ 6 รูปที่ 1	66

## สารบัญภาพ (ต่อ)

ภาพที่	หน้า
4.2.7 รูปประกอบการพิสูจน์บทตั้ง 4.2.2 กรณีที่ 6 รูปที่ 2	67
4.2.8 รูปประกอบกระบวนการ 4.2.1 ขั้นที่ 1	68
4.2.9 รูปประกอบกระบวนการ 4.2.1 ขั้นที่ 2	68
4.2.10 รูปประกอบกระบวนการ 4.2.1 ขั้นที่ 3	69
4.2.11 รูปประกอบกระบวนการ 4.2.1 ขั้นที่ 4	69
4.2.12 รูปประกอบบทพิสูจน์กระบวนการ 4.2.1 เมื่อ $O\hat{M}N = R\hat{P}Q$ รูปที่ 1	70
4.2.13 รูปประกอบบทพิสูจน์กระบวนการ 4.2.1 เมื่อ $O\hat{M}N = R\hat{P}Q$ รูปที่ 2	70
4.2.14 รูปประกอบบทพิสูจน์กระบวนการ 4.2.1 เมื่อ $O\hat{M}N = R\hat{P}Q$ รูปที่ 3	71
4.2.15 ตัวอย่างรูปกระบวนการ 4.2.1 กรณีที่ 1.1	71
4.2.16 ตัวอย่างรูปกระบวนการ 4.2.1 กรณีที่ 1.2	72
4.2.17 ตัวอย่างรูปกระบวนการ 4.2.1 กรณีที่ 1.3	72
4.2.18 ตัวอย่างรูปกระบวนการ 4.2.1 กรณีที่ 1.4	72
4.2.19 ตัวอย่างรูปกระบวนการ 4.2.1 กรณีที่ 1.5	73
4.2.20 รูปประกอบบทพิสูจน์กระบวนการ 4.2.1 กรณีที่ 1.1 รูปที่ 1	73
4.2.21 รูปประกอบบทพิสูจน์กระบวนการ 4.2.1 กรณีที่ 1.1 รูปที่ 2	74
4.2.22 รูปประกอบบทพิสูจน์กระบวนการ 4.2.1 กรณีที่ 1.1 รูปที่ 3	76
4.2.23 รูปประกอบบทพิสูจน์กระบวนการ 4.2.1 กรณีที่ 1.1 รูปที่ 4	76
4.2.24 รูปประกอบบทพิสูจน์กระบวนการ 4.2.1 กรณีที่ 1.2	77
4.2.25 รูปประกอบบทพิสูจน์กระบวนการ 4.2.1 กรณีที่ 1.4	78
4.2.26 ตัวอย่างรูปกระบวนการ 4.2.1 กรณีที่ 2.1	79
4.2.27 ตัวอย่างรูปกระบวนการ 4.2.1 กรณีที่ 2.2	79
4.2.28 ตัวอย่างรูปกระบวนการ 4.2.1 กรณีที่ 2.3	80
4.2.29 ตัวอย่างรูปกระบวนการ 4.2.1 กรณีที่ 2.4	80
4.2.30 ตัวอย่างรูปกระบวนการ 4.2.1 กรณีที่ 2.5	80

## สารบัญภาพ (ต่อ)

ภาพที่	หน้า
4.2.31 ตัวอย่างรูปกระบวนการ 4.2.1 กรณีที่ 2.6	80
4.2.32 รูปประกอบบทพิสูจน์กระบวนการ 4.2.1 กรณีที่ 2.1 รูปที่ 1	81
4.2.33 รูปประกอบบทพิสูจน์กระบวนการ 4.2.1 กรณีที่ 2.1 รูปที่ 2	81
4.2.34 รูปประกอบบทพิสูจน์กระบวนการ 4.2.1 กรณีที่ 2.1 รูปที่ 3	82
4.2.35 รูปประกอบบทพิสูจน์กระบวนการ 4.2.1 กรณีที่ 2.1 รูปที่ 4	84
4.2.36 รูปประกอบบทพิสูจน์กระบวนการ 4.2.1 กรณีที่ 2.1 รูปที่ 5	86
4.2.37 รูปประกอบบทพิสูจน์กระบวนการ 4.2.1 กรณีที่ 2.1 รูปที่ 6	88
4.2.38 รูปประกอบบทพิสูจน์กระบวนการ 4.2.1 กรณีที่ 2.2 รูปที่ 1	90
4.2.39 รูปประกอบบทพิสูจน์กระบวนการ 4.2.1 กรณีที่ 2.2 รูปที่ 2	92
4.2.40 รูปประกอบบทพิสูจน์กระบวนการ 4.2.1 กรณีที่ 2.2 รูปที่ 3	93
4.2.41 รูปประกอบบทพิสูจน์กระบวนการ 4.2.1 กรณีที่ 2.2 รูปที่ 4	93
4.2.42 รูปประกอบบทพิสูจน์กระบวนการ 4.2.1 กรณีที่ 2.4 รูปที่ 1	94
4.2.43 รูปประกอบบทพิสูจน์กระบวนการ 4.2.1 กรณีที่ 2.4 รูปที่ 2	96
4.2.44 รูปประกอบบทพิสูจน์กระบวนการ 4.2.1 กรณีที่ 2.4 รูปที่ 3	97
4.2.45 รูปประกอบบทพิสูจน์กระบวนการ 4.2.1 กรณีที่ 2.4 รูปที่ 4	98
4.2.46 รูปประกอบบทพิสูจน์กระบวนการ 4.2.1 กรณีที่ 2.6 รูปที่ 1	99
4.2.47 รูปประกอบบทพิสูจน์กระบวนการ 4.2.1 กรณีที่ 2.6 รูปที่ 2	101
4.2.48 รูปประกอบบทพิสูจน์กระบวนการ 4.2.1 กรณีที่ 2.6 รูปที่ 3	102
4.2.49 รูปประกอบบทพิสูจน์กระบวนการ 4.2.1 กรณีที่ 2.6 รูปที่ 4	103
4.2.50 รูปประกอบบทพิสูจน์บทแทรก 4.2.2	105

## บทที่ 1

### บทนำ

#### 1.1 ความสำคัญและที่มาของโครงการ

ปัญหาการจับคู่ หรือ Matching problem เป็นปัญหาทางคณิตศาสตร์ที่เกิดขึ้นในช่วงศตวรรษที่ 18 เป็นปัญหาทางด้านทฤษฎีกราฟซึ่งศึกษาการเข้าคู่กันของจุดในกราฟ หนึ่งในปัญหาการจับคู่นี้คือการพิจารณา รูปร่าง หรือเขตของจุด 2 รูปร่าง หรืออาจเรียกได้ว่ารูปหลายเหลี่ยม (polygons) ว่ารูปทั้งสองมีความคล้ายคลึงกันมากน้อยอย่างไร โดยมักศึกษาว่าจะมีความคล้ายคลึง (resemblance) กันมากที่สุดเมื่อใดหลังผ่านการเคลื่อนที่คงรูป (rigid motion) ซึ่งการวัดความคล้ายคลึงนั้นมีด้วยกันหลายวิธี เช่น Hausdorff distance และ Fréchet distance

Mark de Berg และคณะ ได้นำแนวคิดดังกล่าวมาศึกษาในหัวข้อ “Computing the Maximum Overlap of Two Convex Polygons Under Translations” หรือ การคำนวณพื้นที่รวมที่น้อยที่สุดของรูปหลายเหลี่ยมที่สองรูปที่ซ้อนทับกัน ภายใต้การเลื่อนขาน ” โดยพิจารณาความคล้ายคลึงของรูปหลายเหลี่ยมโดยพิจารณาจากพื้นที่ที่ทับซ้อนกัน กล่าวคือยิ่งมีพื้นที่ซ้อนทับมากก็ยิ่งคล้ายคลึงมาก ซึ่งสมมูลกับพื้นที่รวมน้อยที่สุดนั่นเอง

เนื่องด้วยคณะผู้ศึกษามีความสนใจในวิชาคณิตศาสตร์ ทางด้านเรขาคณิต หลังจากที่ได้อ่านบทความข้างต้น ทางคณะผู้ศึกษาจึงเกิดความสนใจในปัญหาดังกล่าว และได้แนวคิดที่จะศึกษา “การซ้อนทับกันของรูปสามเหลี่ยมเพื่อให้ได้พื้นที่ซ้อนทับที่มากที่สุดภายใต้การเลื่อนขานและการหมุน” โดยคณะผู้ศึกษามีแนวคิดในการแก้ปัญหานี้โดยเริ่มจากการหาเงื่อนไขในกรณีที่สามเหลี่ยมสองรูปใดๆจะสามารถซ้อนทับกันได้สนิท จำนวนนั้นจึงสังเกตรูปแบบความสัมพันธ์ ซึ่งจะนำไปสู่ขั้นตอนการคำนวณ แล้วจึงหาวิธีการพิสูจน์กระบวนการหรืออัลกอริทึมตามข้อคาดการณ์ เพื่อให้ได้รูปแบบการวางแผนสามเหลี่ยมให้เกิดพื้นที่รวมจากการซ้อนทับกันน้อยที่สุด ซึ่งคาดว่าผลจากการศึกษานี้จะสามารถนำมาประยุกต์ใช้ในการจัดวางสิ่งของเพื่อให้ใช้พื้นที่น้อยที่สุด เพื่อให้สามารถนำพื้นที่ที่เหลือมาใช้ประโยชน์ได้มากที่สุด เช่น การจัดเรียงสิ่งของในการขนส่งหรือ การออกแบบสิ่งของต่างๆ เป็นต้น

## 1.2 วัตถุประสงค์ของโครงการ

- 1.2.1 เพื่อหาและแสดงวิธีการจัดวางรูปสามเหลี่ยมสองรูปซ้อนทับกันให้เกิดพื้นที่รวมน้อยที่สุด
- 1.2.2 เพื่อนำวิธีการจัดวางดังกล่าวมาประยุกต์ใช้ในการจัดวางสิ่งของเพื่อให้ใช้พื้นที่น้อยที่สุด เพื่อให้สามารถนำพื้นที่ที่เหลือมาใช้ประโยชน์ได้มากที่สุด เช่น การจัดเรียงสิ่งของในการขนส่งหรือ การออกแบบสิ่งของต่างๆ เป็นต้น

## 1.3 ขอบเขตของการศึกษา

- 1.3.1 ศึกษาเฉพาะการซ้อนทับกันของรูปสามเหลี่ยมสองรูปเท่านั้น
- 1.3.2 ศึกษาเฉพาะการแปลงทางเรขาคณิตแบบการหมุนและการเลื่อนขาน

## 1.4 ระยะเวลาทำโครงการ

งานวิจัยมีระยะเวลา 9 เดือน เริ่มตั้งแต่ พฤษภาคม พ.ศ. 2557 – มกราคม พ.ศ. 2558

## 1.5 สถานที่ทำโครงการ

- 1.5.1 สาขาวิชาคณิตศาสตร์ โรงเรียนหิดลวิทยานุสรณ์ 364 หมู่ 5 ตำบลศาลายา อำเภอพุทธมณฑล จังหวัดปทุมธานี
- 1.5.2 ภาควิชาคณิตศาสตร์ จุฬาลงกรณ์มหาวิทยาลัย 254 ถนนพญาไท แขวงวังใหม่ เขตปทุมวัน จังหวัดกรุงเทพฯ

## 1.6 ประโยชน์ที่คาดว่าจะได้รับ

- 1.6.1 สามารถหาและแสดงวิธีการจัดวางรูปสามเหลี่ยมสองรูปซ้อนทับกันให้เกิดพื้นที่รวมน้อยที่สุด
- 1.6.2 สามารถนำวิธีการจัดวางดังกล่าวมาประยุกต์ใช้ในการจัดวางสิ่งของเพื่อให้ใช้พื้นที่น้อยที่สุด เพื่อให้สามารถนำพื้นที่ที่เหลือมาใช้ประโยชน์ได้มากที่สุด เช่น การจัดเรียงสิ่งของในการขนส่งหรือ การออกแบบสิ่งของต่างๆ เป็นต้น

## บทที่ 2

### เอกสารและงานวิจัยที่เกี่ยวข้อง

#### 2.1 บทนิยามพื้นฐานทางเรขาคณิต

**บทนิยาม 2.1.1** จุด เป็นสิ่งที่ใช้บอกตำแหน่ง (ไม่มีขนาด) นิยมใช้สัญลักษณ์แทนจุดด้วย  $A, B, C, \dots$

**บทนิยาม 2.1.2** เส้น เป็นทางเดินของจุด ซึ่งมีเฉพาะความยาว และ ไม่มีความกว้าง

**สัญลักษณ์ 2.1.3**  $\overline{AB}$  แทนส่วนของเส้นตรงที่ผ่านจุด  $A$  และ  $B$

**สัญลักษณ์ 2.1.4**  $AB$  แทนความยาวของส่วนของเส้นตระหง่านระหว่างจุด  $A$  และ  $B$

**บทนิยาม 2.1.5** สามเหลี่ยม  $ABC$  คือบริเวณปิดล้อมด้วยเส้นตรง  $AB, BC, CA$

**บทนิยาม 2.1.6** มุมต่างๆ

2.1.6.1 มุมแหลม คือ มุมที่มีค่าเป็นบวก และ มีขนาดเล็กกว่า  $90^\circ$  องศา

2.1.6.2 มุมฉาก คือ มุมที่มีค่าเป็นบวก และ มีขนาด  $90^\circ$  องศา

2.1.6.3 มุมป้าน คือ มุมที่มีค่าเป็นบวก และ มีขนาดมากกว่า  $90^\circ$  องศา และเล็กกว่า  $180^\circ$  องศา

2.1.6.4 มุมกลับ คือ มุมที่มีค่าเป็นบวก และ มีขนาดมากกว่า  $180^\circ$  องศา และน้อยกว่า  $360^\circ$  องศา

**บทนิยาม 2.1.7** รูปสามเหลี่ยมนิยิดต่างๆ

2.1.7.1 สามเหลี่ยมนุ่มแหลม คือ สามเหลี่ยมที่มุมทุกมุมเป็นมุมแหลม

2.1.7.2 สามเหลี่ยมนุ่มฉาก คือ สามเหลี่ยมที่มีมุมหนึ่งมุมเป็นมุมฉาก

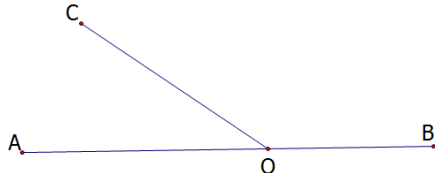
2.1.7.3 สามเหลี่ยมนุ่มป้าน คือ สามเหลี่ยมที่มีมุมหนึ่งมุมเป็นมุมป้าน

2.1.7.4 สามเหลี่ยมด้านเท่า คือ สามเหลี่ยมที่ทั้งสามด้านยาวเท่ากัน

2.1.7.5 สามเหลี่ยมนุ่มเท่า คือ สามเหลี่ยมที่มุมทั้งสามมุมมีขนาดเท่ากัน

2.1.7.6 สามเหลี่ยมนหน้าจั่ว คือ สามเหลี่ยมที่ด้านยาวเท่ากันสองด้าน (หรือ มุมเท่ากันสองมุม)

**บทนิยาม 2.1.8**



ภาพที่ 2.1.1 มุมประชิด

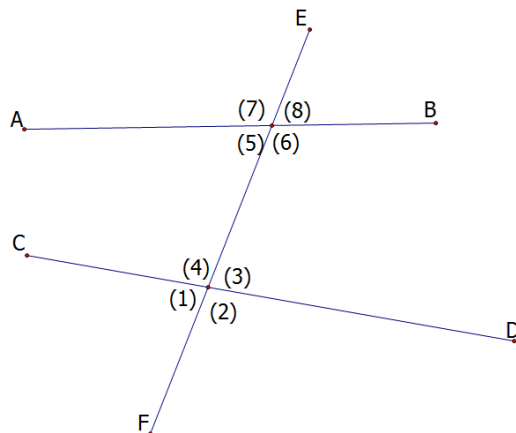
2.1.8.1  $C$  เป็นจุดนอกเส้นตรง  $\overline{AB}$  และ  $O$  เป็นจุดบนเส้นตรง  $\overline{AB}$  ลากเส้นตรง  $\overline{CO}$  มุม  $A\hat{O}C$  และ  $B\hat{O}C$  เรียกว่า มุมประชิดของเส้นตรง

2.1.8.2 มุมเส้นตรง  $A\hat{O}B = 180^\circ$  และ  $1$  มุมฉาก คือ  $90^\circ$

บทนิยาม 2.1.9  $\hat{A}, \hat{B}$  เป็นมุมที่มีค่าเป็นจำนวนจริงบวกและ  $\hat{A} + \hat{B} = 180^\circ$  แล้ว  $\hat{A}, \hat{B}$  เรียกว่า มุมประกอบสองมุม互补 (supplementary angle) หรือ  $\hat{A}$  เป็นมุมประกอบสองมุม互补 ของ  $\hat{B}$

บทนิยาม 2.1.10  $\hat{A}, \hat{B}$  เป็นมุมที่มีค่าเป็นจำนวนจริงบวกและ  $\hat{A} + \hat{B} = 90^\circ$  แล้ว  $\hat{A}, \hat{B}$  เรียกว่า มุมประกอบหนึ่งมุม互补 (complementary angle) หรือ  $\hat{A}$  เป็นมุมประกอบสองมุม互补 ของ  $\hat{B}$

บทนิยาม 2.1.11 เส้นตรง  $\overline{AB}$  และ  $\overline{CD}$  ตัดกับ  $\overline{EF}$  เกิดมุม (1), (2), (3), (4), (5), (6), (7), (8) ดังภาพ



ภาพที่ 2.1.2 ภาพประกอบบทนิยามที่ 2.1.11

มุม (1), (2), (7), (8) เรียกว่า มุมภายนอก (exterior angle)

มุม (3), (4), (5), (6) เรียกว่า มุมภายใน (interior angle) มุม (4), (6) เรียกว่า มุมแย้ง (alternate angle)

มุมภายใน (3) เรียกว่า มุมภายในด้านตรงข้าม (interior opposite) ของมุมภายนอก (7) ด้านเดียวกันของ  $\overline{EF}$

มุมภายใน (4) และ มุมภายนอก (7) เรียกว่า มุมที่สมนัยกัน (corresponding angle) ในทำนองเดียวกันจะได้ว่ามุม (3), (5) เป็นมุมแย้ง

มุมภายใน (3) เป็นมุมภายในด้านตรงข้ามของมุมภายนอก (7) ด้านเดียวกันของ  $\overline{EF}$

มุมภายใน (5) เป็นมุมภายในด้านตรงข้ามของมุมภายนอก (2) ด้านเดียวกันของ  $\overline{EF}$

มุมภายใน (6) เป็นมุมภายในด้านตรงข้ามของมุมภายนอก (1) ด้านเดียวกันของ  $\overline{EF}$

มุมภายใน (3) และ มุมภายนอก (8) เป็นมุมที่สมนัยกัน

มุมภายใน (5) และ มุมภายนอก (1) เป็นมุมที่สมนัยกัน

มุมภายใน (6) และ มุมภายนอก (2) เป็นมุมที่สมนัยกัน

บทนิยาม 2.1.12 ส่วนสูง คือ เส้นที่ลากจากจุดยอดมาตั้งฉากกับฐาน

บทนิยาม 2.1.13 สี่เหลี่ยม (quadrilateral) คือ บริเวณที่ปิดล้อมด้วยเส้นตรงสี่เส้น

เส้นตรงที่เชื่อมระหว่างจุดยอดของสี่เหลี่ยมที่ตรงข้ามกัน เรียกว่า เส้นทแยงมุม (diagonal)

- สี่เหลี่ยมที่ด้านตรงข้ามขนาดกัน เรียกว่า สี่เหลี่ยมด้านขนาด (parallelogram)  
 สี่เหลี่ยมด้านขนาดที่มีมุมยอดหนึ่งเป็นมุมฉาก เรียกว่า สี่เหลี่ยมผืนผ้า (rectangle)  
 สี่เหลี่ยมผืนผ้าที่ด้านประกอบมุมยอดเดียวกันยาวเท่ากัน เรียกว่า สี่เหลี่ยมจัตุรัส (square)  
 สี่เหลี่ยมที่ด้านทุกด้านยาวเท่ากัน เรียกว่า สี่เหลี่ยมขนมเปียกปูน (rhombus)  
 สี่เหลี่ยมที่ด้านขนาดกันหนึ่งคู่ เรียกว่า สี่เหลี่ยมคงทู (rhombus)

## 2.2 ทฤษฎีบทพื้นฐานทางเรขาคณิต

- ทฤษฎีบท 2.2.1** มุมประชิดของเส้นตรงเส้นหนึ่งที่ตั้งอยู่บนเส้นตรงอีกเส้นหนึ่งรวมกันเท่ากับ 2 มุมฉาก
- ทฤษฎีบท 2.2.2** เส้นตัดกัน 2 มุมทั้ง 4 มุมที่เกิดขึ้นรวมกันเท่ากับ 4 มุมฉาก
- ทฤษฎีบท 2.2.3** ที่จุดปลาย  $O$  ของเส้นตรง  $\overline{OC}$  มีเส้นตรง  $\overline{OA}$  และ  $\overline{OB}$  อยู่คู่ละด้านของเส้นตรง  $\overline{OC}$  ถ้า  $AOC + BOC = 180^\circ$  แล้ว  $\overline{OA}$  และ  $\overline{OB}$  เป็นเส้นตรงเดียวกัน
- ทฤษฎีบท 2.2.4** เส้นตรงสองเส้นตัดกัน มุมตรงข้ามต้องเท่ากัน
- ทฤษฎีบท 2.2.5** ถ้าสามเหลี่ยมสองรูป มีด้านเท่ากันสองด้าน และ มุมระหว่างด้านที่เท่ากันมีขนาดของมุมเท่ากัน แล้ว สามเหลี่ยมสองรูปเท่ากันทุกประการ
- ทฤษฎีบท 2.2.6** ถ้าสามเหลี่ยมสองรูปมีด้านเท่ากันหักสามคู่ แล้ว สามเหลี่ยมสองรูปเท่ากันทุกประการ
- ทฤษฎีบท 2.2.7** ในสามเหลี่ยม มุมที่อยู่ด้านตรงข้ามด้านใหญ่ มีขนาดใหญ่กว่ามุมที่อยู่ด้านตรงข้ามด้านเล็ก
- ทฤษฎีบท 2.2.8** ในสามเหลี่ยม ด้านที่อยู่ด้านตรงข้ามมุมใหญ่ มีขนาดยาวกว่าด้านที่อยู่ด้านตรงข้ามมุมเล็ก
- ทฤษฎีบท 2.2.9**  $O$  เป็นจุดนอกเส้นตรง  $\overline{AB}$  ในบรรดาเส้นตรงที่ลากจาก  $O$  มา�ังเส้นตรง  $\overline{AB}$  เส้นที่ตั้งฉากกับ  $\overline{AB}$  จะเป็นเส้นที่สั้นที่สุด
- ทฤษฎีบท 2.2.10** เส้นตรง  $\overline{EF}$  ตัดเส้นตรง  $\overline{AB}$  และ  $\overline{CD}$  ที่  $G$  และ  $H$  ตามลำดับ จะได้
1. ถ้ามุมแย้งมีขนาดเท่ากัน แล้ว  $\overline{AB}$  และ  $\overline{CD}$  ขนานกัน
  2. ถ้ามุมภายในออก และ มุมภายในด้านตรงข้ามของมุมภายในออกด้านเดียวกันของ  $\overline{EF}$  มีขนาดเท่ากันแล้ว  $\overline{AB}$  และ  $\overline{CD}$  ขนานกัน
  3. ถ้ามุมภายในด้านเดียวกันของ  $\overline{EF}$  รวมกันเท่ากับสองมุมฉาก แล้ว  $\overline{AB}$  และ  $\overline{CD}$  ขนานกัน
- ทฤษฎีบท 2.2.11** เส้นตรง  $\overline{AB}$  และ  $\overline{CD}$  ขนานกัน และ เส้นตรง  $\overline{EF}$  ตัด  $\overline{AB}$  และ  $\overline{CD}$  ที่จุด  $G$  และ  $H$  ตามลำดับ จะได้
1. มุมแย้งมีขนาดเท่ากัน
  2. มุมภายในออก และ มุมภายในด้านตรงข้ามของมุมภายในออกด้านเดียวกันของ  $\overline{EF}$  มีขนาดเท่ากัน
  3. มุมภายในด้านเดียวกันของ  $\overline{EF}$  รวมกันเท่ากับสองมุมฉาก
- ทฤษฎีบท 2.2.12** เส้นตรงสองเส้นที่ขนานกับเส้นตรงเดียวกันต้องขนานกัน

ทฤษฎีบท 2.2.13 ผลบวกมุมภายในรูป  $n$  เหลี่ยมเท่ากับ  $(n - 2)(180^\circ)$

ทฤษฎีบท 2.2.14 ถ้าสามเหลี่ยมสองรูปมีมุมเท่ากันสองมุม และ มีด้านตรงข้ามมุมคู่ที่เท่ากันมีความยาวเท่ากัน แล้ว สามเหลี่ยมสองรูปนั้นเท่ากันทุกประการ

ทฤษฎีบท 2.2.15 ถ้าสามเหลี่ยมมุมฉากสองรูปมีด้านตรงข้ามมุมฉากยาวเท่ากันและด้านประกอบมุมฉาก เท่ากันหนึ่งด้าน แล้ว สามเหลี่ยมนั้นจากสองรูปนั้นเท่ากันทุกประการ

ทฤษฎีบท 2.2.16 พื้นที่สี่เหลี่ยมมุมฉาก เท่ากับ ความยาวด้านกว้างคูณกับความยาวด้านยาว

ทฤษฎีบท 2.2.17 พื้นที่สี่เหลี่ยมด้านขนาดน้ำหนัก เท่ากับ ความยาวฐานคูณกับความยาวส่วนสูง

ทฤษฎีบท 2.2.18 สามเหลี่ยมที่มีฐานเดียวกันกับสี่เหลี่ยมมุมฉากซึ่งมีความสูงเท่ากัน จะมีพื้นที่เป็นครึ่งหนึ่ง ของสี่เหลี่ยมมุมฉาก

ทฤษฎีบท 2.2.19 พื้นที่สามเหลี่ยม เท่ากับ ครึ่งหนึ่งของความยาวฐานคูณกับความยาวส่วนสูง

ทฤษฎีบท 2.2.20 สามเหลี่ยมที่มีฐานเดียวกัน และ อよร์ะห่วงเส้นฐานคู่เดียวกัน มีพื้นที่เท่ากัน

ทฤษฎีบท 2.2.21 พื้นที่สี่เหลี่ยมคงที่ เท่ากับ ครึ่งหนึ่งของส่วนสูงคูณผลบวกความยาวด้านคู่ขนาด

ทฤษฎีบท 2.2.22 ให้  $X$  เป็นจุดบนเส้นตรงที่ผ่านด้าน  $\overline{AB}$  และ  $Y$  เป็นจุดบนเส้นตรงที่ผ่านด้าน  $\overline{AC}$  ของ  $\Delta ABC$  และ  $\overline{XY}$  ขนานกับ  $\overline{BC}$  จะได้  $AX : XB = AY : YC$

ทฤษฎีบท 2.2.23 ให้  $X$  เป็นจุดบนเส้นตรงที่ผ่านด้าน  $\overline{AB}$  และ  $Y$  เป็นจุดบนเส้นตรงที่ผ่านด้าน  $\overline{AC}$  ของ  $\Delta ABC$  และ  $AX : XB = AY : YC$  จะได้  $\overline{XY}$  ขนานกับ  $\overline{BC}$

### 2.3 ทฤษฎีบทเรขาคณิตกับตรีgonมิติ

ทฤษฎีบท 2.3.1 (กฎของไซน์, law of sine) สำหรับ  $\Delta ABC$  จะได้ว่า

$$\frac{\sin \hat{A}}{a} = \frac{\sin \hat{B}}{b} = \frac{\sin \hat{C}}{c} = \frac{2\Delta}{abc}$$

เมื่อ  $a, b, c$  แทนความยาวด้าน  $\overline{BC}, \overline{CA}, \overline{AB}$  ตามลำดับ และ  $\Delta$  แทนพื้นที่  $\Delta ABC$

### 2.4 การเลื่อนข่านและการหมุน

บทนิยาม 2.4.1 การสะท้อน (Reflection)

$P'$  เป็นภาพสะท้อนของ  $P$  เทียบกับเส้นตรง  $L$  ก็ต่อเมื่อ เส้นตรง  $L$  แบ่งครึ่งและตั้งฉาก  $PP'$  และจะเรียก เส้นตรง  $L$  ว่า เลี้นสมมาตร

บทนิยาม 2.4.2 การเลื่อนข่าน (Translation)

$P'$  เป็นการเลื่อนข่านของ  $P$  ก็ต่อเมื่อ  $P'$  เป็นการสะท้อนสองครั้งข้ามเส้นของการสะท้อนที่ตัดกัน จุดตัดของเส้นสะท้อนเรียกว่า จุดศูนย์กลางของการหมุน (Center of the rotation)

บทนิยาม 2.4.3 การหมุน (Rotation)

$P'$  เป็นการหมุนของ  $P$  ก็ต่อเมื่อ  $P'$  เป็นการสะท้อนสองครั้งข้ามเส้นของการสะท้อนที่ตัดกัน จุดตัดของเส้นสะท้อนเรียกว่า จุดศูนย์กลางของการหมุน (Center of the rotation)

## 2.5 การซ้อนทับของรูปหลายเหลี่ยม 2 รูป ภายใต้การเลื่อนขาน

ให้  $P$  เป็นรูป  $n$  เหลี่ยมในระนาบ และ ให้  $Q$  เป็นรูป  $m$  เหลี่ยมในระนาบ จากงานวิจัยของ Mark de Berg และคณะ พบว่าพื้นที่ซ้อนทับของทั้งสองเมื่อมีจุดเซนทรอล์ หรือจุดตัดเส้นแบ่งครึ่งฐานจากมุมทั้งสาม จะมีค่าระหว่าง  $9/25$  และ  $4/9$  ของพื้นที่ซ้อนทับสูงสุดของทั้งสอง

## 2.6 การตรวจหาว่ารูปหลายเหลี่ยมนูนสองรูปใดๆ ซ้อนทับกันหรือไม่

การตรวจหาว่ารูปหลายเหลี่ยมนูนสองรูปใดๆ ซ้อนทับกันหรือไม่ ใช้หลักการของ separating axis theorem โดยทฤษฎีนี้ได้กล่าวไว้ว่า ถ้ารูปหลายเหลี่ยมนูนสองมิติใดๆ ไม่ตัดกันหรือมีส่วนที่ซ้อนทับกัน จะได้ว่าจะมีแกนบางแกนที่เป็นลักษณะของเส้นตรงที่เมื่อทำการฉายทุกจุดยอดของรูปหลายเหลี่ยมสองรูปนี้จะไม่มีจุดยอดของสามเหลี่ยมนูนนึงไปอยู่บนส่วนของเส้นตรงที่ยาวที่สุดที่เกิดจากการเชื่อมจุดที่ถูกฉายของสามเหลี่ยมอีกรูปหนึ่งเลย

## บทที่ 3

### วิธีดำเนินการทดลอง

#### 3.1 เครื่องมือที่ใช้ในการศึกษา

- 3.1.1 อุปกรณ์เครื่องเขียนทั่วไป เช่น ดินสอ ยางลบ ไม้บรรทัด กระดาษหด
- 3.1.2 คอมพิวเตอร์
- 3.1.3 โปรแกรม The Geometers Sketchpad (Version 4.06)

#### 3.2 วิธีดำเนินการศึกษา

- 3.2.1 การศึกษาเบื้องต้น
  - 3.2.1.1 ศึกษาหาข้อมูลที่เกี่ยวข้องกับปัญหาข้อนี้ว่ามีปัญหารูปแบบใดแล้วบ้างที่คิดขึ้นมาแล้ว และสำรวจว่ามีเงื่อนไขใดที่เป็นประโยชน์และสามารถนำมากายายนั้นๆ ให้เกิดขึ้นได้
  - 3.2.1.2 นำข้อมูลที่ได้มารวบรวมให้เป็นหมวดหมู่
- 3.2.2 การแก้ปัญหาวิธีการการวางแผนสามเหลี่ยมสองรูปซ้อนทับกันให้เกิดพื้นที่รวมน้อยที่สุด
  - 3.2.2.1 พิจารณารูปแบบการวางแผนรูปสามเหลี่ยมสองรูปในกรณีต่างๆ โดยใช้โปรแกรม GSP ช่วยในการวิเคราะห์หาว่ากรณีใดที่สามารถทำการแปลงให้มีพื้นที่ซ้อนทับมากขึ้นได้บ้าง ซึ่งจะได้ว่าการจัดเรียงแบบนั้นจะไม่ใช่แบบที่ทำให้เกิดพื้นที่ซ้อนทับมากที่สุด
  - 3.2.2.2 พิจารณากรณีที่เหลืออչิ่งไม่สามารถหาวิธีแปลงให้พื้นที่มากขึ้นได้ จากนั้นหาตำแหน่งที่ทำให้เกิดพื้นที่ซ้อนทับน้อยที่สุดสำหรับกรณีนั้นๆ โดยใช้โปรแกรม GSP ช่วยในการหาข้อคาดการณ์ พิสูจน์ และนำของแต่ละกรณีมาเปรียบเทียบกัน
- 3.2.3 ตรวจทานและจัดพิมพ์
  - 3.2.3.1 ตรวจสอบการพิสูจน์และปรับปรุงแก้ไข
  - 3.2.3.2 นำวิธีแก้ปัญหาที่ได้ทั้งหมดรวมเป็นหมวดหมู่ เรียบเรียงเนื้อหาและบพิสูจน์ แล้วจัดพิมพ์เป็นรูปเล่ม

## บทที่ 4

### ผลการทดลอง

สัญลักษณ์ 4.1  $[A]$  แทนพื้นที่ของรูป  $A$

#### 4.1 การตัดกรณิการวางแผนสามเหลี่ยมสองรูปที่ไม่ทำให้เกิดพื้นที่ซ้อนทับสูงสุด

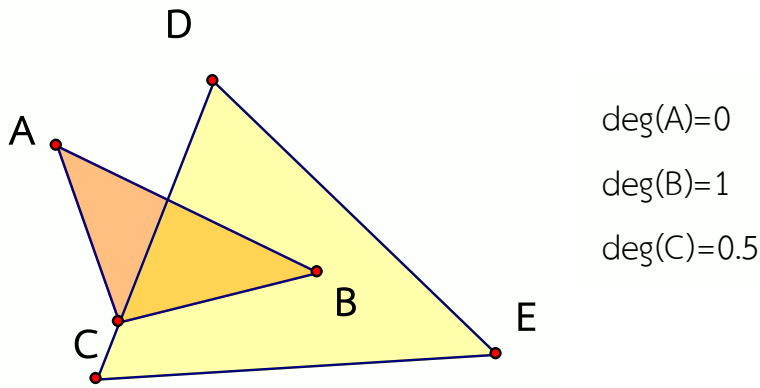
ขั้นแรกจะนิยามสัญลักษณ์เพื่อใช้ในการช่วยแบ่งกรณิว่าสามเหลี่ยมสองรูปจะจัดวางอย่างไรได้บ้าง

บทนิยาม 4.1.1 สำหรับจุดยอด  $A$  ของสามเหลี่ยมใดๆ ดีกรีของจุด  $A$  แทนด้วย  $\deg(A)$  คือด้วยค่าที่แสดง  
ตำแหน่งของจุด  $A$  เทียบกับสามเหลี่ยมอีกรูปหนึ่ง โดยที่

$$\deg(A) = 0; \text{ เมื่อ } A \text{ อยู่ภายนอก } \Delta ABC$$

$$\deg(A) = 0.5; \text{ เมื่อ } A \text{ อยู่บนเส้นรอบรูปหรือจุดยอดมุมของ } \Delta ABC$$

$$\deg(A) = 1; \text{ เมื่อ } A \text{ อยู่ภายใน } \Delta ABC$$



รูปที่ 4.1.1 รูปแสดงดีกรีของจุดยอดที่ตำแหน่งต่างๆ

บทนิยาม 4.1.2 สำหรับสามเหลี่ยม  $ABC$  ใดๆ ดีกรีของ  $ABC$  แทนด้วย  $\deg(\Delta ABC)$  คือผลรวมของ  
ดีกรีของจุดยอดทั้งสามจุดของรูปสามเหลี่ยม  $ABC$

บทนิยาม 4.1.2 สำหรับรูปใดๆ ดีกรีรูป แทนด้วย  $\deg_T$  คือผลรวมของดีกรีของรูปสามเหลี่ยม  
ทั้งหมดบนรูป

จากบทนิยามข้างต้นจะพิสูจน์บทต่อไปนี้เพื่อให้สามารถแบ่งกรณิได้ง่ายขึ้น

บทตั้ง 4.1.1 ถ้า  $\Delta ABC$  และ  $\Delta DEF$  เป็นรูปสามเหลี่ยมสองรูปนั้นๆ และ  $\deg_T \leq 3$

บทพิสูจน์ ซึ่งจะแบ่งการพิสูจน์เป็น 3 ส่วน ดังนี้

บทตั้งที่ 4.1.1.1 ถ้าจุดยอดทุกจุดของ  $\Delta ABC$  มีดีกรีเท่ากัน และ  $\deg_T \leq 3$

บทตั้งที่ 4.1.1.2 ถ้ามีจุดยอดของ  $\Delta ABC$  เพียง 2 จุดเท่านั้นที่มีดีกรีเท่ากัน และ  $\deg_T \leq 3$

บทตั้งที่ 4.1.1.3 ถ้าจุดยอดทุกจุดของ  $\Delta ABC$  มีดีกรีแตกต่างกันทั้งหมด และ  $\deg_T \leq 3$

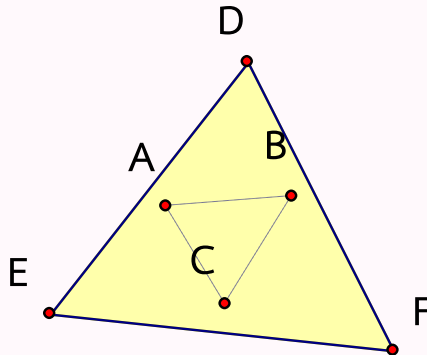
บทตั้งที่ 4.1.1.1 แบ่งออกเป็น 3 กรณี ดังนี้

กรณีที่ 1 ดีกรีของจุดยอดทุกจุดของ  $\Delta ABC$  เท่ากับ 1 จะได้ว่า จุด  $A$  จุด  $B$  และจุด  $C$  ต้องอยู่ภายใน  $\Delta DEF$  ดังนั้น จุด  $D$  จุด  $E$  และจุด  $F$  ต้องอยู่ภายนอก  $\Delta ABC$

$$\deg_T = \deg(A) + \deg(B) + \deg(C) + \deg(D) + \deg(E) + \deg(F)$$

$$= 1 + 1 + 1 + 0 + 0 + 0 = 3$$

กรณีนี้ได้ว่า  $\deg_T \leq 3$  จริง



ภาพที่ 4.1.1.1.1 รูปประกอบการพิสูจน์บทตั้งที่ 4.1.1.1 กรณีที่ 1

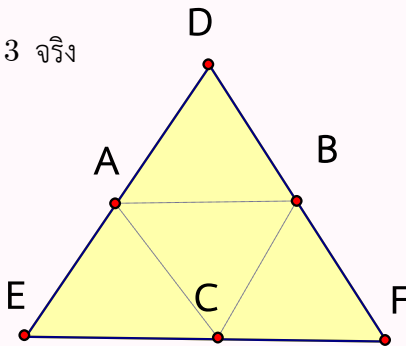
กรณีที่ 2 ดีกรีของจุดยอดทุกจุดของ  $\Delta ABC$  เท่ากับ 0.5 จะได้ว่า จุด  $A$  จุด  $B$  และจุด  $C$  ต้องอยู่บนด้านหรือจุดยอดของ  $\Delta DEF$  ดังนั้น จุด  $D$  จุด  $E$  และจุด  $F$  ต้องอยู่ภายนอก  $\Delta ABC$  หรือเป็นจุดเดียวกันกับจุดยอดของ  $\Delta ABC$

$$\text{นั่นคือ } \deg(D) + \deg(E) + \deg(F) \leq 0.5 + 0.5 + 0.5 = 1.5$$

$$\deg_T = \deg(A) + \deg(B) + \deg(C) + \deg(D) + \deg(E) + \deg(F)$$

$$\leq 1.5 + 1.5 = 3$$

กรณีนี้ได้ว่า  $\deg_T \leq 3$  จริง



ภาพที่ 4.1.1.1.2 รูปประกอบการพิสูจน์บทตั้งที่ 4.1.1.1 กรณีที่ 2

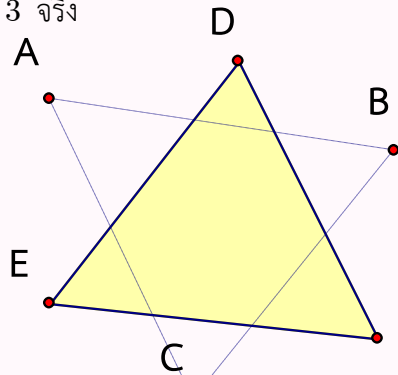
กรณีที่ 3 ดีกรีของจุดยอดทุกจุดของ  $\Delta ABC$  เท่ากับ 0 เนื่องจากดีกรีของจุดยอดแต่ละจุดมีค่าไม่เกิน 1 ดังนั้น

$$\deg(D) + \deg(E) + \deg(F) \leq 1 + 1 + 1 = 3$$

$$\deg_T = \deg(A) + \deg(B) + \deg(C) + \deg(D) + \deg(E) + \deg(F)$$

$$\leq 0 + 3 = 3$$

กรณีนี้ได้ว่า  $\deg_T \leq 3$  จริง



ภาพที่ 4.1.1.1.3 รูปประกอบการพิสูจน์บทตั้งที่ 4.1.1.1 กรณีที่ 3

จากทั้ง 3 กรณี จึงสรุปได้ว่า ถ้าจุดยอดทุกจุดของ  $\Delta ABC$  มีดีกรีเท่ากัน แล้ว  $\deg_T \leq 3$

บทตั้งที่ 4.1.1.2 แบ่งออกเป็น 6 กรณี ดังนี้

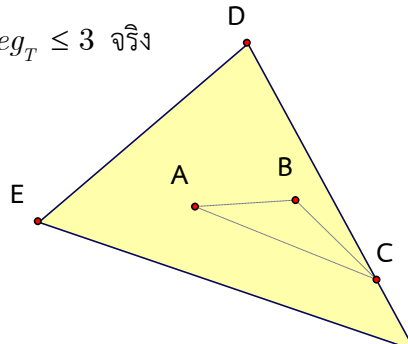
กรณีที่ 1 จุดยอด 2 จุดของ  $\Delta ABC$  มีดีกรีเท่ากับ 1 อีกจุดหนึ่งมีดีกรีเท่ากับ 0.5

ให้  $\deg(A)$  และ  $\deg(B)$  เท่ากับ 1 ส่วน  $\deg(C)$  เท่ากับ 0.5 จะได้ว่า จุด  $A$  และ จุด  $B$  อยู่ภายใน  $\Delta DEF$  ส่วนจุด  $C$  อยู่บนด้านหรือจุดยอดของ  $\Delta DEF$

$$\text{ดังนั้น } \deg(D) + \deg(E) + \deg(F) \leq 0 + 0 + 0.5 = 0.5$$

$$\begin{aligned} \deg_T = \deg(A) + \deg(B) + \deg(C) + \deg(D) + \deg(E) + \deg(F) \\ \leq 0 + 3 = 3 \end{aligned}$$

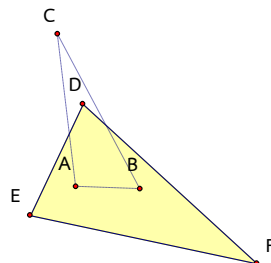
กรณีนี้ได้ว่า  $\deg_T \leq 3$  จริง



ภาพที่ 4.1.1.2.1 รูปประกอบการพิสูจน์บทตั้งที่ 4.1.1.2 กรณีที่ 1

กรณีที่ 2 จุดยอด 2 จุดของ  $\Delta ABC$  มีดีกรีเท่ากับ 1 อีกจุดหนึ่งมีดีกรีเท่ากับ 0

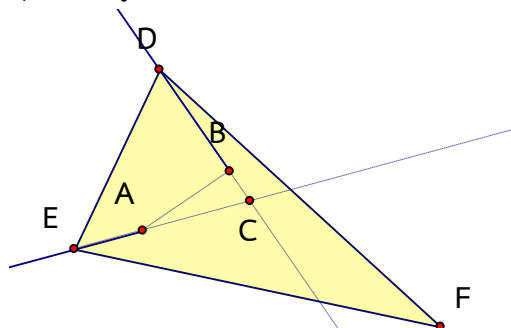
ให้  $\deg(A)$  และ  $\deg(B)$  เท่ากับ 1 ส่วน  $\deg(C)$  เท่ากับ 0 จะพิสูจน์ว่า  $\Delta DEF$  ไม่สามารถมีจุดยอดที่มีดีกรีมากกว่า 0 ได้เกิน 1 จุด โดยการหาข้อขัดแย้ง



ภาพที่ 4.1.1.2.2 รูปประกอบการพิสูจน์บทตั้งที่ 4.1.1.2 กรณีที่ 2

สมมติให้จุด  $D$  และจุด  $E$  เป็นจุดยอด 2 จุดของ  $\Delta DEF$  ที่มีดีกรีมากกว่า 0 จะได้ว่า จุด  $D$  และจุด  $E$  ต้องอยู่บนด้านของ  $\Delta ABC$  หรืออยู่ภายใน  $\Delta ABC$  ซึ่งจะพิจารณาเป็น 3 กรณี ดังนี้

2.1 จุด  $D$  และจุด  $E$  อยู่บนด้านของ  $\Delta ABC$



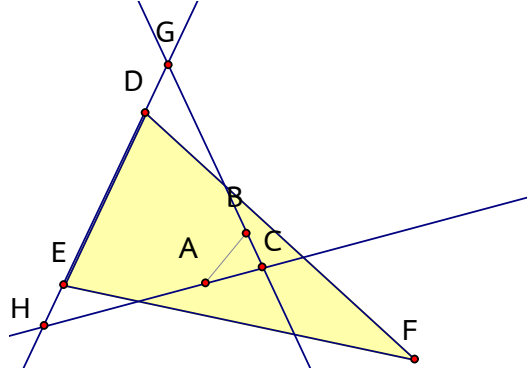
ภาพที่ 4.1.1.2.2.1 รูปประกอบการพิสูจน์บทตั้งที่ 4.1.1.2 กรณีที่ 2.1

เนื่องจากจุด  $A$  และจุด  $B$  อยู่ภายใน  $\Delta DEF$  จะได้ว่ามุม  $E\hat{D}B$  มีขนาดเล็กกว่ามุม  $E\hat{D}F$  และมุม  $A\hat{E}D$  มีขนาดเล็กกว่ามุม  $D\hat{E}F$

เมื่อต่อส่วนของเส้นตรง  $\overline{DB}$  และ  $\overline{AE}$  เส้นตรงทั้งสองจะตัดกันภายใน  $\Delta ABC$  ได้ว่า จุด  $C$  จะอยู่ภายใน  $\Delta DEF$  ซึ่งขัดแย้งกับที่กำหนดให้  $\deg(C) = 0$

ดังนั้น จุด  $D$  และจุด  $E$  ไม่สามารถอยู่บนด้านของ  $\Delta ABC$  ในขณะเดียวกันได้

2.2 จุด  $D$  และจุด  $E$  อยู่ภายนอก  $\Delta ABC$



ภาพที่ 4.1.1.2.2.2 รูปประกอบการพิสูจน์บทตั้งที่ 4.1.1.2 กรณีที่ 2.2

จะได้ว่ามีจุด  $G$  และจุด  $H$  บนส่วนต่อของ  $\overline{DE}$  ที่ทำให้ส่วนของเส้นตรง  $\overline{BG}$  และ  $\overline{AH}$  อยู่บนด้าน  $BC$  และ  $AC$  ตามลำดับ

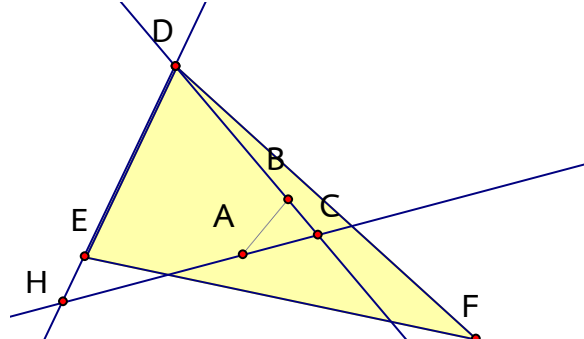
พิจารณา มุม  $B\hat{G}D$  มีขนาดเล็กกว่ามุม  $F\hat{D}E$  และมุม  $A\hat{H}E$  มีขนาดเล็กกว่ามุม  $F\hat{E}D$

เมื่อต่อส่วนของเส้นตรง  $\overline{GB}$  และ  $\overline{HA}$  เส้นตรงทั้งสองจะตัดกันภายใน  $\Delta ABC$

ได้ว่า จุด  $C$  จะอยู่ภายใน  $\Delta DEF$  ซึ่งขัดแย้งกับที่กำหนดให้  $\deg(C) = 0$

ดังนั้น จุด  $D$  และจุด  $E$  ไม่สามารถอยู่ภายนอก  $\Delta ABC$  ในขณะเดียวกันได้

2.3 จุด  $D$  อยู่บนด้านของ  $\Delta ABC$  และ  $E$  อยู่ภายนอก  $\Delta ABC$



ภาพที่ 4.1.1.2.2.3 รูปประกอบการพิสูจน์บทตั้งที่ 4.1.1.2 กรณีที่ 2.3

เนื่องจาก  $E$  อยู่ภายใน  $\Delta ABC$  จะได้ว่ามีจุด  $H$  บนส่วนต่อของ  $\overline{DE}$  ที่ทำให้  $\overline{AH}$  อยู่บนด้าน  $\overline{BC}$

พิจารณาหมุน  $A\hat{H}E$  มีขนาดเล็กกว่าหมุน  $F\hat{E}D$

เนื่องจากจุด  $B$  อยู่ภายใน  $\Delta DEF$  จะได้ว่ามุม  $E\hat{D}B$  มีขนาดเล็กกว่ามุม  $E\hat{D}F$

เมื่อต่อส่วนของเส้นตรง  $\overline{DB}$  และ  $\overline{HA}$  เส้นตรงทั้งสองจะตัดกันภายใน  $\Delta ABC$

ได้ว่า จุด  $C$  จะอยู่ภายใน  $\Delta DEF$  ซึ่งขัดแย้งกับที่กำหนดให้  $\deg(C) = 0$

ดังนั้น จุด  $E$  ไม่สามารถอยู่ภายใน  $\Delta ABC$  และจุด  $D$  ไม่สามารถอยู่บนด้านของ  $\Delta ABC$  ในขณะเดียวกันได้

จากที่ 3 กรณี สรุปได้ว่า เมื่อ  $\deg(A) = \deg(B) = 1$  และ  $\deg(C) = 0$  ดังนั้น

$\Delta DEF$  ไม่สามารถมีจุดยอดที่มีดีกรีมากกว่า 0 เกิน 1 จุดได้ นั่นคือ

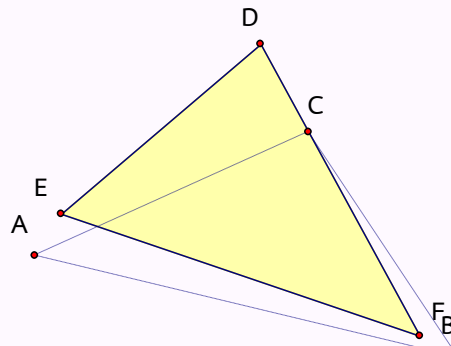
$$\deg(D) + \deg(E) + \deg(F) \leq 1$$

$$\deg_T = \deg(A) + \deg(B) + \deg(C) + \deg(D) + \deg(E) + \deg(F)$$

$$\leq 1 + 1 + 0 + 1 = 3$$

กรณีนี้ได้ว่า  $\deg_T \leq 3$  จริง

กรณีที่ 3 จุดยอด 2 จุดของ  $\Delta ABC$  มีดีกรีเท่ากับ 0 อีกจุดหนึ่งมีดีกรีเท่ากับ 0.5



ภาพที่ 4.1.1.2.3 รูปประกอบการพิสูจน์บทตั้งที่ 4.1.1.2 กรณีที่ 3

ให้  $\deg(A)$  และ  $\deg(B)$  เท่ากับ 0 ส่วน  $\deg(C)$  เท่ากับ 0.5

จะพิสูจน์ว่า  $\deg(D) + \deg(E) + \deg(F) < 3$  เสมอโดยการหาข้อขัดแย้ง

$$\text{สมมติให้ } \deg(D) + \deg(E) + \deg(F) = 3$$

นั่นคือ  $\deg(D) = 1, \deg(E) = 1$  และ  $\deg(F) = 1$

หมายความว่า จุด  $A$  จุด  $B$  และจุด  $C$  ต้องอยู่ภายนอก  $\Delta DEF$  ซึ่งขัดแย้งกับที่กำหนดให้  $\deg(C) = 0.5$

ดังนั้น  $\deg(D) + \deg(E) + \deg(F) < 3$

นั่นคือ  $\deg(D) + \deg(E) + \deg(F) \leq 2.5$

จึงได้ว่า

$$\deg_T = \deg(A) + \deg(B) + \deg(C) + \deg(D) + \deg(E) + \deg(F)$$

$$\leq 0 + 0 + 0.5 + 2.5 = 3$$

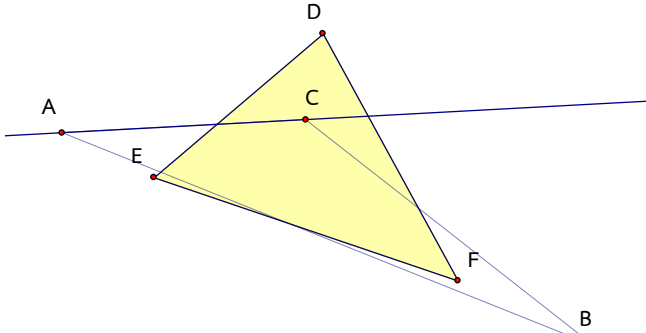
กรณีที่  $deg_T \leq 3$  จริง

กรณีที่ 4 จุดยอด 2 จุดของ  $\Delta ABC$  มีดีกรีเท่ากับ 0 อีกจุดหนึ่งมีดีกรีเท่ากับ 1

ให้  $\deg(A)$  และ  $\deg(B)$  เท่ากับ 0 ส่วน  $\deg(C)$  เท่ากับ 1

เนื่องจากจุด  $C$  อยู่ภายนอก  $\Delta DEF$  ได้ว่าเส้นตรง  $\overline{AC}$  จะแบ่งจุดยอดของ  $\Delta DEF$  ออกเป็น 2 ส่วนเสมอ คือส่วนที่อยู่ทางซ้ายและส่วนที่อยู่ทางขวาของเส้นตรง  $\overline{AC}$

พิจารณาอีก 1 กรณีที่  $\angle BCA \geq 180^\circ$  เสมอ



ภาพที่ 4.1.1.2.4 รูปประกอบการพิสูจน์บทต่อที่ 4.1.1.2 กรณีที่ 4

จะได้ว่า  $\Delta ABC$  สามารถครอบคลุมจุดยอดของ  $\Delta DEF$  ได้เพียงส่วนเดียวเมื่อเทียบกับด้าน  $\overline{AC}$

ดังนั้น  $\Delta ABC$  สามารถครอบคลุมจุดยอดของ  $\Delta DEF$  ได้อย่างมาก 2 จุด

นั่นคือ  $\deg(A) + \deg(B) + \deg(C) = 1$

$$\deg(D) + \deg(E) + \deg(F) \leq 2$$

ดังนั้น

$$\deg_T = \deg(A) + \deg(B) + \deg(C) + \deg(D) + \deg(E) + \deg(F)$$

$$\leq 1 + 2 = 3$$

กรณีได้ว่า  $\deg_T \leq 3$  จริง

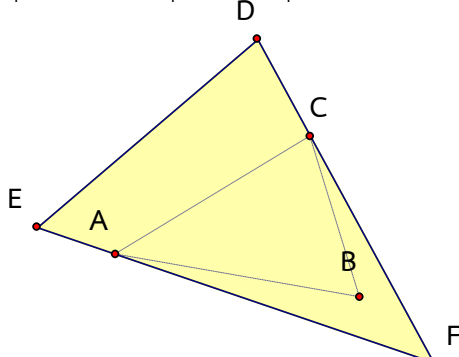
กรณีที่ 5 จุดยอด 2 จุดของ  $\Delta ABC$  มีดีกรีเท่ากับ 0.5 อีกจุดหนึ่งมีดีกรีเท่ากับ 1

ให้  $\deg(A)$  และ  $\deg(B)$  เท่ากับ 0.5 ส่วน  $\deg(C)$  เท่ากับ 1

นั่นคือ จุด  $A$  และจุด  $B$  อยู่บนด้านของ  $\Delta DEF$  ส่วนจุด  $C$  อยู่ภายนอก  $\Delta DEF$

ดังนั้น  $\Delta ABC$  แบบใน  $\Delta DEF$

จะได้ว่า  $\deg(D) + \deg(E) + \deg(F)$  มีค่าได้มากที่สุดเท่ากับ 1 เมื่อจุดยอด 2 จุด  
ของ  $\Delta DEF$  เป็นจุดเดียวกันกับจุดยอด 2 จุดของ  $\Delta ABC$



ภาพที่ 4.1.1.2.5 รูปประกอบการพิสูจน์บทต่อที่ 4.1.1.2 กรณีที่ 5

ดังนั้น

$$\deg T = \deg(A) + \deg(B) + \deg(C) + \deg(D) + \deg(E) + \deg(F)$$

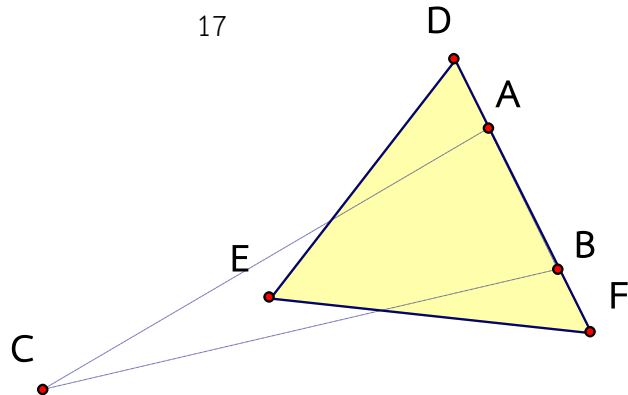
$$\leq 0.5 + 0.5 + 1 + 1 = 3$$

กรณีได้ว่า  $\deg_T \leq 3$  จริง

กรณีที่ 6 จุดยอด 2 จุดของ  $\Delta ABC$  มีดีกรีเท่ากับ 0.5 อีกจุดหนึ่งมีดีกรีเท่ากับ 0

ให้  $\deg(A)$  และ  $\deg(B)$  เท่ากับ 0.5 ส่วน  $\deg(C)$  เท่ากับ 0 ซึ่งจะพิจารณาเป็น 2  
กรณี ดังนี้

1)  $A$  และ  $B$  อยู่บนด้านเดียวกันของ  $\Delta DEF$



ภาพที่ 4.1.1.2.6.1.1 รูปประกอบการพิสูจน์บทตั้งที่ 4.1.1.2 กรณีที่ 6.1 รูปที่ 1

ให้  $A$  และ  $B$  อยู่บนด้าน  $\overline{DF}$  เนื่องจาก  $C$  อยู่ภายนอก  $\Delta DEF$  จะได้ว่า  $C$  สามารถอยู่บนด้านเดียวกันหรือด้านตรงกันข้ามกับจุด  $E$  เมื่อเทียบกับด้าน  $\overline{DF}$

- ถ้า  $C$  อยู่บนด้านเดียวกันกับจุด  $E$  จะสามารถหาตำแหน่งของ  $C$  ที่ทำให้  $\Delta ABC$  ครอบคลุมจุด  $E$

พิจารณาจุด  $D$  และจุด  $F$

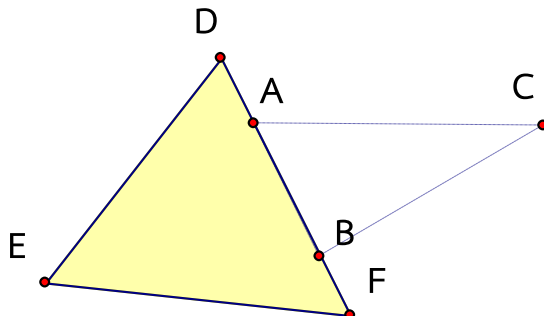
$\deg(D)$  และ  $\deg(F)$  มีค่าอย่างมากเท่ากับ 0.5 เมื่อจุด  $A$  และ  $B$  เป็นจุดเดียวกันกับจุด  $D$  และจุด  $F$

$$\text{นั่นคือ } \deg(A) + \deg(B) + \deg(C) = 0.5 + 0.5 + 0 = 1$$

$$\deg(D) + \deg(E) + \deg(F) \leq 0.5 + 1 + 0.5 = 2$$

$$\begin{aligned} \deg_T &= \deg(A) + \deg(B) + \deg(C) + \deg(D) + \deg(E) + \deg(F) \\ &\leq 1 + 2 = 3 \end{aligned}$$

- ถ้า  $C$  อยู่บนด้านตรงกันข้ามกับจุด  $E$  จะได้ว่า  $\deg(E)$  เท่ากับ 0



ภาพที่ 4.1.1.2.6.1.2 รูปประกอบการพิสูจน์บทตั้งที่ 4.1.1.2 กรณีที่ 6.1 รูปที่ 2

พิจารณาจุด  $D$  และจุด  $F$

$\deg(D)$  และ  $\deg(F)$  มีค่าอย่างมากเท่ากับ 0.5 เมื่อจุด  $A$  และ  $B$  เป็นจุดเดียวกันกับจุด  $D$  และจุด  $F$

นั่นคือ  $\deg(A) + \deg(B) + \deg(C) = 0.5 + 0.5 + 0 = 1$

$$\deg(D) + \deg(E) + \deg(F) \leq 0.5 + 0 + 0.5 = 1$$

$$\deg_T = \deg(A) + \deg(B) + \deg(C) + \deg(D) + \deg(E) + \deg(F)$$

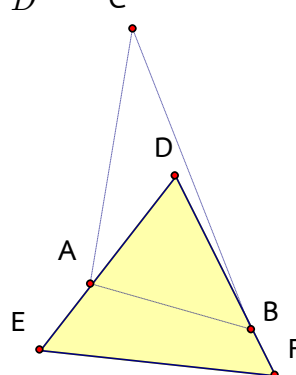
$$\leq 1 + 1 = 2$$

2)  $A$  และ  $B$  อยู่บนด้านที่ต่างกันของ  $\Delta DEF$

ให้  $A$  และ  $B$  อยู่บนด้าน  $\overline{DE}$  และ  $\overline{DF}$  ตามลำดับ

เนื่องจาก  $C$  อยู่ภายนอก  $\Delta DEF$  จะได้ว่า  $C$  สามารถอยู่บนด้านเดียวกันหรือด้านตรงกันข้ามกับจุด  $D$  เมื่อเทียบกับด้าน  $\overline{AB}$

- ถ้า  $C$  อยู่บนด้านเดียวกันกับจุด  $D$  จะสามารถหาตำแหน่งของ  $C$  ที่ทำให้  $\Delta ABC$  ครอบคลุมจุด  $D$



ภาพที่ 4.1.1.2.6.2 รูปประกอบการพิสูจน์บทตั้งที่ 4.1.1.2 กรณีที่ 6.2

พิจารณาจุด  $E$  และจุด  $F$

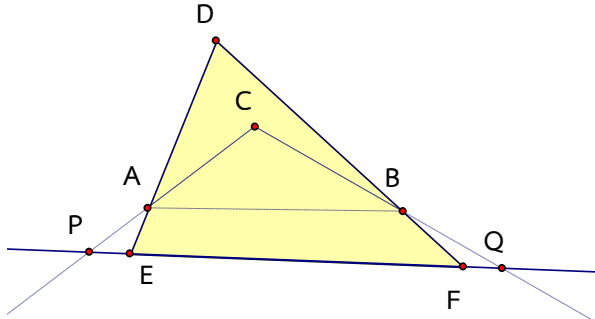
$\deg(E)$  และ  $\deg(F)$  มีค่าอย่างมากเท่ากับ 0.5 เมื่อจุด  $A$  และ  $B$  เป็นจุดเดียวกันกับจุด  $E$  และจุด  $F$

นั่นคือ  $\deg(A) + \deg(B) + \deg(C) = 0.5 + 0.5 + 0 = 1$

$$\deg(D) + \deg(E) + \deg(F) \leq 1 + 0.5 + 0.5 = 2$$

$$\begin{aligned} \deg_T &= \deg(A) + \deg(B) + \deg(C) + \deg(D) + \deg(E) + \deg(F) \\ &\leq 1 + 2 = 3 \end{aligned}$$

- ถ้า  $C$  อยู่บนด้านตรงกันข้ามกับจุด  $D$  จะพิสูจน์ว่า  $C$  ไม่สามารถทำให้  $\Delta ABC$  ครอบคลุมจุด  $E$  และ  $F$  ได้ในขณะเดียวกัน โดยการหาข้อขัดแย้ง สมมติให้  $\Delta ABC$  ครอบคลุมจุด  $E$  และ  $F$  ได้ในขณะเดียวกัน จะได้ว่ามีจุด  $P$  และจุด  $Q$  บนส่วนต่อของ  $\overline{EF}$  ที่ทำให้ส่วนของเส้นตรง  $\overline{AP}$  และ  $\overline{BQ}$  อยู่บนเส้นตรง  $\overline{AC}$  และ  $\overline{BC}$  ตามลำดับ



ภาพที่ 4.1.1.2.6.3 รูปประกอบการพิสูจน์บทตั้งที่ 4.1.1.2 กรณีที่ 6.3

พิจารณา มุม  $A\hat{P}E$  มีขนาดเล็กกว่า  $D\hat{E}F$

มุม  $B\hat{Q}F$  มีขนาดเล็กกว่า  $D\hat{F}E$

เมื่อต่อส่วนของเส้นตรง  $\overline{AP}$  และ  $\overline{BQ}$  เส้นตรงทั้งสองจะตัดกันภายใน  $\Delta ABC$

ได้ว่า จุด  $C$  จะอยู่ภายใน  $\Delta DEF$  ซึ่งขัดแย้งกับที่กำหนดให้  $\deg(C)=0$

ดังนั้น จุด  $C$  ไม่สามารถทำให้  $\Delta ABC$  ครอบคลุมจุด  $E$  และ  $F$  ได้ในขณะเดียวกัน นั่นคือ  $\deg(A) + \deg(B) + \deg(C) = 0.5 + 0.5 + 0 = 1$

$$\deg(D) + \deg(E) + \deg(F) \leq 0 + 1 + 0 = 1$$

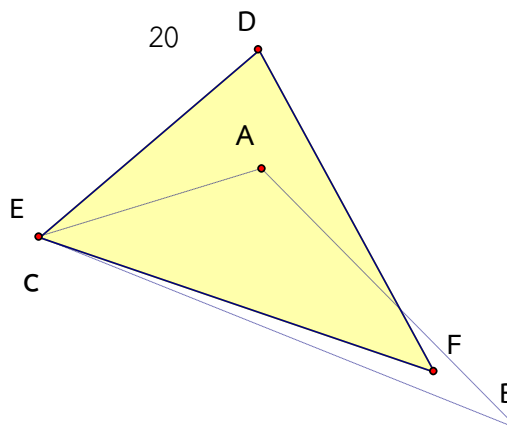
$$\deg_T = \deg(A) + \deg(B) + \deg(C) + \deg(D) + \deg(E) + \deg(F)$$

$$\leq 1 + 1 = 2$$

ดังนั้น กรณีนี้ได้ว่า  $\deg_T \leq 3$  จริง

บทตั้งที่ 4.1.1.3 ถ้าจุดยอดทุกจุดของ  $\Delta ABC$  มีดีกรีแต่ละต่างกันทั้งหมด แล้ว  $\deg_T \leq 3$

ให้  $\deg(A), \deg(B)$  และ  $\deg(C)$  มีค่าเท่ากับ 1, 0 และ 0.5 ตามลำดับ



ภาพที่ 4.1.1.3 รูปประกอบการพิสูจน์บทตั้งที่ 4.1.1.3

เนื่องจาก  $\deg(C) = 0.5$  ได้ว่า จุด  $C$  จะทำให้จุดยอดจุดหนึ่งของ  $\Delta DEF$  มีค่าดีกรีได้อย่างมาก 0.5 (เมื่อจุด  $C$  เป็นจุดเดียวกันกับจุดยอดหนึ่งของ  $\Delta DEF$ )

พิจารณาจุด  $A$  เนื่องจาก  $\deg(A)=1$  ดังนั้น  $A$  อยู่ภายใน  $\Delta DEF$

สร้างเส้นตรง  $\overline{CA}$  ตัด  $\Delta DEF$  ได้ว่า  $\overline{CA}$  จะแบ่งจุด  $D, E, F$  ออกเป็น 2 ส่วนเมื่อเทียบกับเส้นตรง  $\overline{CA}$  ดังนั้น จุด  $B$  สามารถทำให้  $\Delta ABC$  ครอบคลุมจุดยอดของ  $\Delta DEF$  ได้อย่างมาก 2 จุด

อย่างไรก็ตาม จุด  $B$  สามารถทำให้  $\Delta ABC$  ครอบคลุมจุดยอด  $\Delta DEF$  ได้เพียง 1 จุดเท่านั้น เพราะว่า จุดยอด  $C$  อยู่บนด้านหรือจุดยอดของ  $\Delta DEF$  และจุด  $A$  อยู่ภายใน  $\Delta DEF$

$$\text{นั่นคือ } \deg(A) + \deg(B) + \deg(C) \leq 1 + 0 + 0.5 = 1.5$$

$$\deg(D) + \deg(E) + \deg(F) \leq 0 + 0.5 + 1 = 1.5$$

$$\deg_T = \deg(A) + \deg(B) + \deg(C) + \deg(D) + \deg(E) + \deg(F) \leq 3$$

ต่อไปจะใช้ขั้นตอนที่ 4.1.1 ในการแบ่งกรณีของการจัดเรียงรูปสามเหลี่ยมสองรูปที่เป็นไปได้ทั้งหมดโดยไม่เสียนัยทั่วไป สมมติให้  $\deg(\Delta ABC) \geq \deg(\Delta DEF)$  จากบทตั้งที่ 4.1.1 จะสามารถแบ่งกรณีของค่า  $\deg_T$  ออกเป็น 7 กรณี ดังนี้

$$\text{กรณีที่ } 1 \quad \deg_T = 3$$

$$\text{กรณีที่ } 2 \quad \deg_T = 2.5$$

$$\text{กรณีที่ } 3 \quad \deg_T = 2$$

$$\text{กรณีที่ } 4 \quad \deg_T = 1.5$$

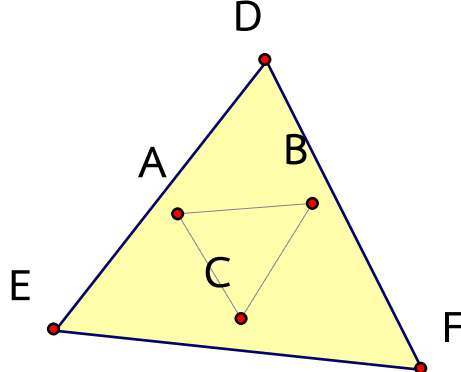
$$\text{กรณีที่ } 5 \quad \deg_T = 1$$

$$\text{กรณีที่ } 6 \quad \deg_T = 0.5$$

$$\text{กรณีที่ } 7 \quad \deg_T = 0$$

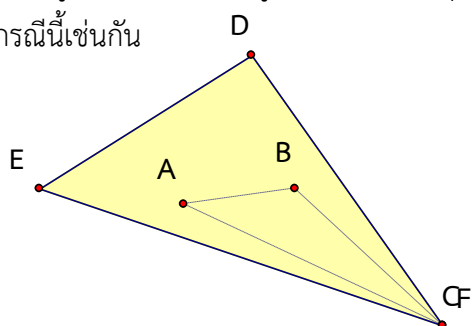
กรณีที่ 1  $\deg_T = 3$  จะสามารถแบ่งกรณีดังกล่าวออกเป็น 4 กรณีอย่าง ได้ดังนี้

กรณีย่อยที่ 1.1  $\deg(\Delta ABC) = 3$  และ  $\deg(\Delta DEF) = 0$  ในกรณีนี้ สามเหลี่ยม  $ABC$  ถูกสามเหลี่ยม  $DEF$  ซ้อนทับอย่างสมบูรณ์ดังรูป ทำให้ได้ว่า พื้นที่ซ้อนทับของรูปสามเหลี่ยมสองรูปคือพื้นที่ของรูปสามเหลี่ยม  $ABC$  ซึ่งเป็นพื้นที่ซ้อนทับที่มากที่สุดที่เป็นไปได้แล้ว ดังนั้น จะไม่พิจารณาในกรณีนี้



ภาพที่ 4-1.1 รูปประกอบการพิสูจน์กรณีที่ 1 กรณีย่อยที่ 1.1

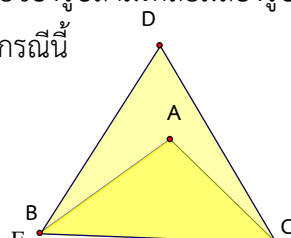
กรณีย่อยที่ 1.2  $\deg(\Delta ABC) = 2.5$  และ  $\deg(\Delta DEF) = 0.5$  เช่นเดียวกันกับกรณีย่อยที่ 1 พื้นที่ซ้อนทับของรูปสามเหลี่ยมสองรูปนั้นมีค่ามากที่สุดที่เป็นไปได้แล้ว ดังนั้น จะไม่พิจารณาในกรณีนี้เช่นกัน



ภาพที่ 4-1.2 รูปประกอบการพิสูจน์กรณีที่ 1 กรณีย่อยที่ 1.2

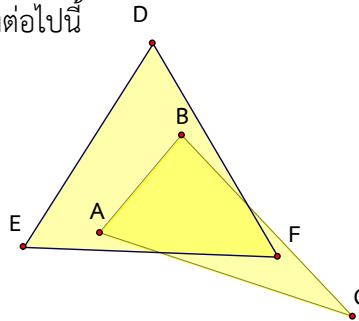
กรณีย่อยที่ 1.3  $\deg(\Delta ABC) = 2$  และ  $\deg(\Delta DEF) = 1$  จะได้ว่าการจัดเรียงของรูปสามเหลี่ยมในกรณีนี้สามารถเกิดขึ้นได้ 2 รูปแบบ

1.3.1 ในรูปแบบดังกล่าว พื้นที่ซ้อนทับของรูปสามเหลี่ยมสองรูปนั้นมีค่ามากที่สุดที่เป็นไปได้แล้ว ดังนั้น จะไม่พิจารณาในกรณีนี้



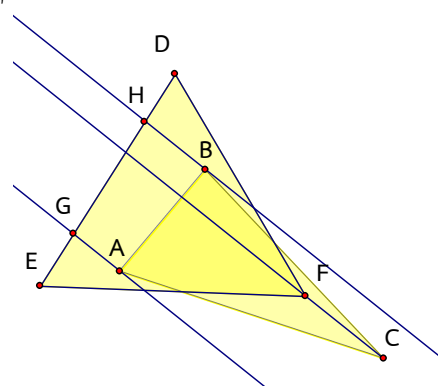
ภาพที่ 4-1.3.1 รูปประกอบการพิสูจน์กรณีที่ 1 กรณีย่อยที่ 1.3 (1.3.1)

1.3.2 ในกรณีนี้ จะพิสูจน์ได้ว่า สามารถเลื่อนขนาดหรือหมุนรูปสามเหลี่ยมเพื่อเพิ่มพื้นที่ช้อนทับโดยใช้ขั้นตอนวิธีการดังต่อไปนี้



ภาพที่ 4-1.3.2.1 รูปประกอบการพิสูจน์กรณีที่ 1 กรณีย่อที่ 1.3 (1.3.2 รูปที่1)

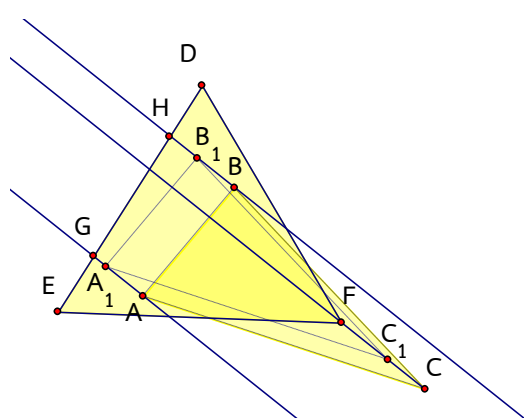
- 1) สร้างเส้นตรง  $\overline{FC}$  และเส้นตรงที่ขนานกับ  $\overline{FC}$  จำนวน 2 เส้น โดยเส้นหนึ่งผ่านจุด  $D$  และอีกเส้นหนึ่งผ่านจุด  $E$
- 2) เลื่อนขนาด  $\Delta ABC$  ตามแนวรังสี  $\overrightarrow{CF}$  โดยมีเงื่อนไขว่าจุด  $A$  และจุด  $B$  ต้องไม่อยู่ภายนอก  $\Delta DEF$



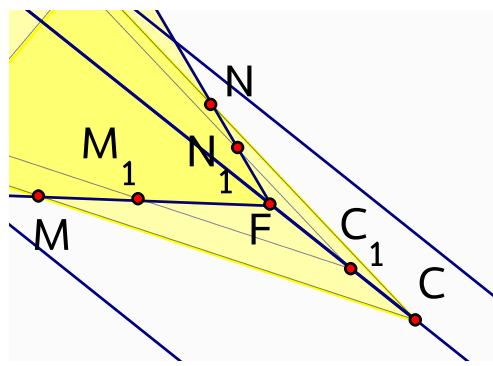
ภาพที่ 4-1.3.2.2 รูปประกอบการพิสูจน์กรณีที่ 1 กรณีย่อที่ 1.3 (1.3.2 รูปที่2)

ต่อไปจะแสดงว่าพื้นที่ช้อนทับของรูปสามเหลี่ยมสองรูปจะเพิ่มขึ้นภายหลังจากการแปลงตามขั้นตอนข้างต้น

พิจารณา  $\Delta ABC$  และ  $\Delta A_1B_1C_1$  เมื่อ  $\Delta A_1B_1C_1$  คือ  $\Delta ABC$  ที่ได้ผ่านการเลื่อนขนาดตามวิธีการข้างต้น



ภาพที่ 4-1.3.2.3 รูปประกอบการพิสูจน์กรณีที่ 1 กรณีย่อที่ 1.3 (1.3.2 รูปที่3)



ภาพที่ 4-1.3.2.4 รูปประกอบการพิสูจน์กรณีที่ 1 กรณีย่ออย่างที่ 1.3 (1.3.2 รูปที่4)

กำหนดให้  $\overline{CA}$  ตัดกับ  $\overline{EF}$  ที่จุด  $MC_1A_1$  ตัดกับ  $\overline{EF}$  ที่จุด  $M_1$  และ  $\overline{CB}$  ตัดกับ  $\overline{DF}$  ที่จุด  $NC_1B_1$  ตัดกับ  $DF$  ที่จุด  $N_1$

พิจารณา  $\Delta MFC$  และ  $\Delta M_1FC_1$  เนื่องจาก  $\overline{M_1C_1}$  ขนานกับ  $\overline{MC}$  และมุม  $M_1\hat{F}C_1$  เป็นมุมร่วมกันของรูปสามเหลี่ยมทั้งสองรูป จะได้ว่า  $\Delta M_1FC_1$  คล้ายกับ  $\Delta MFC$  ดังนั้น อัตราส่วนของพื้นที่รูป  $\Delta M_1FC_1$  ต่อรูป  $\Delta MFC$  เท่ากับ

$$\frac{FC_1^2}{FC^2}$$

และเนื่องจาก  $\Delta ABC$  ถูกเลื่อนขึ้นไปตามแนวรั้งสี  $\overrightarrow{CF}$  เกิดเป็น  $\Delta A_1B_1C_1$  ดังนั้น  $\overline{FC_1}$  ต้องสั้นกว่า  $\overline{FC}$  จึงได้ว่า

$$FC_1 < FC$$

$$\frac{FC_1^2}{FC^2} < 1$$

$$\begin{aligned} [\Delta M_1FC_1] &= \frac{FC_1^2}{FC^2} \times [\Delta MFC] < 1 \times [\Delta MFC] \\ [\Delta M_1FC_1] &< [\Delta MFC] \end{aligned}$$

ในทำนองเดียวกัน จะได้ว่า  $[\Delta N_1FC_1] < [\Delta NFC]$  ดังนั้น

$$[N_1FM_1C_1] = [N_1FC_1] + [M_1FC_1] < [MFC] + [NFC] = [NFMC]$$

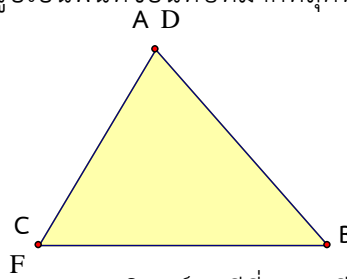
$$\begin{aligned} [N_1FM_1C_1] &< [NFMC] \\ [A_1B_1C_1] - [N_1FM_1C_1] &> [ABC] - [NFMC] \\ [A_1B_1N_1FM_1] &> [ABNF] \end{aligned}$$

จึงได้ว่า พื้นที่ช้อนทับของรูปสามเหลี่ยมสองรูปหลังจากการแปลงมีค่าเพิ่มขึ้น หรือ  
อาจกล่าวได้ว่า สามารถหาวิธีการในการแปลงรูปสามเหลี่ยมเพื่อเพิ่มพื้นที่ช้อนทับใน  
กรณีนี้ได้

จึงสรุปได้ว่า พื้นที่ช้อนทับที่มากที่สุดของรูปสามเหลี่ยมสองรูปจะไม่เกิดขึ้นในกรณี  
ดังกล่าว

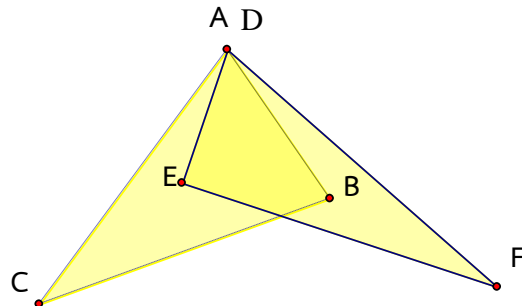
กรณีย่อที่ 1.4  $\deg(\Delta ABC) = 1.5$  และ  $\deg(\Delta DEF) = 1.5$  จะได้ว่าการจัดเรียงของรูป  
สามเหลี่ยมในกรณีสามารถเกิดขึ้นได้ 2 รูปแบบ

1.4.1 ในกรณี สามเหลี่ยมทั้งสองรูปเป็นสามเหลี่ยมรูปเดียวกันทำให้ได้ว่า พื้นที่ช้อนทับ  
ของรูปสามเหลี่ยมสองรูปเป็นพื้นที่ช้อนทับที่มากที่สุดที่เป็นไปได้แล้ว ดังนั้น จะไม่  
พิจารณาในกรณีนี้



ภาพที่ 4-1.4.1 รูปประกอบการพิสูจน์กรณีที่ 1 กรณีย่อที่ 1.4 (1.4.1)

1.4.2 ในกรณี จะพิสูจน์ได้ว่า สามารถเลื่อนฐานหรือหมุนรูปสามเหลี่ยมเพื่อเพิ่มพื้นที่  
ช้อนทับโดยใช้ขั้นตอนวิธีการดังต่อไปนี้

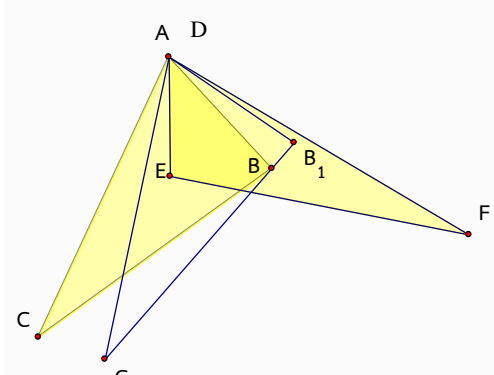


ภาพที่ 4-1.4.2.1 รูปประกอบการพิสูจน์กรณีที่ 1 กรณีย่อที่ 1.4 (1.4.2 รูปที่ 1)

1) ใช้ จุด  $A$  เป็นจุดหมุน หมุนรูป  $\Delta ABC$  ไปในทิศทางเข็มนาฬิกาโดยมี  
เงื่อนไขว่า จุด  $B$  จะต้องไม่อยู่ภายนอก  $\Delta DEF$

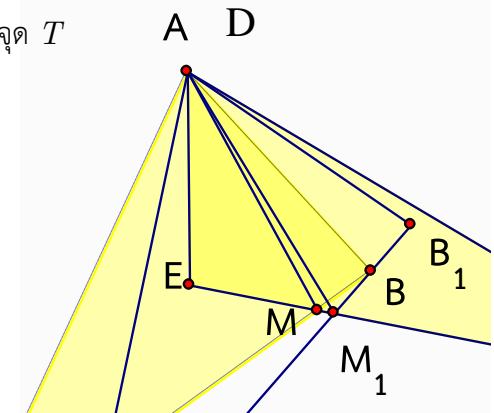
ต่อไปจะแสดงว่าพื้นที่ช้อนทับของรูปสามเหลี่ยมสองรูปจะเพิ่มขึ้นภายหลังจากการ  
แปลงตามขั้นตอนข้างต้น

พิจารณา  $\Delta ABC$  และ  $\Delta AB_1C_1$  เมื่อ  $\Delta AB_1C_1$  คือ  $\Delta ABC$  ที่ได้ผ่านการหมุน  
ตามวิธีการข้างต้น



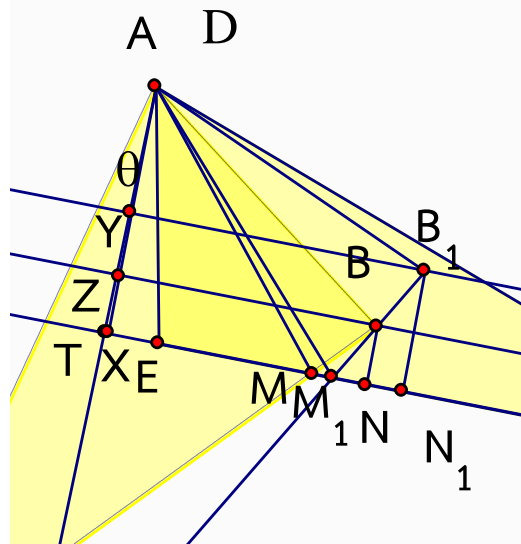
ภาพที่ 4-1.4.2.2 รูปประกอบการพิสูจน์กรณีที่ 1 กรณีย่อยที่ 1.4 (1.4.2 รูปที่2)

กำหนดให้  $\overline{BC}$  และ  $\overline{B_1C_1}$  ตัดกับ  $\overline{EF}$  ที่จุด  $M$  และ  $M_1$  ตามลำดับ ต่อ  $\overline{EF}$   
ไปพบ  $\overline{AC_1}$  ที่จุด  $T$



ภาพที่ 4-1.4.2.3 รูปประกอบการพิสูจน์กรณีที่ 1 กรณีย่อยที่ 1.4 (1.4.2 รูปที่3)

จากจุด  $A, B$  และ  $B_1$  สร้างเส้นตรงไปตั้งฉากกับ  $\overline{EF}$  ที่จุด  $X, N$  และ  $N_1$   
ตามลำดับ



ภาพที่ 4-1.4.2.4 รูปประกอบการพิสูจน์กรณีที่ 1 กรณีย่อยที่ 1.4 (1.4.2 รูปที่4)

สร้างเส้นนาน  $\overline{EF}$  สองเส้น เส้นหนึ่งผ่านจุด  $B$  ตัด  $\overline{AX}$  ที่จุด  $Z$  อีกเส้นหนึ่ง  
ผ่านจุด  $B_1$  ตัด  $\overline{AX}$  ที่จุด  $Y$

พิจารณา  $\Delta ABZ$  และ  $\Delta AB_1Y$

สมมติให้รูป  $\Delta ABC$  ถูกหมุนทวนเข็มนาฬิกาเป็นมุม  $\theta$  จะได้ว่า  $B\hat{A}B_1 = \theta$

$$B_1\hat{A}Y = B\hat{A}Z + \theta$$

$$XN = ZB = AB \times \sin B\hat{A}Z$$

$$XN_1 = YB_1 = AB_1 \times \sin B_1\hat{A}Y$$

เนื่องจาก  $AB_1 = AB$  และ  $B_1\hat{A}Y > B\hat{A}Z$

จะได้ว่า  $AB_1 \times \sin B_1\hat{A}Y > AB \times \sin B\hat{A}Z$  นั่นคือ  $XN_1 > XN$

เนื่องจาก  $BN < B_1N_1$  และ  $B$  อยู่ทางด้านซ้ายมือของส่วนของเส้นตรง  $\overline{B_1N_1}$

$\overline{B_1C_1}$  คือ ส่วนของเส้นตรงที่ถูกหมุนจาก  $\overline{BC}$  จะได้ว่า  $B\hat{M}N = B_1\hat{M}_1N_1 - \theta$

เนื่องจาก  $XM < XM_1; TM < TM_1$  พิจารณา

$$\begin{aligned} [\Delta ATM] &= \frac{1}{2} \times AX \times TM < \frac{1}{2} \times AX \times TM_1 = [\Delta ATM_1]. \\ \therefore [\Delta ATM] &< [\Delta ATM_1]. \end{aligned}$$

และพิจารณา  $[\Delta ABM] = \frac{1}{2} \times AB \times BM \times \sin A\hat{B}M$

$$[\Delta ABM] < \frac{1}{2} \times AB_1 \times B_1M_1 \times \sin AB_1M_1 = [\Delta AB_1M_1]$$

$$\therefore [\Delta ABM] < [\Delta AB_1M_1]$$

ดังนั้น

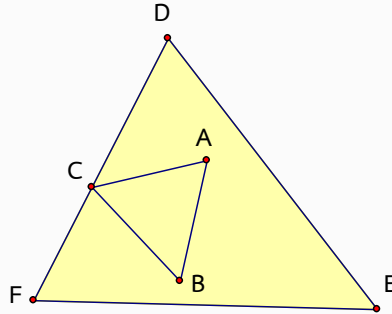
$$\begin{aligned} [ATMB] &= [\Delta ATM] + [\Delta ABM] \\ &< [\Delta ATM_1] + [\Delta AB_1M_1] = [ATM_1B_1] \end{aligned}$$

จึงได้ว่า พื้นที่ช้อนทับของรูปสามเหลี่ยมสองรูปหลังจากการแปลงมีค่าเพิ่มขึ้น หรือ  
อาจกล่าวได้ว่า สามารถหาวิธีการในการแปลงรูปสามเหลี่ยมเพื่อเพิ่มพื้นที่ช้อนทับ  
ในกรณีนี้ได้

จึงสรุปได้เช่นกันว่า พื้นที่ช้อนทับที่มากที่สุดของรูปสามเหลี่ยมสองรูปจะไม่เกิดขึ้น  
ในกรณีดังกล่าว

กรณีที่ 2  $deg_T = 2.5$  จะสามารถแบ่งกรณีดังกล่าวออกเป็น 3 กรณีอย่าง ได้ดังนี้

กรณีอย่างที่ 2.1  $deg(\Delta ABC) = 2.5$  และ  $deg(\Delta DEF) = 0$  ในกรณีดังกล่าว สามเหลี่ยม  $ABC$  ถูกสามเหลี่ยม  $DEF$  ซ้อนทับอย่างสมบูรณ์

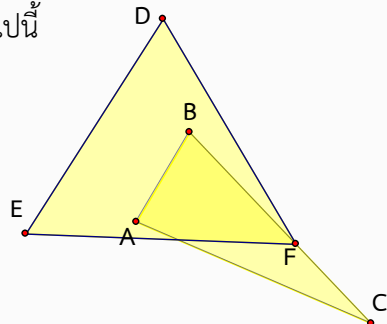


ภาพที่ 4-2.1 รูปประกอบการพิสูจน์กรณีที่ 2 กรณีอย่างที่ 2.1

ทำให้ได้ว่า พื้นที่ซ้อนทับของรูปสามเหลี่ยมสองรูปคือพื้นที่ของรูปสามเหลี่ยม  $ABC$  ซึ่งเป็นพื้นที่ซ้อนทับที่มากที่สุดที่เป็นไปได้แล้ว ดังนั้น จะไม่พิจารณากรณีนี้

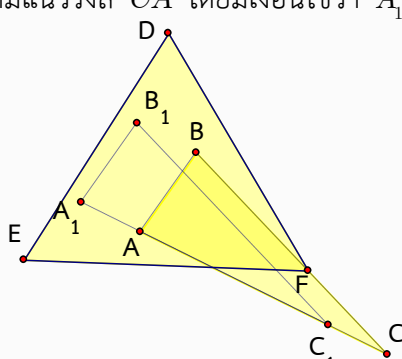
กรณีอย่างที่ 2.2  $deg(\Delta ABC) = 2$  และ  $deg(\Delta DEF) = 0.5$  จะได้ว่าการจัดเรียงของรูปสามเหลี่ยมในกรณีสามารถเกิดขึ้นได้ 3 รูปแบบ

2.2.1 ในกรณีนี้ จะพิสูจน์ได้ว่า สามารถเลื่อนขนาดหรือหมุนรูปสามเหลี่ยมเพื่อเพิ่มพื้นที่ซ้อนทับโดยใช้ขั้นตอนวิธีการดังต่อไปนี้



ภาพที่ 4-2.2.1.1 รูปประกอบการพิสูจน์กรณีที่ 2 กรณีอย่างที่ 2.2 (2.2.1 รูปที่1)

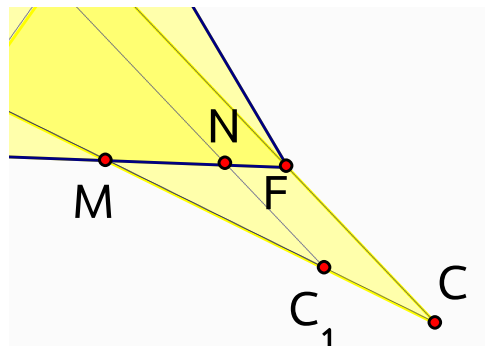
- 1) เลื่อนขนาด  $\Delta ABC$  ไปตามแนวรังสี  $\overrightarrow{CA}$  โดยมีเงื่อนไขว่า  $A_1$  และ  $B_1$  ต้องไม่อยู่ภายนอก  $\Delta DEF$



ภาพที่ 4-2.2.1.2 รูปประกอบการพิสูจน์กรณีที่ 2 กรณีอย่างที่ 2.2 (2.2.1 รูปที่2)

ต่อไปจะแสดงว่าพื้นที่ช้อนทับของรูปสามเหลี่ยมสองรูปจะเพิ่มขึ้นภายหลังจากการแปลงตามขั้นตอนข้างต้น

พิจารณา  $\Delta ABC$  และ  $\Delta A_1B_1C_1$  เมื่อ  $\Delta A_1B_1C_1$  คือ  $\Delta ABC$  ที่ได้ผ่านการเลื่อนขานตามวิธีการข้างต้น



ภาพที่ 4-2.2.1.3 รูปประกอบการพิสูจน์กรณีที่ 2 กรณีอยู่ที่ 2.2 (2.2.1 รูปที่ 3)

กำหนดให้  $\overline{AC}$  ตัดกับ  $\overline{EF}$  ที่จุด  $M$  และ  $\overline{B_1C_1}$  ตัดกับ  $\overline{EF}$  ที่จุด  $N$

เนื่องจาก  $\overline{NC_1}$  นานกับ  $\overline{FC}$  และมุม  $C_1\hat{M}N$  เป็นมุมร่วมกันของรูปสามเหลี่ยมสองรูป ทำให้ได้ว่า  $\Delta C_1MN$  คล้ายกับ  $\Delta MFC$

ดังนั้น อัตราส่วนของพื้นที่รูป  $\Delta C_1MN$  ต่อรูป  $\Delta CMF$  เท่ากับ  $\frac{NC_1^2}{FC^2}$

และเนื่องจาก  $\Delta ABC$  ถูกเลื่อนขานไปตามแนวรังสี  $\overrightarrow{CA}$  เกิดเป็น  $\Delta A_1B_1C_1$  ดังนั้น  $MC_1$  ต้องสั้นกว่า  $MC$  จะได้ว่า

$$MC_1 < MC$$

$$\frac{MC_1^2}{MC^2} < 1$$

$$[\Delta C_1MN] = \frac{NC_1^2}{FC^2} \times [\Delta MFC] < 1 \times [\Delta MFC]$$

$$[\Delta C_1MN] < [\Delta MFC]$$

ดังนั้น

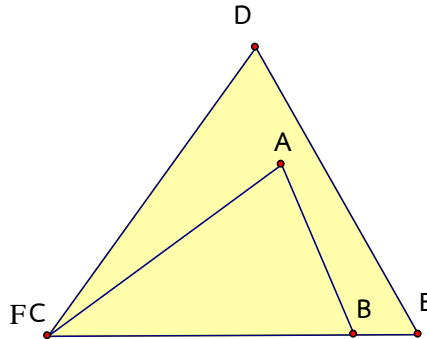
$$[A_1B_1MN] = [A_1B_1C_1] - [C_1MN] > [ABC] - [MFC] = [ABFM]$$

$$[A_1B_1MN] > [ABFM]$$

จึงได้ว่า พื้นที่ช้อนทับของรูปสามเหลี่ยมสองรูปหลังจากการแปลงมีค่าเพิ่มขึ้น หรือ  
อาจกล่าวได้ว่า สามารถหาวิธีการในการแปลงรูปสามเหลี่ยมเพื่อเพิ่มพื้นที่ช้อนทับใน  
กรณีนี้ได้

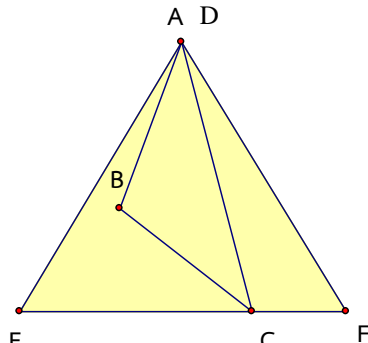
จึงสรุปได้ว่า พื้นที่ช้อนทับที่มากที่สุดของรูปสามเหลี่ยมสองรูปจะไม่เกิดขึ้นในกรณี  
ดังกล่าว

2.2.2 ในกรณีดังกล่าว สามเหลี่ยม  $ABC$  ถูกสามเหลี่ยม  $DEF$  ช้อนทับอย่างสมบูรณ์  
ทำให้ได้ว่า พื้นที่ช้อนทับของรูปสามเหลี่ยมสองรูปคือพื้นที่ของรูปสามเหลี่ยม  
 $ABC$  ซึ่งเป็นพื้นที่ช้อนทับที่มากที่สุดที่เป็นไปได้แล้ว ดังนั้น จะไม่พิจารณากรณีนี้



ภาพที่ 4-2.2.2 รูปประกอบการพิสูจน์กรณีที่ 2 กรณีย่อที่ 2.2 (2.2.2)

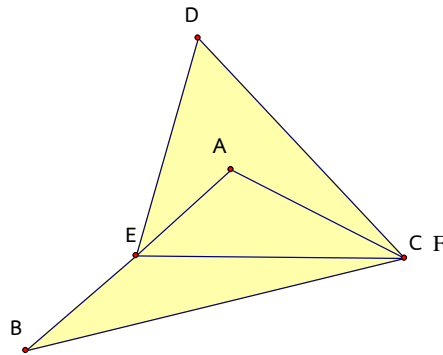
2.2.3 เช่นเดียวกันกับกรณีย่อที่ 2.2.2 พื้นที่ช้อนทับของรูปสามเหลี่ยมสองรูปนั้นมีค่ามาก  
ที่สุดที่เป็นไปได้แล้ว ดังนั้น จะไม่พิจารณาในกรณีนี้เช่นกัน



ภาพที่ 4-2.2.3 รูปประกอบการพิสูจน์กรณีที่ 2 กรณีย่อที่ 2.2 (2.2.3)

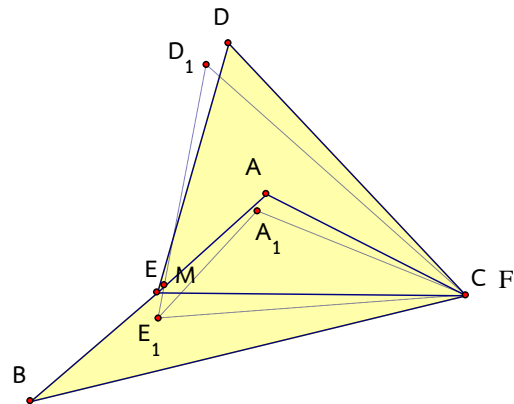
กรณีย่อที่ 2.3  $\deg(\Delta ABC) = 1.5$  และ  $\deg(\Delta DEF) = 1$  จะได้ว่าการจัดเรียงของรูปสามเหลี่ยม  
ในกรณีสามารถเกิดขึ้นได้ 4 รูปแบบ

2.3.1 ในกรณีนี้ จะพิสูจน์ได้ว่า สามารถเลื่อนขนาดหรือหมุนรูปสามเหลี่ยมเพื่อเพิ่มพื้นที่  
ช้อนทับโดยใช้ขั้นตอนวิธีการดังต่อไปนี้



ภาพที่ 4-2.3.1.1 รูปประกอบการพิสูจน์กรณีที่ 2 กรณีย่อยที่ 2.3 (2.3.1 รูปที่1)

- 1) ใช้  $C$  เป็นจุดหมุน หมุนรูป  $\Delta DEF$  ไปทางทิศทวนเข็มนาฬิกาโดยมีเงื่อนไขว่า  $E_1$  ต้องไม่อยู่ภายนอก  $\Delta ABC$  ต่อไปจะแสดงว่าพื้นที่ช่องทับของรูปสามเหลี่ยมสองรูปจะเพิ่มขึ้นภายหลังจากการแปลงตามขั้นตอนข้างต้น



ภาพที่ 4-2.3.1.2 รูปประกอบการพิสูจน์กรณีที่ 2 กรณีย่อยที่ 2.3 (2.3.1 รูปที่2)

พิจารณา  $\Delta DEF$  และ  $\Delta D_1E_1F$  เมื่อ  $\Delta D_1E_1F$  คือ  $\Delta DEF$  ที่ได้ผ่านการหมุนตามวิธีการข้างต้น

กำหนดให้  $\overline{D_1E_1}$  ตัดกับ  $\overline{EF}$  ที่จุด  $M$

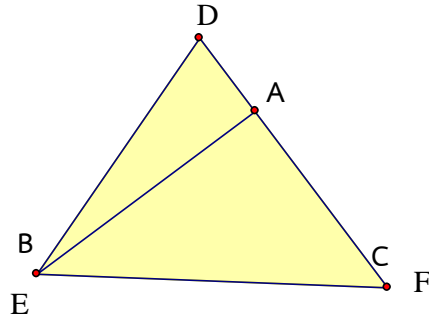
$$\text{ดังนั้น } [AME_1C] = [A_1E_1C] + [CAME_1A_1] > [A_1E_1C] = [AEC]$$

$$[AME_1C] > [AEC]$$

จึงได้ว่า พื้นที่ช่องทับของรูปสามเหลี่ยมสองรูปหลังจากการแปลงมีค่าเพิ่มขึ้น หรือ  
อาจกล่าวได้ว่า สามารถหาวิธีการในการแปลงรูปสามเหลี่ยมเพื่อเพิ่มพื้นที่ช่องทับใน  
กรณีนี้ได้

จึงสรุปได้ว่า พื้นที่ซ้อนทับที่มากที่สุดของรูปสามเหลี่ยมสองรูปจะไม่เกิดขึ้นในกรณีดังกล่าว

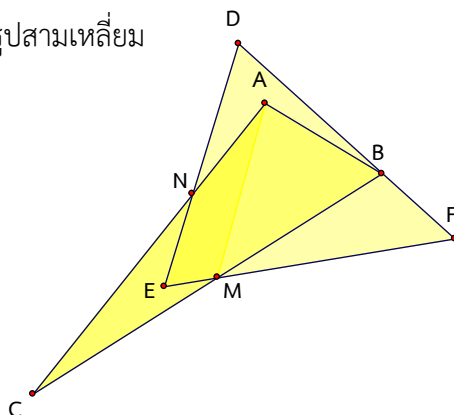
2.3.2 ในกรณีดังกล่าว สามเหลี่ยม  $ABC$  ถูกสามเหลี่ยม  $DEF$  ซ้อนทับอย่างสมบูรณ์



ภาพที่ 4-2.3.2 รูปประกอบการพิสูจน์กรณีที่ 2 กรณีย่อที่ 2.3 (2.3.2)

ทำให้ได้ว่า พื้นที่ซ้อนทับของรูปสามเหลี่ยมสองรูปคือพื้นที่ของรูปสามเหลี่ยม  $ABC$  ซึ่งเป็นพื้นที่ซ้อนทับที่มากที่สุดที่เป็นไปได้แล้ว ดังนั้น จะไม่พิจารณากรณีนี้

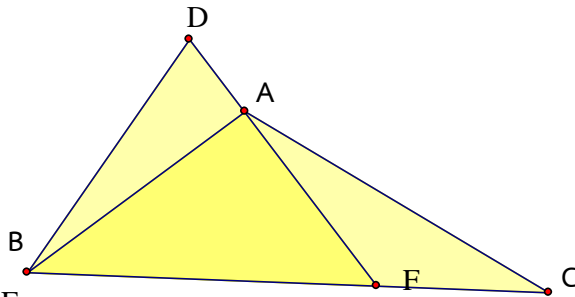
2.3.3 ในกรณีดังกล่าว�ังไม่สามารถหาวิธีการในการเลื่อนนานาหรือหมุนรูปสามเหลี่ยมเพื่อเพิ่มพื้นที่ซ้อนทับของรูปสามเหลี่ยม



ภาพที่ 4-2.3.3 รูปประกอบการพิสูจน์กรณีที่ 2 กรณีย่อที่ 2.3 (2.3.3)

ดังนั้น จึงมีความเป็นไปได้ว่า รูปสามเหลี่ยมสองรูปที่มีการจัดวางในลักษณะดังกล่าว จะมีพื้นที่ซ้อนทับที่มากที่สุด

2.3.4 ในกรณีดังกล่าวยังไม่สามารถหาวิธีการในการเลื่อนนานาหรือหมุนรูปสามเหลี่ยมเพื่อเพิ่มพื้นที่ซ้อนทับของรูปสามเหลี่ยม



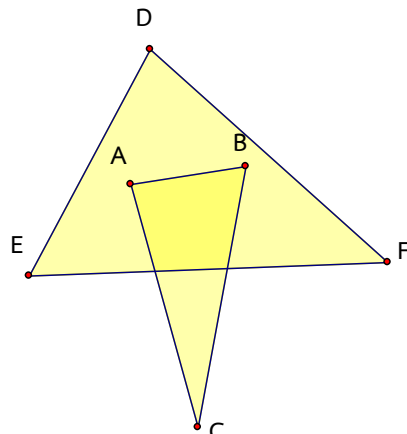
ภาพที่ 4-2.3.4 รูปประกอบการพิสูจน์กรณีที่ 2 กรณีอยู่ที่ 2.3 (2.3.4)

ดังนั้น จึงมีความเป็นไปได้ว่า รูปสามเหลี่ยมสองรูปที่มีการจัดวางในลักษณะดังกล่าว จะมีพื้นที่ซ้อนทับที่มากที่สุด

กรณีที่ 3  $\deg_T = 2$  จะสามารถแบ่งกรณีดังกล่าวออกเป็น 3 กรณีอย่างๆ ได้ดังนี้

กรณีอย่างที่ 3.1  $\deg(\Delta ABC) = 2$  และ  $\deg(\Delta DEF) = 0$  จะได้ว่าการจัดเรียงของรูปสามเหลี่ยมในกรณีนี้สามารถเกิดขึ้นได้ 2 รูปแบบ

3.1.1 ในกรณีนี้ จะพิสูจน์ได้ว่า สามารถเลื่อนฐานหรือหมุนรูปสามเหลี่ยมเพื่อเพิ่มพื้นที่ซ้อนทับโดยใช้ขั้นตอนวิธีการดังต่อไปนี้



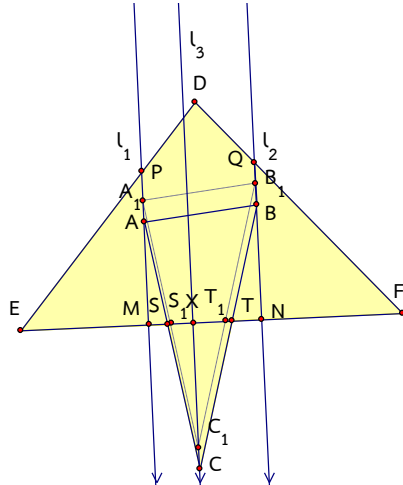
ภาพที่ 4-3.1.1.1 รูปประกอบการพิสูจน์กรณีที่ 3 กรณีอยู่ที่ 3.1 (3.1.1 รูปที่ 1)

- 1) สร้างเส้นตรง  $l_1$  และ  $l_2$  ผ่านจุด  $A$  และ  $B$  ตามลำดับ โดยที่เส้นตรงทั้งสองเส้นนั้นตั้งฉากกับ  $\overline{EF}$
- 2) กำหนดให้  $l_1$  ตัดกับ  $\overline{EF}$  ที่จุด  $M$  และตัดกับ  $\overline{DE}$  ที่จุด  $P$  และกำหนดให้  $l_2$  ตัดกับ  $\overline{EF}$  ที่จุด  $N$  และตัดกับ  $\overline{DF}$  ที่จุด  $Q$
- 3) เลื่อนฐานรูป  $\Delta ABC$  ตามแนวรังสี  $\overrightarrow{BQ}$  โดยมีเงื่อนไขว่า  $A_1$  และ  $B_1$  ต้องไม่อยู่ภายนอก  $\Delta DEF$

ต่อไปจะแสดงว่าพื้นที่ซ้อนทับของรูปสามเหลี่ยมสองรูปจะเพิ่มขึ้นภายหลังจากการแปลงตามขั้นตอนข้างต้น

พิจารณา  $\Delta ABC$  และ  $\Delta A_1B_1C_1$  เมื่อ  $\Delta A_1B_1C_1$  คือ  $\Delta ABC$  ที่ได้ผ่านการเลื่อนขานตามวิธีการข้างต้น

กำหนดให้  $AC, BC, A_1C_1, B_1C_1$  ตัดกับ  $\overline{EF}$  ที่จุด  $S, T, S_1, T_1$  ตามลำดับ



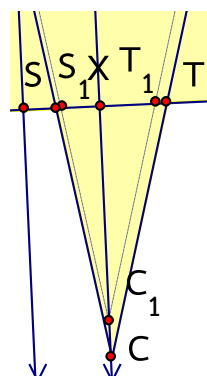
ภาพที่ 4-3.1.1.2 รูปประกอบการพิสูจน์กรณีที่ 3 กรณีย่อที่ 3.1 (3.1.1 รูปที่2)

สร้างเส้นตรง  $l_3$  ผ่านส่วนของเส้นตรง  $\overline{CC_1}$

เนื่องจาก  $\overline{S_1C_1}$  นานกับ  $\overline{SC}$  และมุม  $C\hat{X}S$  เป็นมุมร่วมกันของรูปสามเหลี่ยมสองรูป ทำให้ได้ว่า  $\Delta C_1XS_1$  คล้ายกับ  $\Delta CXS$

ดังนั้น อัตราส่วนของพื้นที่รูป  $\Delta C_1XS_1$  ต่อรูป  $\Delta CXS$  เท่ากับ  $\frac{XC_1^2}{XC^2}$  และเนื่องจาก  $\Delta ABC$  ถูกเลื่อนขานไปตามแนวรังสี  $\overline{BQ}$  จะได้ว่า  $\overline{XC_1}$  ต้องสั้นกว่า  $XC$

$$XC_1 < XC$$



ภาพที่ 4-3.1.1.3 รูปประกอบการพิสูจน์กรณีที่ 3 กรณีย่อที่ 3.1 (3.1.1 รูปที่3)

$$\frac{XC_1^2}{XC^2} < 1$$

$$\begin{aligned} [\Delta C_1XS_1] &= \frac{XC_1^2}{XC^2} \times [\Delta CXS] < 1 \times [\Delta CXS] \\ [\Delta C_1XS_1] &< [\Delta CXS] \end{aligned}$$

ในทำนองเดียวกัน  $[\Delta C_1XT_1] < [\Delta CXT]$

นั่นคือ  $[\Delta C_1XS_1] + [\Delta C_1XT_1] < [\Delta CXS] + [\Delta CXT]$

$$[\Delta S_1C_1T_1] < [\Delta SCT]$$

$$\text{ดังนั้น } [A_1B_1T_1S_1] = [A_1B_1C_1] - [S_1C_1T_1]$$

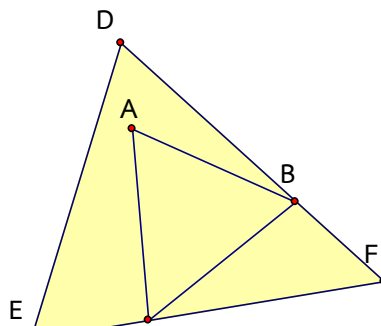
$$> [ABC] - [SCT] = [ABTS]$$

$$[A_1B_1T_1S_1] > [ABTS]$$

จึงได้ว่า พื้นที่ช้อนทับของรูปสามเหลี่ยมสองรูปหลังจากการแปลงมีค่าเพิ่มขึ้น หรือ  
อาจกล่าวได้ว่า สามารถหาวิธีการในการแปลงรูปสามเหลี่ยมเพื่อเพิ่มพื้นที่ช้อนทับใน  
กรณีนี้ได้

จึงสรุปได้ว่า พื้นที่ช้อนทับที่มากที่สุดของรูปสามเหลี่ยมสองรูปจะไม่เกิดขึ้นในกรณี  
ดังกล่าว

3.1.2 ในกรณีดังกล่าว สามเหลี่ยม  $ABC$  ถูกสามเหลี่ยม  $DEF$  ช้อนทับอย่างสมบูรณ์



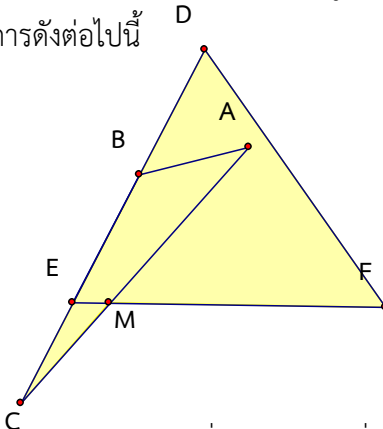
ภาพที่ 4-3.1.2 รูปประกอบการพิสูจน์กรณีที่ 3 กรณีย่อยที่ 3.1 (3.1.2)

ทำให้ได้ว่า พื้นที่ช้อนทับของรูปสามเหลี่ยมสองรูปคือพื้นที่ของรูปสามเหลี่ยม  $ABC$

ซึ่งเป็นพื้นที่ช้อนทับที่มากที่สุดที่เป็นไปได้แล้ว ดังนั้น จะไม่พิจารณาในกรณีนี้

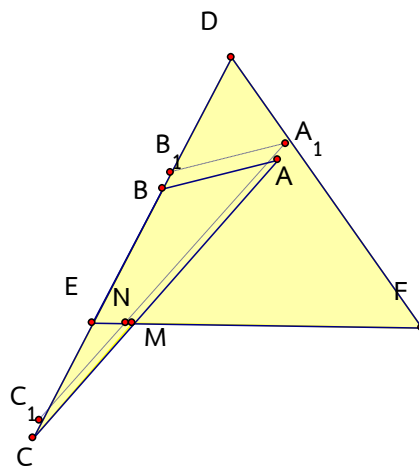
กรณีที่ 3.2  $\deg(\Delta ABC) = 1.5$  และ  $\deg(\Delta DEF) = 0.5$  จะได้ว่าการจัดเรียงของรูปสามเหลี่ยมในกรณีสามารถเกิดขึ้นได้ 5 รูปแบบ

3.2.1 ในกรณี จะพิสูจน์ได้ว่า สามารถเลื่อนขนาดหรือหมุนรูปสามเหลี่ยมเพื่อเพิ่มพื้นที่ช้อนทับโดยใช้ขั้นตอนวิธีการดังต่อไปนี้



ภาพที่ 4-3.2.1.1 รูปประกอบการพิสูจน์กรณีที่ 3 กรณีที่ 3.2 (3.2.1 รูปที่ 1)

- 1) เลื่อนขนาด  $\Delta ABC$  ไปตามแนวรั้งสี่  $\overrightarrow{CB}$  โดยมีเงื่อนไขว่า  $A_1$  และ  $B_1$  จะต้องไม่อยู่ภายนอก  $\Delta DEF$



ภาพที่ 4-3.2.1.2 รูปประกอบการพิสูจน์กรณีที่ 3 กรณีที่ 3.2 (3.2.1 รูปที่ 2)

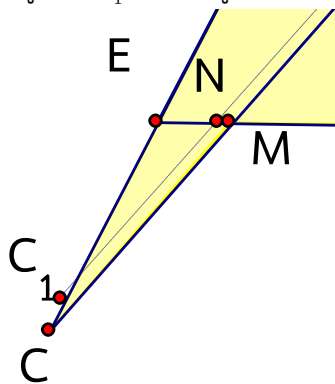
ต่อไปจะแสดงว่าพื้นที่ช้อนทับของรูปสามเหลี่ยมสองรูปจะเพิ่มขึ้นภายหลังจากการแปลงตามขั้นตอนข้างต้น

พิจารณา  $\Delta ABC$  และ  $\Delta A_1B_1C_1$  เมื่อ  $\Delta A_1B_1C_1$  คือ  $\Delta ABC$  ที่ได้ผ่านการเลื่อนขนาดตามวิธีการข้างต้น

กำหนดให้  $\overline{AC}$  และ  $\overline{A_1C_1}$  ตัดกับ  $\overline{EF}$  ที่จุด  $M$  และ  $N$  ตามลำดับ

เนื่องจาก  $\overline{NC_1}$  นานกับ  $\overline{MC}$  และมุม  $C_1\hat{E}N$  เป็นมุมร่วมกันของรูปสามเหลี่ยมสองรูป ทำให้ได้ว่า  $\Delta C_1EN$  คล้ายกับ  $\Delta CEM$

ดังนั้น อัตราส่วนพื้นที่ของรูป  $\Delta C_1EN$  ต่อรูป  $\Delta CEM$  เท่ากับ  $\frac{EC_1^2}{EC^2}$



ภาพที่ 4-3.2.1.3 รูปประกอบการพิสูจน์กรณีที่ 3 กรณีย่อยที่ 3.2 (3.2.1 รูปที่ 3)

และเนื่องจาก  $\triangle ABC$  ถูกเลื่อนนานไปตามแนวรังสี  $\overrightarrow{CB}$  จะได้ว่า  $\overline{EC_1}$  ต้องสั้นกว่า  $\overline{EC}$

$$\frac{EC_1^2}{EC^2} < 1$$

$$\begin{aligned} [\Delta C_1NE] &= \frac{EC_1^2}{EC^2} \times [\Delta CEM] < 1 \times [\Delta CEM] \\ [\Delta C_1NE] &< [\Delta CEM] \end{aligned}$$

ดังนั้น

$$[A_1B_1EN] = [A_1B_1C_1] - [C_1NE] > [ABC] - [CEM] = [ABEM]$$

$$[A_1B_1EN] > [ABEM]$$

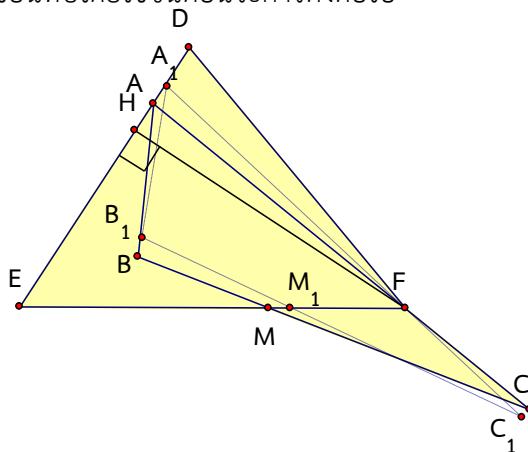
จึงได้ว่า พื้นที่ช้อนทับของรูปสามเหลี่ยมสองรูปหลังจากการแปลงมีค่าเพิ่มขึ้น หรือ  
จากกล่าวได้ว่า สามารถหาวิธีการในการแปลงรูปสามเหลี่ยมเพื่อเพิ่มพื้นที่ช้อนทับใน  
กรณีนี้ได้

จึงสรุปได้ว่า พื้นที่ช้อนทับที่มากที่สุดของรูปสามเหลี่ยมสองรูปจะไม่เกิดขึ้นในกรณี  
ดังกล่าว

### 3.2.2 จะพิจารณาเป็น 2 รูปแบบย่อยๆ ดังนี้

3.2.2.1  $\overline{AF}$  อยู่ด้านเดียวกันกับ  $D$  เมื่อเทียบกับเส้นความสูงที่ลากจากจุด  $F$  ของรูป  $\Delta DEF$

ในรูปแบบนี้ จะพิสูจน์ได้ว่า สามารถเลื่อนฐานหรือหมุนรูปสามเหลี่ยมเพื่อเพิ่มพื้นที่ซ้อนทับโดยใช้ขั้นตอนวิธีการดังต่อไปนี้

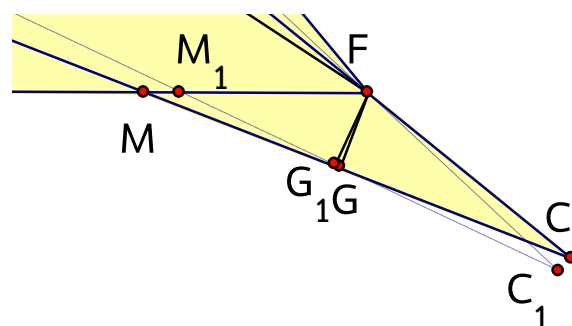


ภาพที่ 4-3.2.2.1.1 รูปประกอบการพิสูจน์กรณีที่ 3 กรณีย่อยที่ 3.2 (3.2.2.1 รูปที่1)

1) ใช้  $F$  เป็นจุดหมุน หมุนรูป  $\Delta ABC$  ไปทางทิศตามเข็มนาฬิกา โดยมีเงื่อนไขว่า  $A_1$  และ  $B_1$  ต้องมีอยู่ภายนอก  $\Delta DEF$

ต่อไปจะแสดงว่าพื้นที่ซ้อนทับของรูปสามเหลี่ยมสองรูปจะเพิ่มขึ้นภายหลังจากการแปลงตามขั้นตอนข้างต้น

พิจารณา  $\Delta ABC$  และ  $\Delta A_1B_1C_1$  เมื่อ  $\Delta A_1B_1C_1$  คือ  $\Delta ABC$  ที่ได้ผ่านการหมุนตามวิธีการข้างต้น



ภาพที่ 4-3.2.2.1.2 รูปประกอบการพิสูจน์กรณีที่ 3 กรณีย่อยที่ 3.2 (3.2.2.1 รูปที่2)

กำหนดให้  $\overline{BC}$  และ  $\overline{B_1C_1}$  ตัดกับ  $\overline{EF}$  ที่จุด  $M$  และ  $M_1$  ตามลำดับ

จากจุด  $F$  ลากเส้นตั้งจาก  $\overline{MC}$  และ  $\overline{M_1C_1}$  ที่จุด  $G$  และ  $G_1$   
ตามลำดับ

$$\text{พิจารณา } C_1\hat{F}M_1 < C\hat{F}M$$

$$180^\circ - FC_1M - C_1\hat{F}M_1 > 180^\circ - F\hat{C}M - C\hat{F}M$$

$$FM_1G_1 > F\hat{M}G$$

$$FG_1 \times \cot(FM_1G_1) < FG \times \cot(F\hat{M}G)$$

$$M_1G_1 < MG$$

$$B_1C_1 - C_1G_1 - M_1G_1 > BC - CG - MG$$

$$B_1M_1 > BM$$

พิจารณา  $\Delta BMF$  และ  $\Delta B_1M_1F$  จะได้ว่า  $FB_1M_1 = F\hat{B}M$  และ  
 $BF = B_1F$

$$\text{นั่นคือ } \frac{1}{2} \times \sin(FB_1M_1) \times B_1F \times B_1M_1$$

$$> \frac{1}{2} \times \sin F\hat{B}M \times BF \times BM$$

$$[M_1B_1F] > [MBF]$$

$$\text{และเนื่องจาก } [ABF] = [A_1B_1F]$$

$$\text{ดังนั้น } [M_1B_1F] + [A_1B_1F] > [MBF] + [ABF]$$

$$[A_1B_1M_1F] > [ABMF]$$

จึงได้ว่า พื้นที่ช้อนทับของรูปสามเหลี่ยมสองรูปหลังจากการแปลงมีค่าเพิ่มขึ้น หรืออาจกล่าวได้ว่า สามารถหาวิธีการในการแปลงรูปสามเหลี่ยมเพื่อเพิ่มพื้นที่ช้อนทับในกรณีนี้ได้

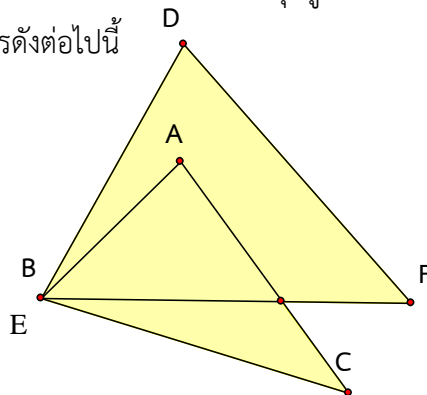
จึงสรุปได้ว่า พื้นที่ช้อนทับที่มากที่สุดของรูปสามเหลี่ยมสองรูปจะไม่เกิดขึ้นในกรณีดังกล่าว

3.2.2.2  $\overline{AF}$  อุญจ้านเดียวกันกับ  $E$  เมื่อเทียบกับเส้นความสูงที่ลากจากจุด  $F$  ของรูป  $\Delta DEF$

ในกรณีดังกล่าวจะไม่สามารถหาวิธีการในการเลื่อนขนาดหรือหมุนรูปสามเหลี่ยมเพื่อเพิ่มพื้นที่ช้อนทับของรูปสามเหลี่ยม

ดังนั้น จึงมีความเป็นไปได้ว่า รูปสามเหลี่ยมสองรูปที่มีการจัดวางในลักษณะดังกล่าวจะมีพื้นที่ช้อนทับที่มากที่สุด

3.2.3 ในกรณีนี้ จะพิสูจน์ได้ว่า สามารถเลื่อนขนาดหรือหมุนรูปสามเหลี่ยมเพื่อเพิ่มพื้นที่ช้อนทับโดยใช้ขั้นตอนวิธีการดังต่อไปนี้

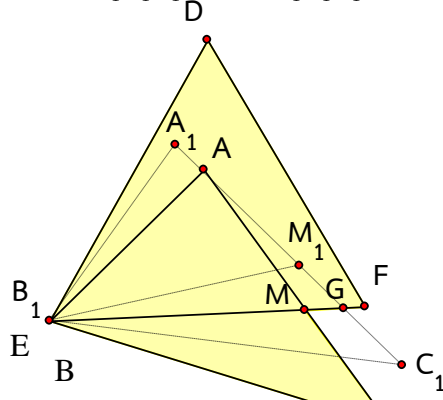


ภาพที่ 4-3.2.3.1 รูปประกอบการพิสูจน์กรณีที่ 3 กรณีย่อยที่ 3.2 (3.2.3 รูปที่1)

- 1) ใช้  $B$  เป็นจุดหมุน หมุนรูป  $\Delta ABC$  ไปทางทิศทางเข็มนาฬิกาโดยมีเงื่อนไขว่า  $A$  ต้องไม่อยู่ภายนอก  $\Delta DEF$

ต่อไปจะแสดงว่าพื้นที่ช้อนทับของรูปสามเหลี่ยมสองรูปจะเพิ่มขึ้นภายหลังจากการแปลงตามขั้นตอนข้างต้น

พิจารณา  $\Delta ABC$  และ  $\Delta A_1B_1C_1$  เมื่อ  $\Delta A_1B_1C_1$  คือ  $\Delta ABC$  ที่ได้ผ่านการหมุนตามวิธีการข้างต้น



ภาพที่ 4-3.2.3.2 รูปประกอบการพิสูจน์กรณีที่ 3 กรณีย่อยที่ 3.2 (3.2.3 รูปที่2)

กำหนดให้  $\overline{EF}$  ตัดกับ  $\overline{AC}$  และ  $\overline{A_1C_1}$  ที่จุด  $M$  และ  $G$  ตามลำดับ และกำหนดให้  $M_1$  คือจุด  $M$  ในรูป  $\Delta ABC$  ถูกหมุน

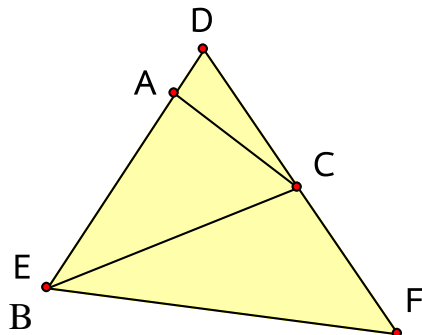
พิจารณา  $\Delta ABM$  และ  $\Delta A_1B_1G$  จะได้ว่า

$$[A_1B_1G] = [A_1B_1M_1] + [M_1B_1G] = [ABM] + [M_1B_1G] > [ABM]$$

จึงได้ว่า พื้นที่ช้อนทับของรูปสามเหลี่ยมสองรูปหลังจากการแปลงมีค่าเพิ่มขึ้น หรือ  
อาจกล่าวได้ว่า สามารถหาวิธีการในการแปลงรูปสามเหลี่ยมเพื่อเพิ่มพื้นที่ช้อนทับใน  
กรณีนี้ได้

จึงสรุปได้เช่นกันว่า พื้นที่ช้อนทับที่มากที่สุดของรูปสามเหลี่ยมสองรูปจะไม่เกิดขึ้นใน  
กรณีดังกล่าว

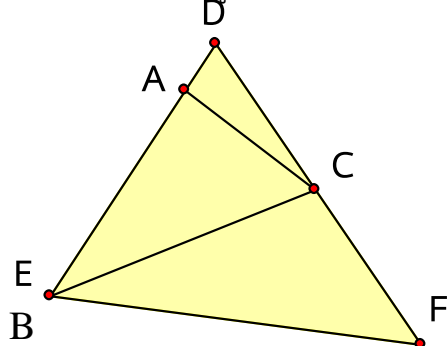
3.2.4 ในกรณีดังกล่าว สามเหลี่ยม  $ABC$  ถูกสามเหลี่ยม  $DEF$  ช้อนทับอย่างสมบูรณ์



ภาพที่ 4-3.2.4 รูปประกอบการพิสูจน์กรณีที่ 3 กรณีย่อยที่ 3.2 (3.2.4)

ทำให้ได้ว่า พื้นที่ช้อนทับของรูปสามเหลี่ยมสองรูปคือพื้นที่ของรูปสามเหลี่ยม  $ABC$  ซึ่ง  
เป็นพื้นที่ช้อนทับที่มากที่สุดที่เป็นไปได้แล้ว ดังนั้น จะไม่พิจารณาในกรณีนี้

3.2.5 ในกรณีดังกล่าว สามเหลี่ยม  $ABC$  ถูกสามเหลี่ยม  $DEF$  ช้อนทับอย่างสมบูรณ์

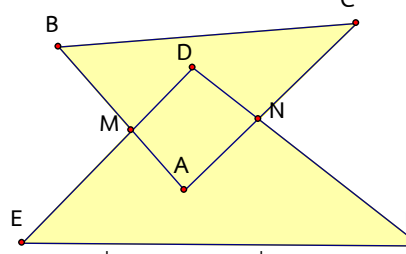


ภาพที่ 4-3.2.5 รูปประกอบการพิสูจน์กรณีที่ 3 กรณีย่อยที่ 3.2 (3.2.5)

ทำให้ได้ว่า พื้นที่ช้อนทับของรูปสามเหลี่ยมสองรูปคือพื้นที่ของรูปสามเหลี่ยม  $ABC$  ซึ่ง  
เป็นพื้นที่ช้อนทับที่มากที่สุดที่เป็นไปได้แล้ว ดังนั้น จะไม่พิจารณาในกรณีนี้

กรณีที่ 3.3  $\deg(\Delta ABC) = 1$  และ  $\deg(\Delta DEF) = 1$  จะได้ว่าการจัดเรียงของรูปสามเหลี่ยมในกรณีสามารถเกิดขึ้นได้ 4 รูปแบบ

3.3.1 ในกรณี จะพิสูจน์ได้ว่า สามารถเลื่อนขนาดหรือหมุนรูปสามเหลี่ยมเพื่อเพิ่มพื้นที่ช้อนทับโดยใช้ขั้นตอนวิธีการดังต่อไปนี้

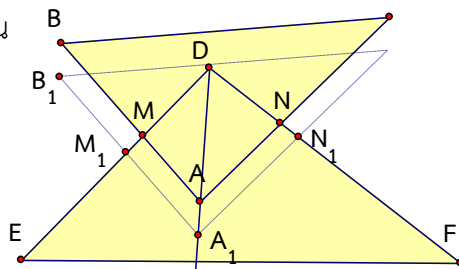


ภาพที่ 4-3.3.1.1 รูปประกอบการพิสูจน์กรณีที่ 3 กรณีที่ 3.3 (3.3.1 รูปที่ 1)

- 1) สร้างเส้นตรง  $l$  ผ่านจุด  $A$  และจุด  $D$
- 2) เลื่อนขนาดรูป  $\Delta ABC$  ไปตามแนวรังสี  $\overrightarrow{DA}$  โดยมีเงื่อนไขว่า  $A_1$  ต้องไม่อยู่ภายนอก  $\Delta DEF$

ต่อไปจะแสดงว่าพื้นที่ช้อนทับของรูปสามเหลี่ยมสองรูปจะเพิ่มขึ้นภายหลังจากการแปลงตามขั้นตอนข้างต้น

พิจารณา  $\Delta ABC$  และ  $\Delta A_1B_1C_1$  เมื่อ  $\Delta A_1B_1C_1$  คือ  $\Delta ABC$  ที่ได้ผ่านการเลื่อนขนาดตามวิธีการข้างต้น



ภาพที่ 4-3.3.1.2 รูปประกอบการพิสูจน์กรณีที่ 3 กรณีที่ 3.3 (3.3.1 รูปที่ 2)

กำหนดให้  $\overline{AB}$  และ  $\overline{A_1B_1}$  ตัดกับ  $\overline{ED}$  ที่จุด  $M$  และ  $M_1$  ตามลำดับ และให้  $\overline{AC}$  และ  $\overline{A_1C_1}$  ตัดกับ  $\overline{DF}$  ที่จุด  $N$  และ  $N_1$  ตามลำดับ

เนื่องจาก  $\overline{M_1A_1}$  นานกับ  $\overline{MA}$  และมุม  $M\hat{D}A$  เป็นมุมร่วมกันของรูปสามเหลี่ยมสองรูป ทำให้ได้ว่า  $\Delta MDA$  คล้ายกับ  $\Delta M_1DA_1$

ดังนั้น อัตราส่วนของพื้นที่รูป  $\Delta M_1DA_1$  ต่อรูป  $\Delta MDA$  เท่ากับ  $\frac{DA_1^2}{DA^2}$

เนื่องจากรูป  $\Delta ABC$  ถูกเลื่อนขนาดไปตามแนวรัศมี  $\overrightarrow{DA}$  จะได้ว่า  $\overline{DA_1}$  ต้องยาวกว่า  $\overline{DA}$

$$DA_1 > DA$$

$$\frac{DA_1^2}{DA^2} > 1$$

$$\begin{aligned} [M_1DA_1] &= \frac{DA_1^2}{DA^2} \times [MDA] > 1 \times [MDA] \\ [M_1DA_1] &> [MDA] \end{aligned}$$

$$\text{ในทำนองเดียวกัน } [N_1DA_1] > [NDA]$$

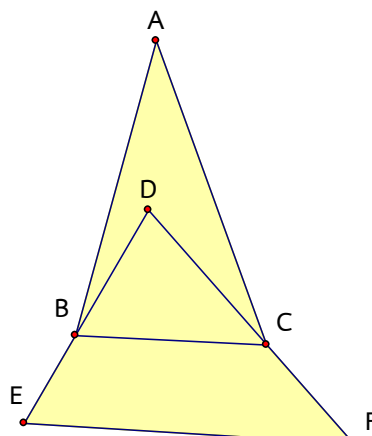
$$\text{ดังนั้น } [M_1DA_1] + [N_1DA_1] > [MDA] + [NDA]$$

$$[M_1DN_1A_1] > [MDNA]$$

จึงได้ว่า พื้นที่ช้อนทับของรูปสามเหลี่ยมสองรูปหลังจากการแปลงมีค่าเพิ่มขึ้น หรือ อาจกล่าวได้ว่า สามารถหาวิธีการในการแปลงรูปสามเหลี่ยมเพื่อเพิ่มพื้นที่ช้อนทับในกรณีนี้ได้

จึงสรุปได้ว่า พื้นที่ช้อนทับที่มากที่สุดของรูปสามเหลี่ยมสองรูปจะไม่เกิดขึ้นในกรณี ดังกล่าว

3.3.2 ในกรณีนี้ จะพิสูจน์ได้ว่า สามารถเลื่อนขนาดหรือหมุนรูปสามเหลี่ยมเพื่อเพิ่มพื้นที่ช้อนทับโดยใช้ขั้นตอนวิธีการดังต่อไปนี้

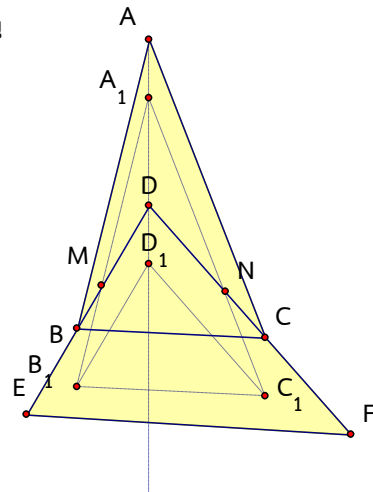


ภาพที่ 4-3.3.2.1 รูปประกอบการพิสูจน์กรณีที่ 3 กรณีย่อที่ 3.3 (3.3.2 รูปที่ 1)

- 1) สร้างเส้นตรง  $l$  ผ่านจุด  $A$  และจุด  $D$

- 2) เลื่อนขนาด  $\Delta ABC$  ไปตามแนวรังสี  $\overrightarrow{DA}$  โดยมีเงื่อนไขว่า  $B_1$  และ  $C_1$  ต้องไม่อยู่ภายนอก  $\Delta DEF$

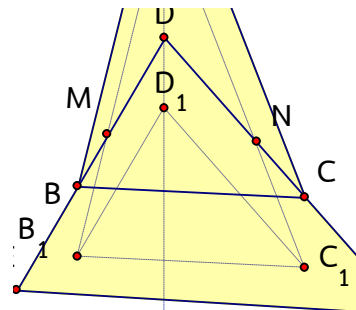
ต่อไปจะแสดงว่าพื้นที่ช้อนทับของรูปสามเหลี่ยมสองรูปจะเพิ่มขึ้นภายหลังจากการแบ่งตามขั้นตอนข้างต้น



ภาพที่ 4-3.3.2.2 รูปประกอบการพิสูจน์กรณีที่ 3 กรณีย่อที่ 3.3 (3.3.2 รูปที่2)

พิจารณา  $\Delta ABC$  และ  $\Delta A_1B_1C_1$  เมื่อ  $\Delta A_1B_1C_1$  คือ  $\Delta ABC$  ที่ได้ผ่านการเลื่อนขนาดตามวิธีการข้างต้น

กำหนดให้  $\overline{A_1B_1}$  ตัดกับ  $\overline{ED}$  ที่จุด  $M$  และ  $\overline{A_1C_1}$  ตัดกับ  $\overline{DF}$  ที่จุด  $N$  และกำหนดให้  $D_1$  คือจุด  $D$  ในรูป  $\Delta ABC$  ที่ถูกเลื่อนขนาด



ภาพที่ 4-3.3.2.3 รูปประกอบการพิสูจน์กรณีที่ 3 กรณีย่อที่ 3.3 (3.3.2 รูปที่3)

พิจารณา  $[\Delta D_1B_1C_1] = [\Delta DBC]$

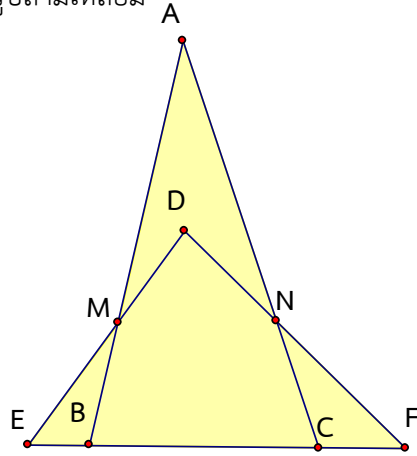
$$\text{ดังนั้น } [MDNC_1B_1] =$$

$$[\Delta D_1B_1C_1] + [B_1D_1C_1NDM] = [\Delta DBC] + [B_1D_1C_1NDM] > [DBC]$$

จึงได้ว่า พื้นที่ช่องทับของรูปสามเหลี่ยมสองรูปหลังจากการแปลงมีค่าเพิ่มขึ้น หรือ  
อาจกล่าวได้ว่า สามารถหาวิธีการในการแปลงรูปสามเหลี่ยมเพื่อเพิ่มพื้นที่ช่องทับใน  
กรณีนี้ได้

จึงสรุปได้ว่า พื้นที่ช่องทับที่มากที่สุดของรูปสามเหลี่ยมสองรูปจะไม่เกิดขึ้นในกรณี  
ดังกล่าว

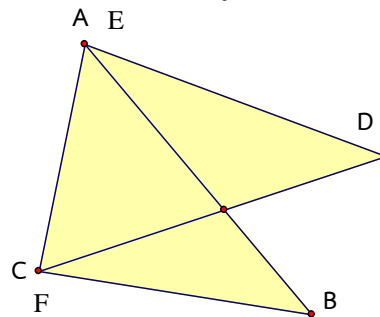
3.3.3 ในกรณีดังกล่าว�ังไม่สามารถหาวิธีการในการเลื่อนขนาดหรือหมุนรูปสามเหลี่ยมเพื่อ<sup>เพิ่มพื้นที่ช่องทับของรูปสามเหลี่ยม</sup>



ภาพที่ 4.3.3.3 รูปประกอบการพิสูจน์กรณีที่ 3 กรณีย่อที่ 3.3 (3.3.3)

ดังนั้น จึงมีความเป็นไปได้ว่า รูปสามเหลี่ยมสองรูปที่มีการจัดวางในลักษณะดังกล่าว<sup>จะมีพื้นที่ช่องทับที่มากที่สุด</sup>

3.3.4 เช่นเดียวกันกับกรณีย่อที่ 3.3 ยังไม่สามารถหาวิธีการในการเลื่อนขนาดหรือหมุน  
รูปสามเหลี่ยมเพื่อเพิ่มพื้นที่ช่องทับของรูปสามเหลี่ยม



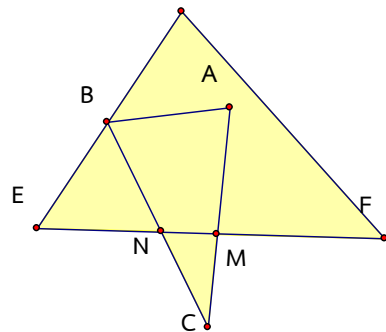
ภาพที่ 4.3.3.4 รูปประกอบการพิสูจน์กรณีที่ 3 กรณีย่อที่ 3.3 (3.3.4)

ดังนั้น จึงมีความเป็นไปได้ว่า รูปสามเหลี่ยมสองรูปที่มีการจัดวางในลักษณะดังกล่าว<sup>จะมีพื้นที่ช่องทับที่มากที่สุด</sup>

กรณีที่ 4  $deg_T = 1.5$  จะสามารถแบ่งกรณีดังกล่าวออกเป็น 2 กรณีย่อยๆ ได้ดังนี้

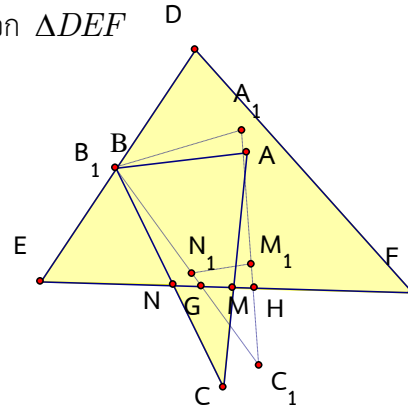
กรณีย่อยที่ 4.1  $deg(\Delta ABC) = 1.5$  และ  $deg(\Delta DEF) = 0$  จะได้ว่าการจัดเรียงของรูปสามเหลี่ยมในกรณีสามารถเกิดขึ้นได้ 4 รูปแบบ

4.1.1 ในกรณีนี้ จะพิสูจน์ได้ว่า สามารถเลื่อนขนาดหรือหมุนรูปสามเหลี่ยมเพื่อเพิ่มพื้นที่ช่องทับโดยใช้ขั้นตอนวิธีการดังต่อไปนี้ D



ภาพที่ 4-4.1.1.1 รูปประกอบการพิสูจน์กรณีที่ 4 กรณีย่อยที่ 4.1 (4.1.1 รูปที่1)

- ใช้  $B$  เป็นจุดหมุน หมุนรูป  $\Delta ABC$  ไปในทิศทางเข็มนาฬิกา โดยมีเงื่อนไขว่า  $A$  ต้องไม่อยู่ภายนอก  $\Delta DEF$



ภาพที่ 4-4.1.1.2 รูปประกอบการพิสูจน์กรณีที่ 4 กรณีย่อยที่ 4.1 (4.1.1 รูปที่2)

ต่อไปจะแสดงว่าพื้นที่ช่องทับของรูปสามเหลี่ยมสองรูปจะเพิ่มขึ้นภายหลังจากการ平行ตามขั้นตอนข้างต้น

พิจารณา  $\Delta ABC$  และ  $\Delta A_1B_1C_1$  เมื่อ  $\Delta A_1B_1C_1$  คือ  $\Delta ABC$  ที่ได้ผ่านการหมุนตามวิธีการข้างต้น

กำหนดให้  $\overline{AC}$  และ  $\overline{BC}$  ตัดกับ  $\overline{EF}$  ที่จุด  $M$  และ  $N$  ตามลำดับ และให้  $M_1, N_1$  คือจุด  $M, N$  ในรูป  $\Delta ABC$  ที่ถูกหมุน และกำหนดให้  $\overline{A_1C_1}$  และ  $\overline{B_1C_1}$  ตัดกับ  $\overline{EF}$  ที่จุด  $H$  และ  $G$  ตามลำดับ

พิจารณา  $[BNMA]$  และ  $[B_1GHA_1]$  เนื่องจาก  $[BNMA] = [B_1N_1M_1A_1]$

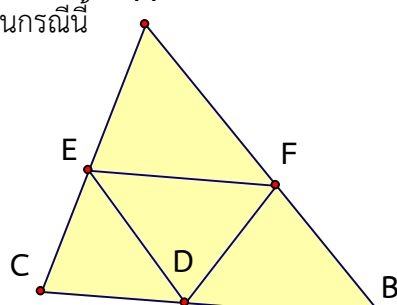
$$\begin{aligned} \text{จะได้ว่า } [B_1GHA_1] &= [B_1N_1M_1A_1] + [GN_1M_1H] \\ &= [BNMA] + [GN_1M_1H] > [BNMA] \end{aligned}$$

ดังนั้น  $[B_1GHA_1] > [BNMA]$

จึงได้ว่า พื้นที่ช้อนทับของรูปสามเหลี่ยมสองรูปหลังจากการแปลงมีค่าเพิ่มขึ้น หรือ  
อาจกล่าวได้ว่า สามารถหาวิธีการในการแปลงรูปสามเหลี่ยมเพื่อเพิ่มพื้นที่ช้อนทับใน  
กรณีนี้ได้

จึงสรุปได้ว่า พื้นที่ช้อนทับที่มากที่สุดของรูปสามเหลี่ยมสองรูปจะไม่เกิดขึ้นในกรณี  
ดังกล่าว

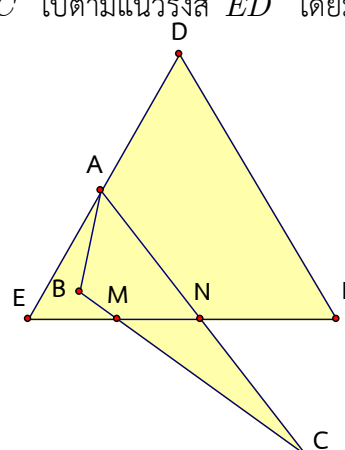
4.1.2 ในกรณีดังกล่าว พื้นที่ช้อนทับของรูปสามเหลี่ยมสองรูปมีค่ามากที่สุดที่เป็นไปได้แล้ว  
ดังนั้น จะไม่พิจารณาในกรณีนี้



ภาพที่ 4-4.1.2 รูปประกอบการพิสูจน์กรณีที่ 4 กรณีย่อยที่ 4.1 (4.1.2)

4.1.3 ในกรณีนี้ จะพิสูจน์ได้ว่า สามารถเลื่อนฐานหรือหมุนรูปสามเหลี่ยมเพื่อเพิ่มพื้นที่  
ช้อนทับโดยใช้ขั้นตอนวิธีการดังต่อไปนี้

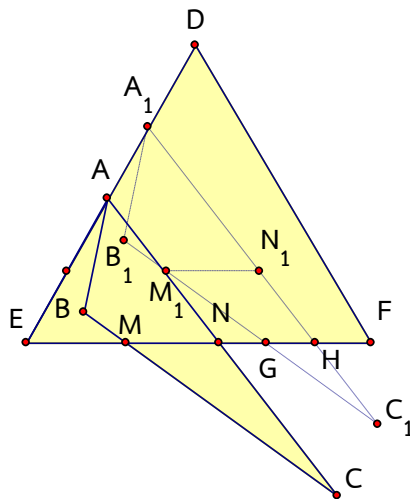
- 1) เลื่อนฐาน  $\Delta ABC$  ไปตามแนวรังสี  $\overrightarrow{ED}$  โดยมีเงื่อนไขว่า  $B_1$  ต้องไม่อยู่  
ภายนอก  $\Delta DEF$



ภาพที่ 4-4.1.3.1 รูปประกอบการพิสูจน์กรณีที่ 4 กรณีย่อยที่ 4.1 (4.1.3 รูปที่ 1)

โดยกำหนดให้  $\overline{BC}$  และ  $\overline{AC}$  ตัดกับ  $\overline{EF}$  ที่จุด  $M$  และจุด  $N$  ตามลำดับ  
ต่อไปจะแสดงว่าพื้นที่ช่องทับของรูปสามเหลี่ยมสองรูปจะเพิ่มขึ้นภายหลังจากการ  
แปลงตามขั้นตอนข้างต้น

พิจารณา  $\Delta ABC$  และ  $\Delta A_1B_1C_1$  เมื่อ  $\Delta A_1B_1C_1$  คือ  $\Delta ABC$  ที่ได้ผ่านการ  
เลื่อนขานตามวิธีการข้างต้น



ภาพที่ 4-4.1.3.2 รูปประกอบการพิสูจน์กรณีที่ 4 กรณีย่อยที่ 4.1 (4.1.3 รูปที่ 2)

กำหนดให้  $\overline{B_1C_1}$  และ  $\overline{A_1C_1}$  ตัดกับ  $\overline{EF}$  ที่จุด  $H$  และ  $G$  ตามลำดับ และให้  
 $M_1$  และ  $N_1$  คือจุด  $M$  และ  $N$  ในรูป  $\Delta ABC$  ที่ถูกเลื่อนขาน

$$\text{พิจารณา } [ABMN] = [A_1B_1M_1N_1]$$

จะได้ว่า

$$[A_1B_1GH] = [A_1B_1M_1N_1] + [HGM_1N_1] = [ABMN] + [HGM_1N_1] > [ABMN]$$

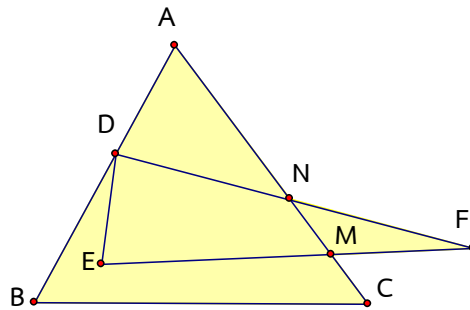
ดังนั้น  $[A_1B_1GH] > [ABMN]$

จึงได้ว่า พื้นที่ช่องทับของรูปสามเหลี่ยมสองรูปหลังจากการแปลงมีค่าเพิ่มขึ้น หรือ  
อาจกล่าวได้ว่า สามารถหาวิธีการในการแปลงรูปสามเหลี่ยมเพื่อเพิ่มพื้นที่ช่องทับใน  
กรณีนี้ได้

จึงสรุปได้ว่า พื้นที่ช่องทับที่มากที่สุดของรูปสามเหลี่ยมสองรูปจะไม่เกิดขึ้นในกรณี  
ดังกล่าว

4.1.4 ในกรณีนี้ จะพิสูจน์ได้ว่า สามารถเลื่อนขนาดหรือหมุนรูปสามเหลี่ยมเพื่อเพิ่มพื้นที่ช้อนทับโดยใช้ขั้นตอนวิธีการดังต่อไปนี้

- เลื่อนขนาด  $\Delta DEF$  ไปตามแนวรังสี  $\overrightarrow{AB}$  โดยมีเงื่อนไขว่า  $E_1$  ต้องไม่อยู่ภายนอก  $\Delta ABC$

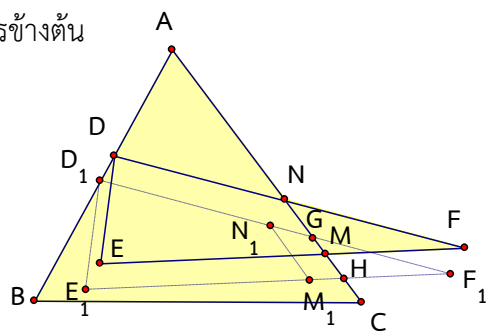


ภาพที่ 4-4.1.4.1 รูปประกอบการพิสูจน์กรณีที่ 4 กรณีย่อที่ 4.1 (4.1.4 รูปที่1)

โดยกำหนดให้  $\overline{AC}$  ตัดกับ  $\overline{DF}$  และ  $\overline{EF}$  ที่จุด  $N$  และ  $M$  ตามลำดับ

ต่อไปจะแสดงว่าพื้นที่ช้อนทับของรูปสามเหลี่ยมสองรูปจะเพิ่มขึ้นภายหลังจากการแปลงตามขั้นตอนข้างต้น

พิจารณา  $\Delta DEF$  และ  $\Delta D_1E_1F_1$  เมื่อ  $\Delta D_1E_1F_1$  คือ  $\Delta DEF$  ที่ได้ผ่านการเลื่อนขนาดตามวิธีการข้างต้น



ภาพที่ 4-4.1.4.2 รูปประกอบการพิสูจน์กรณีที่ 4 กรณีย่อที่ 4.1 (4.1.4 รูปที่2)

กำหนดให้  $\overline{D_1F_1}$  และ  $\overline{E_1F_1}$  ตัดกับ  $\overline{AC}$  ที่จุด  $G$  และ  $H$  ตามลำดับ และให้  $N_1$  และ  $M_1$  คือจุด  $N$  และ  $M$  ในรูป  $\Delta DEF$  ที่ถูกเลื่อนขนาด

$$\text{พิจารณา } [DEMN] = [D_1E_1M_1N_1]$$

จะได้ว่า

$$[D_1E_1GH] = [D_1E_1M_1N_1] + [HGM_1N_1] = [DEMN] + [HGM_1N_1] > [DEMN]$$

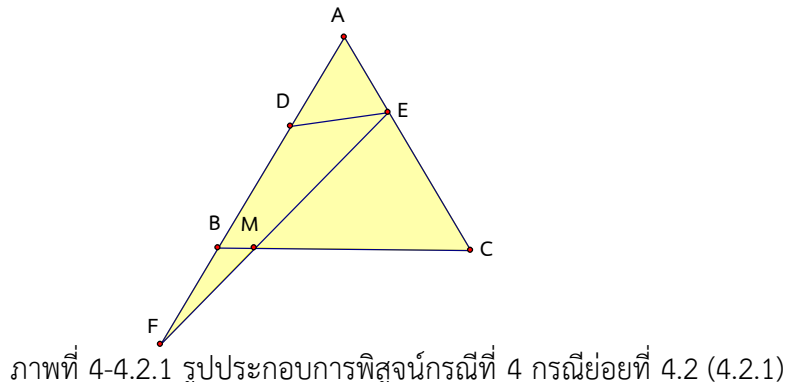
$$\text{ดังนั้น } [D_1E_1GH] > [DEMN]$$

จึงได้ว่า พื้นที่ช่องทับของรูปสามเหลี่ยมสองรูปหลังจากการแปลงมีค่าเพิ่มขึ้น หรือ  
อาจกล่าวได้ว่า สามารถหาวิธีการในการแปลงรูปสามเหลี่ยมเพื่อเพิ่มพื้นที่ช่องทับใน  
กรณีนี้ได้

จึงสรุปได้ว่า พื้นที่ช่องทับที่มากที่สุดของรูปสามเหลี่ยมสองรูปจะไม่เกิดขึ้นในกรณี  
ดังกล่าว

กรณีย่อยที่ 4.2  $\deg(\Delta ABC) = 1.0$  และ  $\deg(\Delta DEF) = 0.5$  จะได้ว่าการจัดเรียงของรูป  
สามเหลี่ยมในกรณีสามารถเกิดขึ้นได้ 5 รูปแบบ

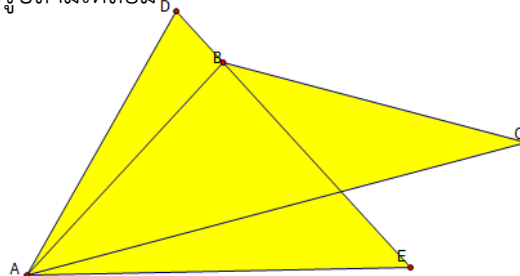
4.2.1 ในกรณีดังกล่าว�ังไม่สามารถหาวิธีการในการเลื่อนขนาดหรือหมุนรูปสามเหลี่ยมเพื่อ<sup>เพิ่มพื้นที่ช่องทับของรูปสามเหลี่ยม</sup>



ภาพที่ 4-4.2.1 รูปประกอบการพิสูจน์กรณีที่ 4 กรณีย่อยที่ 4.2 (4.2.1)

ดังนั้น จึงมีความเป็นไปได้ว่า รูปสามเหลี่ยมสองรูปที่มีการจัดวางในลักษณะดังกล่าว<sup>จะมีพื้นที่ช่องทับที่มากที่สุด</sup>

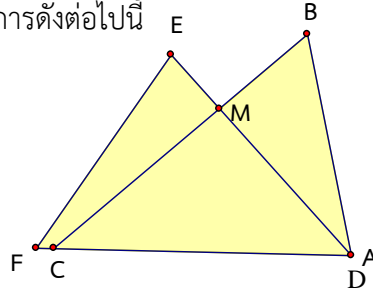
4.2.2 ในกรณีดังกล่าว�ังไม่สามารถหาวิธีการในการเลื่อนขนาดหรือหมุนรูปสามเหลี่ยมเพื่อ<sup>เพิ่มพื้นที่ช่องทับของรูปสามเหลี่ยม</sup>



ภาพที่ 4-4.2.2 รูปประกอบการพิสูจน์กรณีที่ 4 กรณีย่อยที่ 4.2 (4.2.2)

ดังนั้น จึงมีความเป็นไปได้ว่า รูปสามเหลี่ยมสองรูปที่มีการจัดวางในลักษณะดังกล่าว<sup>จะมีพื้นที่ช่องทับที่มากที่สุด</sup>

4.2.3 ในกรณี จะพิสูจน์ได้ว่า สามารถเลื่อนขนาดหรือหมุนรูปสามเหลี่ยมเพื่อเพิ่มพื้นที่ช้อนทับโดยใช้ขั้นตอนวิธีการดังต่อไปนี้



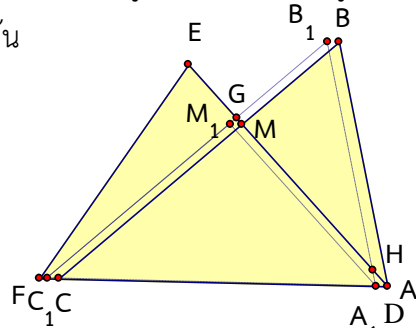
ภาพที่ 4-4.2.3.1 รูปประกอบการพิสูจน์กรณีที่ 4 กรณีย่อยที่ 4.2 (4.2.3 รูปที่1)

1) เลื่อนขนาด  $\Delta ABC$  ไปตามแนวรั้งสี  $\overrightarrow{DF}$  โดยมีเงื่อนไขว่า  $C_1$  ต้องไม่มอยู่

ภายนอก  $\Delta DEF$

โดยกำหนดให้  $\overline{BC}$  ตัดกับ  $\overline{ED}$  ที่จุด  $M$

ต่อไปจะแสดงว่าพื้นที่ช้อนทับของรูปสามเหลี่ยมสองรูปจะเพิ่มขึ้นภายหลังจากการ平行ตามขั้นตอนข้างต้น



ภาพที่ 4-4.2.3.2 รูปประกอบการพิสูจน์กรณีที่ 4 กรณีย่อยที่ 4.2 (4.2.3 รูปที่2)

พิจารณา  $\Delta ABC$  และ  $\Delta A_1B_1C_1$  เมื่อ  $\Delta A_1B_1C_1$  คือ  $\Delta ABC$  ที่ได้ผ่านการเลื่อนขนาดตามวิธีการข้างต้น

กำหนดให้  $B_1C_1$  และ  $A_1B_1$  ตัดกับ  $\overline{ED}$  ที่จุด  $G$  และ  $H$  ตามลำดับ และให้  $M_1$  คือจุด  $M$  ในรูป  $\Delta ABC$  ที่ถูกเลื่อนขนาด

พิจารณา  $[CMA] = [C_1M_1A_1]$  จะได้ว่า

$$[C_1GHA_1] = [C_1M_1A_1] + [HGM_1A_1] = [CMA] + [HGM_1A_1]$$

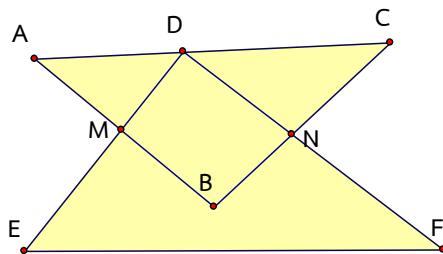
$$> [CMA]$$

$$\text{ดังนั้น } [C_1GHA_1] > [CMA]$$

จึงได้ว่า พื้นที่ซ้อนทับของรูปสามเหลี่ยมสองรูปหลังจากการแปลงมีค่าเพิ่มขึ้น หรือ  
อาจกล่าวได้ว่า สามารถหาวิธีการในการแปลงรูปสามเหลี่ยมเพื่อเพิ่มพื้นที่ซ้อนทับใน  
กรณีนี้ได้

จึงสรุปได้ว่า พื้นที่ซ้อนทับที่มากที่สุดของรูปสามเหลี่ยมสองรูปจะไม่เกิดขึ้นในกรณี  
ดังกล่าว

4.2.4 ในกรณีนี้ จะพิสูจน์ได้ว่า สามารถเลื่อนขนาดหรือหมุนรูปสามเหลี่ยมเพื่อเพิ่มพื้นที่  
ซ้อนทับโดยใช้ขั้นตอนวิธีการดังต่อไปนี้

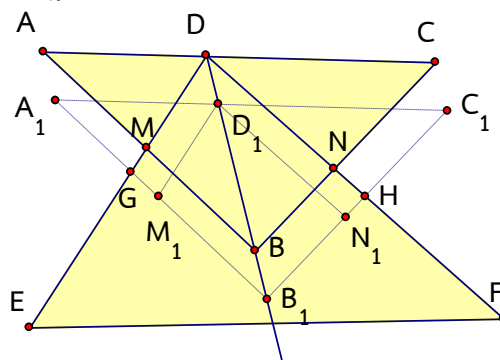


ภาพที่ 4-4.2.4.1 รูปประกอบการพิสูจน์กรณีที่ 4 กรณีย่อที่ 4.2 (4.2.4 รูปที่1)

1) เลื่อนขนาด  $\Delta ABC$  ไปตามแนวรังสี  $\overrightarrow{DB}$  โดยมีเงื่อนไขว่า  $B_1$  ต้องไม่อยู่  
ภายนอก  $\Delta DEF$

โดยกำหนดให้  $\overline{AB}$  ตัดกับ  $\overline{ED}$  ที่จุด  $M$  และ  $\overline{BC}$  ตัดกับ  $\overline{DF}$  ที่จุด  $N$

ต่อไปจะแสดงว่าพื้นที่ซ้อนทับของรูปสามเหลี่ยมสองรูปจะเพิ่มขึ้นภายหลังจากการ  
แปลงตามขั้นตอนข้างต้น



ภาพที่ 4-4.2.4.2 รูปประกอบการพิสูจน์กรณีที่ 4 กรณีย่อที่ 4.2 (4.2.4 รูปที่2)

พิจารณา  $\Delta ABC$  และ  $\Delta A_1B_1C_1$  เมื่อ  $\Delta A_1B_1C_1$  คือ  $\Delta ABC$  ที่ได้ผ่านการ  
เลื่อนขนาดตามวิธีการข้างต้น

กำหนดให้  $\overline{A_1B_1}$  ตัดกับ  $\overline{ED}$  ที่จุด  $G$  และ  $\overline{B_1C_1}$  ตัดกับ  $\overline{DF}$  ที่จุด  $H$  และให้  
 $M_1$  และ  $N_1$  คือจุด  $M$  และ  $N$  ในรูป  $\Delta ABC$  ที่ถูกเลื่อนขนาด

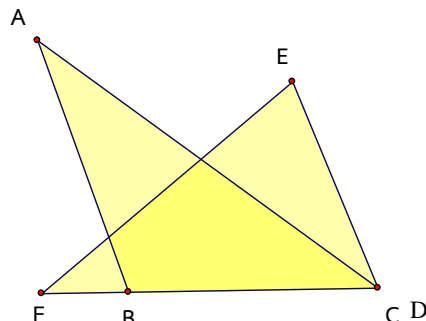
$$\text{พิจารณา } [DMBN] = [D_1M_1B_1N_1]$$

$$\begin{aligned} \text{จะได้ว่า } [DGB_1H] &= [D_1M_1B_1N_1] + [D_1N_1HDG] \\ &= [DMBN] + [D_1N_1HDG] > [DMBN] \\ \text{ดังนั้น } [DGB_1H] &> [DMBN] \end{aligned}$$

จึงได้ว่า พื้นที่ช้อนทับของรูปสามเหลี่ยมสองรูปหลังจากการแปลงมีค่าเพิ่มขึ้น หรือ อาจกล่าวได้ว่า สามารถหาวิธีการในการแปลงรูปสามเหลี่ยมเพื่อเพิ่มพื้นที่ช้อนทับในกรณีนี้ได้

จึงสรุปได้ว่า พื้นที่ช้อนทับที่มากที่สุดของรูปสามเหลี่ยมสองรูปจะไม่เกิดขึ้นในกรณีดังกล่าว

4.2.5 ในกรณีดังกล่าว yang ไม่สามารถหาวิธีการในการเลื่อนขนาดหรือหมุนรูปสามเหลี่ยมเพื่อเพิ่มพื้นที่ช้อนทับของรูปสามเหลี่ยม



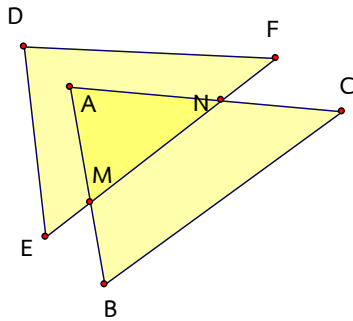
ภาพที่ 4-4.2.5 รูปประกอบการพิสูจน์กรณีที่ 4 กรณีอยู่ที่ 4.2 (4.2.5)

ดังนั้น จึงมีความเป็นไปได้ว่า รูปสามเหลี่ยมสองรูปที่มีการจัดวางในลักษณะดังกล่าว จะมีพื้นที่ช้อนทับที่มากที่สุด

กรณีที่ 5  $deg_T = 1$  จะสามารถแบ่งกรณีดังกล่าวออกเป็น 2 กรณีย่อยๆ ได้ดังนี้

กรณีย่อยที่ 5.1  $deg(\Delta ABC) = 1$  และ  $deg(\Delta DEF) = 0$  จะได้ว่าการจัดเรียงของรูปสามเหลี่ยมในกรณีนี้สามารถเกิดขึ้นได้ 2 รูปแบบ

5.1.1 ในกรณีนี้ จะพิสูจน์ได้ว่า สามารถเลื่อนขนาดหรือหมุนรูปสามเหลี่ยมเพื่อเพิ่มพื้นที่ช้อนทับโดยใช้ขั้นตอนวิธีการดังต่อไปนี้

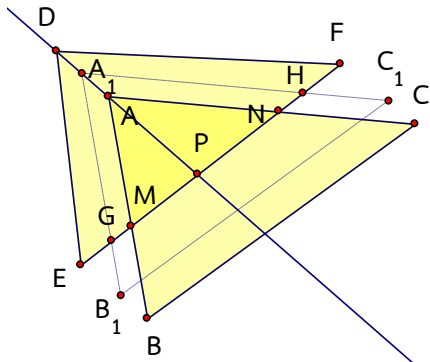


ภาพที่ 4-5.1.1.1 รูปประกอบการพิสูจน์กรณีที่ 5 กรณีย่อยที่ 5.1 (5.1.1 รูปที่ 1)

- 1) เลื่อนขนาด  $\Delta ABC$  ไปตามแนวรั้งสี  $\overrightarrow{AD}$  โดยมีเงื่อนไขว่า  $A$  ต้องไม่อยู่ภายนอก  $\Delta DEF$  และให้  $\overline{AB}$  และ  $\overline{AC}$  ตัดกับ  $\overline{EF}$  ที่จุด  $M$  และ  $N$  ตามลำดับ

ต่อไปจะแสดงว่าพื้นที่ช้อนหักของรูปสามเหลี่ยมสองรูปจะเพิ่มขึ้นภายหลังจากการแปลงตามขั้นตอนข้างต้น

พิจารณา  $\Delta ABC$  และ  $\Delta A_1B_1C_1$  เมื่อ  $\Delta A_1B_1C_1$  คือ  $\Delta ABC$  ที่ได้ผ่านการเลื่อนขนาดตามวิธีการข้างต้น



ภาพที่ 4-5.1.1.2 รูปประกอบการพิสูจน์กรณีที่ 5 กรณีย่อยที่ 5.1 (5.1.1 รูปที่ 2)

กำหนดให้  $\overline{A_1B_1}$  และ  $\overline{A_1C_1}$  ตัดกับ  $\overline{EF}$  ที่จุด  $G$  และ  $H$  ตามลำดับ

เนื่องจาก  $\overline{GA_1}$  ขนานกับ  $\overline{AM}$  และมุม  $M\hat{P}A$  เป็นมุมร่วมกันของรูปสามเหลี่ยมสองรูป ทำให้ได้ว่า  $\Delta MPA$  คล้ายกับ  $\Delta GPA_1$

ดังนั้น อัตราส่วนของพื้นที่รูป  $\Delta GPA_1$  ต่อรูป  $\Delta MPA$  เท่ากับ  $\frac{PA_1^2}{PA^2}$

เนื่องจากรูป  $\Delta ABC$  ถูกเลื่อนขนาดไปตามแนวรั้งสี  $\overrightarrow{AD}$  จะได้ว่า  $\overline{PA_1}$  ต้องยาวกว่า  $\overline{PA}$

$$PA_1 > PA$$

$$\frac{PA_1^2}{PA^2} > 1$$

$$\begin{aligned} [\Delta GPA_1] &= \frac{PA_1^2}{PA^2} \times [\Delta MPA] > 1 \times [\Delta MPA] \\ [\Delta GPA_1] &> [\Delta MPA] \end{aligned}$$

ในทำนองเดียวกัน  $[\Delta HPA_1] > [\Delta NPA]$

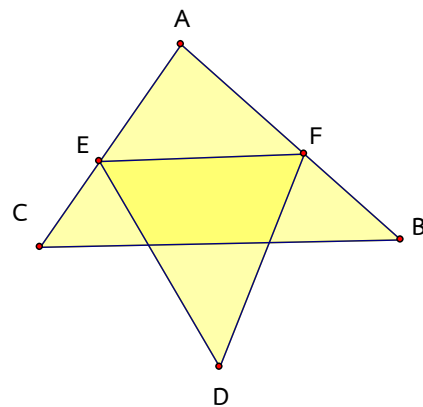
ดังนั้น  $[\Delta GPA_1] + [\Delta HPA_1] > [\Delta MPA] + [\Delta NPA]$

$$[A_1 GH] > [AMN]$$

จึงได้ว่า พื้นที่ช้อนทับของรูปสามเหลี่ยมสองรูปหลังจากการแปลงมีค่าเพิ่มขึ้น หรือ อาจกล่าวได้ว่า สามารถหาวิธีการในการแปลงรูปสามเหลี่ยมสองรูปเพื่อเพิ่มพื้นที่ช้อนทับในกรณีนี้ได้

จึงสรุปได้ว่า พื้นที่ช้อนทับที่มากที่สุดของรูปสามเหลี่ยมสองรูปจะไม่เกิดขึ้นในกรณีดังกล่าว

5.1.2 ในกรณีดังกล่าวจะไม่สามารถหาวิธีการในการเลื่อนขนาดหรือหมุนรูปสามเหลี่ยมเพื่อเพิ่มพื้นที่ช้อนทับของรูปสามเหลี่ยม

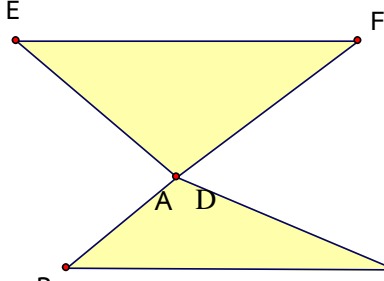


ภาพที่ 4-5.1.2 รูปประกอบการพิสูจน์กรณีที่ 5 กรณีออยที่ 5.1 (5.1.2)

ดังนั้น จึงมีความเป็นไปได้ว่า รูปสามเหลี่ยมสองรูปที่มีการจัดวางในลักษณะดังกล่าว จะมีพื้นที่ช้อนทับที่มากที่สุด

กรณีออยที่ 5.2  $\deg(\Delta ABC) = 0.5$  และ  $\deg(\Delta DEF) = 0.5$  จะได้ว่าการจัดเรียงของรูปสามเหลี่ยมในกรณีสามารถเกิดขึ้นได้ 2 รูปแบบ

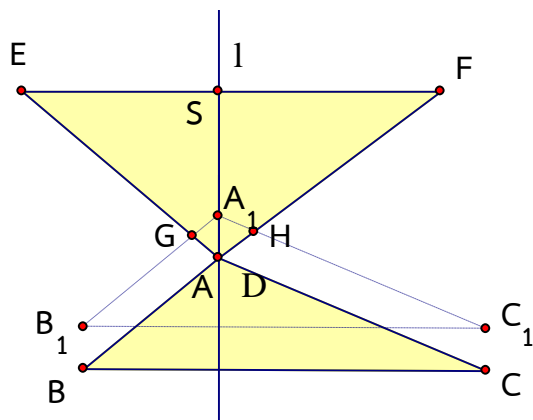
5.2.1 ในกรณีนี้ จะพิสูจน์ได้ว่า สามารถเลื่อนขนาดหรือหมุนรูปสามเหลี่ยมเพื่อเพิ่มพื้นที่ช้อนทับโดยใช้ขั้นตอนวิธีการดังต่อไปนี้



ภาพที่ 4-5.2.1.1 รูปประกอบการพิสูจน์กรณีที่ 5 กรณีย่อยที่ 5.2 (5.2.1 รูปที่ 1)

- 1) สร้างเส้นตรง  $l$  ผ่านจุด  $A$  ตั้งฉากกับ  $\overline{EF}$  ที่จุด  $S$
- 2) เลื่อนขนาด  $\Delta ABC$  ไปตามแนวรังสี  $\overrightarrow{DS}$  โดยมีเงื่อนไขว่า  $A_1$  ต้องไม่อยู่ภายนอก  $\Delta DEF$

ต่อไปจะแสดงว่าพื้นที่ช้อนทับของรูปสามเหลี่ยมสองรูปจะเพิ่มขึ้นภายหลังจากการแปลงตามขั้นตอนข้างต้น



ภาพที่ 4-5.2.1.2 รูปประกอบการพิสูจน์กรณีที่ 5 กรณีย่อยที่ 5.2 (5.2.1 รูปที่ 2)

พิจารณา  $\Delta ABC$  และ  $\Delta A_1B_1C_1$  เมื่อ  $\Delta A_1B_1C_1$  คือ  $\Delta ABC$  ที่ได้ผ่านการเลื่อนขนาดตามวิธีการข้างต้น

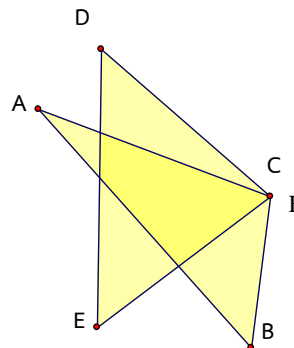
กำหนดให้  $\overline{A_1B_1}$  ตัดกับ  $\overline{ED}$  ที่จุด  $G$  และ  $\overline{A_1C_1}$  ตัดกับ  $\overline{FD}$  ที่จุด  $H$

$$\text{พิจารณา } [DGA_1H] > 0$$

จึงได้ว่า พื้นที่ช่องทับของรูปสามเหลี่ยมสองรูปหลังจากการแปลงมีค่าเพิ่มขึ้น หรือ  
อาจกล่าวได้ว่า สามารถหาวิธีการในการแปลงรูปสามเหลี่ยมเพื่อเพิ่มพื้นที่ช่องทับใน  
กรณีนี้ได้

จึงสรุปได้ว่า พื้นที่ช่องทับที่มากที่สุดของรูปสามเหลี่ยมสองรูปจะไม่เกิดขึ้นในกรณี  
ดังกล่าว

5.2.2 ในกรณีดังกล่าวยังไม่สามารถหาวิธีการในการเลื่อนขนาดหรือหมุนรูปสามเหลี่ยมเพื่อ<sup>เพิ่มพื้นที่ช่องทับของรูปสามเหลี่ยม</sup>

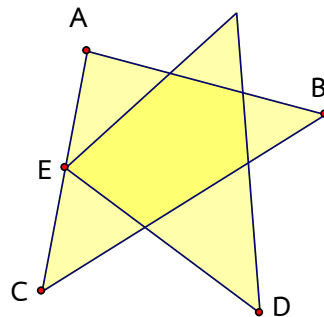


ภาพที่ 4-5.2.2 รูปประกอบการพิสูจน์กรณีที่ 5 กรณีย่อยที่ 5.2 (5.2.2)

ดังนั้น จึงมีความเป็นไปได้ว่า รูปสามเหลี่ยมสองรูปที่มีการจัดวางในลักษณะดังกล่าว<sup>จะมีพื้นที่ช่องทับที่มากที่สุด</sup>

กรณีที่ 6  $deg_T = 0.5$  จะได้ว่า  $deg(\Delta ABC) = 0.5$  และ  $deg(\Delta DEF) = 0$  เท่านั้น การจัดเรียงของรูป<sup>สามเหลี่ยม</sup>ในกรณีสามารถเกิดขึ้นได้ 3 รูปแบบ

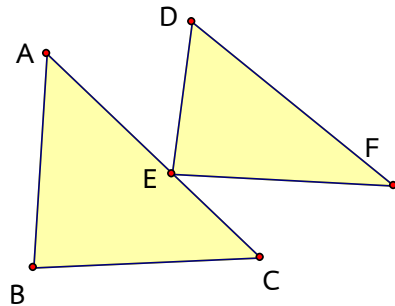
กรณีย่อยที่ 6.1 ในกรณีดังกล่าวยังไม่สามารถหาวิธีการในการเลื่อนขนาดหรือหมุนรูปสามเหลี่ยมเพื่อ<sup>เพิ่มพื้นที่ช่องทับของรูปสามเหลี่ยม</sup>



ภาพที่ 4-6.1 รูปประกอบการพิสูจน์กรณีที่ 6 กรณีย่อยที่ 6.1

ดังนั้น จึงมีความเป็นไปได้ว่า รูปสามเหลี่ยมสองรูปที่มีการจัดวางในลักษณะดังกล่าว จะมีพื้นที่ซ้อนทับที่มากที่สุด

กรณีย่อยที่ 6.2 ในกรณีนี้ เห็นได้ชัดว่า สามารถแปลงรูปสามเหลี่ยมหนึ่งในสองรูปเพื่อให้สามเหลี่ยมทั้งสองรูปทับกัน ดังนั้น พื้นที่ซ้อนทับหลังจากการแปลงรูปสามเหลี่ยมจะมากกว่า พื้นที่ซ้อนทับก่อนหน้าการแปลงรูปซึ่งเท่ากับศูนย์

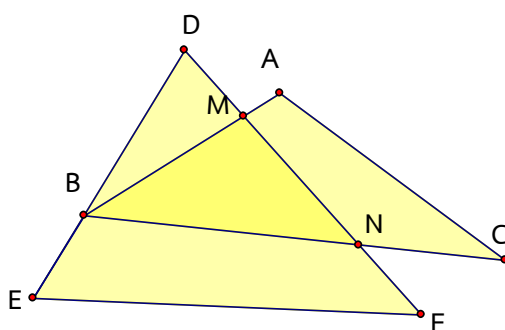


ภาพที่ 4-6.2 รูปประกอบการพิสูจน์กรณีที่ 6 กรณีย่อยที่ 6.2

จึงได้ว่า พื้นที่ซ้อนทับของรูปสามเหลี่ยมสองรูปหลังจากการแปลงมีค่าเพิ่มขึ้น หรือ อาจกล่าวได้ว่า สามารถหาวิธีการในการแปลงรูปสามเหลี่ยมเพื่อเพิ่มพื้นที่ซ้อนทับในกรณีนี้ได้

จึงสรุปได้ว่า พื้นที่ซ้อนทับที่มากที่สุดของรูปสามเหลี่ยมสองรูปจะไม่เกิดขึ้นในกรณี ดังกล่าว

กรณีย่อยที่ 6.3 ในกรณีนี้ จะพิสูจน์ได้ว่า สามารถเลื่อนขนาดหรือหมุนรูปสามเหลี่ยมเพื่อเพิ่มพื้นที่ ซ้อนทับโดยใช้ขั้นตอนวิธีการดังต่อไปนี้

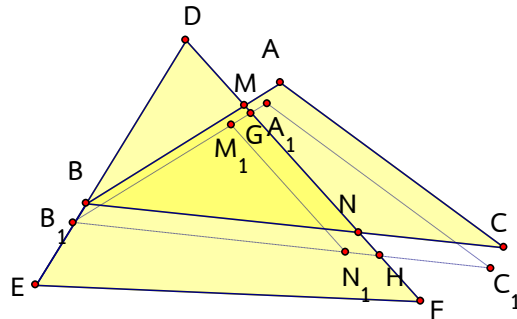


ภาพที่ 4-6.3.1 รูปประกอบการพิสูจน์กรณีที่ 6 กรณีย่อยที่ 6.3 (รูปที่ 1)

- 1) เลื่อนขนาด  $\triangle ABC$  ไปตามแนวรังสี  $\overrightarrow{DE}$  โดยมีเงื่อนไขว่า  $B_1$  และ  $N_1$  ต้อง ไม่อยู่ภายนอก  $\triangle DEF$  กำหนดให้  $\overline{AB}$  และ  $\overline{BC}$  ตัดกับ  $\overline{DF}$  ที่จุด  $M$  และ  $N$  ตามลำดับ

ต่อไปจะแสดงว่าพื้นที่ช้อนทับของรูปสามเหลี่ยมสองรูปจะเพิ่มขึ้นภายหลังจากการแปลงตามขั้นตอนข้างต้น

พิจารณา  $\Delta ABC$  และ  $\Delta A_1B_1C_1$  เมื่อ  $\Delta A_1B_1C_1$  คือ  $\Delta ABC$  ที่ได้ผ่านการเลื่อนขนาดตามวิธีการข้างต้น



ภาพที่ 4-6.3.2 รูปประกอบการพิสูจน์กรณีที่ 6 กรณีย่อยที่ 6.3 (รูปที่ 2)

กำหนดให้  $\overline{A_1B_1}$  และ  $\overline{B_1C_1}$  ตัดกับ  $\overline{DF}$  ที่จุด  $G$  และ  $H$  ตามลำดับ

$$\text{พิจารณา } [BMN] = [B_1M_1N_1]$$

$$\text{ดังนั้น } [B_1GH] = [B_1M_1N_1] + [HGM_1N_1]$$

$$= [BMN] + [HGM_1N_1] > [BMN]$$

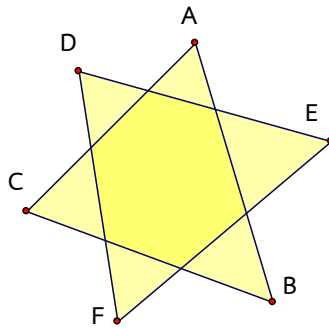
$$[B_1GH] > [BMN]$$

จึงได้ว่า พื้นที่ช้อนทับของรูปสามเหลี่ยมสองรูปหลังจากการแปลงมีค่าเพิ่มขึ้น หรือ  
อาจกล่าวได้ว่า สามารถหาวิธีการในการแปลงรูปสามเหลี่ยมเพื่อเพิ่มพื้นที่ช้อนทับใน  
กรณีนี้ได้

จึงสรุปได้ว่า พื้นที่ช้อนทับที่มากที่สุดของรูปสามเหลี่ยมสองรูปจะไม่เกิดขึ้นในกรณี  
ดังกล่าว

กรณีที่ 7  $deg_T = 0$  จะได้ว่า  $deg(\Delta ABC) = 0$  และ  $deg(\Delta DEF) = 0$  เท่านั้น การจัดเรียงของรูป  
สามเหลี่ยมในกรณีนี้สามารถเกิดขึ้นได้ 3 รูปแบบ

กรณีย่อยที่ 7.1 ในกรณีดังกล่าวจะไม่สามารถหาวิธีการในการเลื่อนขนาดหรือหมุนรูปสามเหลี่ยมเพื่อ  
เพิ่มพื้นที่ช้อนทับของรูปสามเหลี่ยม

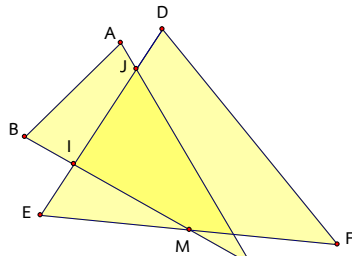


ภาพที่ 4-7.1 รูปประกอบการพิสูจน์กรณีที่ 7 กรณีย่ออย่างที่ 7.1

ดังนั้น จึงมีความเป็นไปได้ว่า รูปสามเหลี่ยมสองรูปที่มีการจัดวางในลักษณะดังกล่าว จะมีพื้นที่ซ้อนทับที่มากที่สุด

กรณีย่ออย่างที่ 7.2 ในกรณีนี้ จะพิสูจน์ได้ว่า สามารถเลื่อนขนาดหรือหมุนรูปสามเหลี่ยมเพื่อเพิ่มพื้นที่ซ้อนทับโดยใช้ขั้นตอนวิธีการดังต่อไปนี้

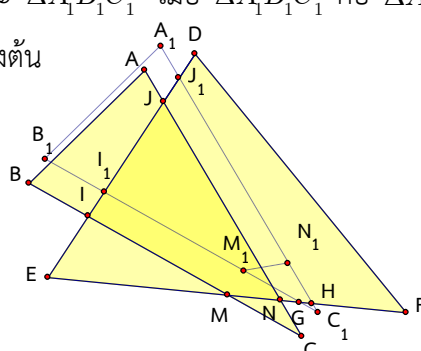
- 1) เลื่อนขนาด  $\triangle ABC$  ไปตามแนวรั้งสี  $\overline{ED}$  โดยมีเงื่อนไขว่า  $J_1$  ต้องไม่อยู่ภายนอก  $\triangle DEF$  โดยกำหนดให้  $\overline{BC}$  ตัดกับ  $\overline{ED}$  และ  $\overline{EF}$  ที่จุด  $I$  และ  $M$  ตามลำดับ และ  $\overline{AC}$  ตัดกับ  $\overline{ED}$  และ  $\overline{EF}$  ที่จุด  $J$  และ  $N$  ตามลำดับ



ภาพที่ 4-7.2.1 รูปประกอบการพิสูจน์กรณีที่ 7 กรณีย่ออย่างที่ 7.2 (รูปที่ 1)

ต่อไปจะแสดงว่าพื้นที่ซ้อนทับของรูปสามเหลี่ยมสองรูปจะเพิ่มขึ้นภายหลังจากการแปลงตามขั้นตอนข้างต้น

พิจารณา  $\triangle ABC$  และ  $\triangle A_1B_1C_1$  เมื่อ  $\triangle A_1B_1C_1$  คือ  $\triangle ABC$  ที่ได้ผ่านการเลื่อนขนาดตามวิธีการข้างต้น



ภาพที่ 4-7.2.2 รูปประกอบการพิสูจน์กรณีที่ 7 กรณีย่ออย่างที่ 7.2 (รูปที่ 2)

กำหนดให้  $\overline{B_1C_1}$  ตัดกับ  $\overline{ED}$  และ  $\overline{EF}$  ที่จุด  $I_1$  และ  $G$  ตามลำดับ และให้  $\overline{A_1C_1}$  ตัดกับ  $\overline{ED}$  และ  $\overline{EF}$  ที่จุด  $J_1$  และ  $H$  ตามลำดับ

$$\text{พิจารณา } [JIMN] = [J_1I_1M_1N_1]$$

ดังนั้น

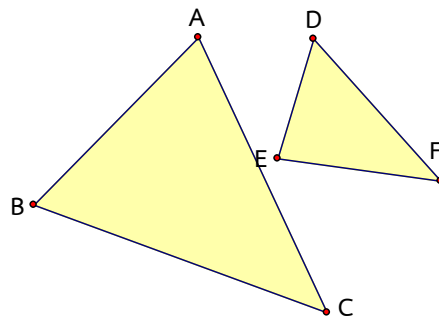
$$[I_1J_1GH] = [J_1I_1M_1N_1] + [HGM_1N_1] = [JIMN] + [HGM_1N_1]$$

$$\therefore [I_1J_1GH] > [JIMN]$$

จึงได้ว่า พื้นที่ช่องทับของรูปสามเหลี่ยมสองรูปหลังจากการแปลงมีค่าเพิ่มขึ้น หรือ  
อาจกล่าวได้ว่า สามารถหาวิธีการในการแปลงรูปสามเหลี่ยมเพื่อเพิ่มพื้นที่ช่องทับใน  
กรณีนี้ได้

จึงสรุปได้ว่า พื้นที่ช่องทับที่มากที่สุดของรูปสามเหลี่ยมสองรูปจะไม่เกิดขึ้นในกรณี  
ดังกล่าว

กรณีอย่างที่ 7.3 ในกรณีนี้ เห็นได้ชัดว่า สามารถแปลงรูปสามเหลี่ยมหนึ่งในสองรูปเพื่อให้สามเหลี่ยม  
ทั้งสองรูปทับกัน



ภาพที่ 4-7.3 รูปประกอบการพิสูจน์กรณีที่ 7 กรณีอย่างที่ 7.3

ดังนั้น พื้นที่ช่องทับหลังจากการแปลงรูปสามเหลี่ยมจะมากกว่าพื้นที่ช่องทับก่อน  
หน้าการแปลงรูปซึ่งเท่ากับศูนย์

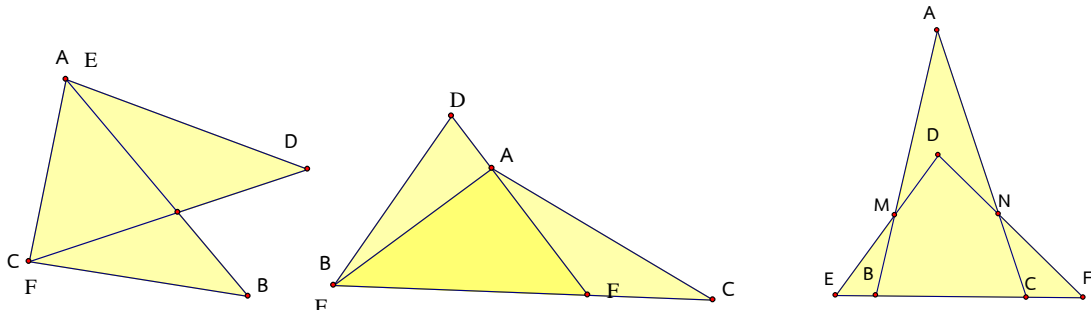
จึงได้ว่า พื้นที่ช่องทับของรูปสามเหลี่ยมสองรูปหลังจากการแปลงมีค่าเพิ่มขึ้น หรือ  
อาจกล่าวได้ว่า สามารถหาวิธีการในการแปลงรูปสามเหลี่ยมเพื่อเพิ่มพื้นที่ช่องทับใน  
กรณีนี้ได้

จึงสรุปได้ว่า พื้นที่ช่องทับที่มากที่สุดของรูปสามเหลี่ยมสองรูปจะไม่เกิดขึ้นในกรณี  
ดังกล่าว

□

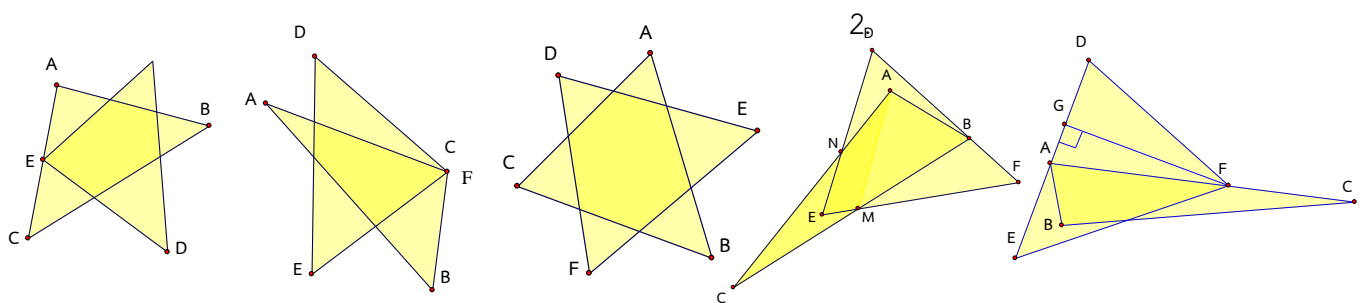
จากการแบ่งกรณีที่เป็นไปได้ทั้งหมดในการจัดเรียงรูปสามเหลี่ยมสองรูปให้ซ้อนทับกัน พบร่วมที่ยังไม่สามารถหาขั้นตอนวิธีการในการเลื่อนขนาดหรือหมุนรูปสามเหลี่ยมเพื่อเพิ่มพื้นที่ซ้อนทับ จะแบ่งออกได้เป็น 2 ลักษณะ ดังนี้

1. สามเหลี่ยมทั้งสองรูปมีด้านหนึ่งด้านที่อยู่บนเส้นตรงเดียวกัน



ภาพที่ 4-1-1 รูปแสดงกรณีที่สามารถให้พื้นที่ทับซ้อนที่มากที่สุดที่เป็นไปได้ รูปที่ 1

2. สามเหลี่ยมสองรูปเรียงตัวกันเป็นรูปดาว (Star-shaped) และกรณีอื่นๆ บางส่วน



ภาพที่ 4-1-2 รูปแสดงกรณีที่สามารถให้พื้นที่ทับซ้อนที่มากที่สุดที่เป็นไปได้ รูปที่ 2

ซึ่งสำหรับนิยามของ star-shaped คือการที่สามเหลี่ยมสองรูปเรียงตัวกันโดยที่ไม่มีด้านใดซ้อนทับกัน และตีกรีของจุดยอดสามเหลี่ยมทั้ง 6 จุดจะมีค่าเท่ากับ 0 หรือ 0.5 เท่านั้น แต่ในสามเหลี่ยมเดียวกันจุดยอดทั้งสามของสามเหลี่ยมรูปนั้นจะต้องไม่เป็น 0.5 พร้อมกัน

ซึ่งสำหรับในกรณีที่ 2 ยังไม่สามารถสรุปได้ว่าการจัดเรียงของสามเหลี่ยมสองรูปจะต้องเป็นไปในลักษณะใด จึงจะให้พื้นที่ซ้อนทับที่มากที่สุด แต่ในกรณีแรก จะมีขั้นตอนวิธีการในการหาตำแหน่งการจัดวางของรูปสามเหลี่ยม เพื่อให้ได้พื้นที่ซ้อนทับที่มากที่สุด ซึ่งจะแสดงดังต่อไปนี้

## 4.2 การหาตำแหน่งของรูปสามเหลี่ยมสองรูปที่มีด้านร่วมกัน 1 ด้าน ภายใต้การเลื่อนขนาดที่ทำให้พื้นที่ซ้อนทับที่มากที่สุด

ส่วนนี้จะพิจารณาในกรณีที่รูปสามเหลี่ยมสองรูปมีด้านร่วมกันอย่างน้อย 1 ด้าน นั่นคือจะพิจารณาเฉพาะการเลื่อนขนาดไปกับด้านร่วมเท่านั้น จากนั้นจะสามารถใช้กระบวนการเดียวกันพิจารณาคู่ด้านร่วมอื่นๆ คูณให้พื้นที่ซ้อนทับที่มากที่สุด

### บทต่อ 4.2.1

สามเหลี่ยม  $A$  และ  $B$  ที่คล้ายกันจะสามารถซ้อนทับกันได้สนิท

บทพิสูจน์ ให้สามเหลี่ยม  $A$  และ  $B$  เป็นสามเหลี่ยมที่คล้ายกัน โดยไม่เสียนัยทั่วไปกำหนดให้  $[B] \leq [A]$

ให้สามเหลี่ยม  $A$  และ  $B$  คือ  $MNO$  และ  $PQR$  โดยที่

$$\begin{aligned} M\hat{N}O &= P\hat{Q}R \\ N\hat{O}M &= Q\hat{R}P \end{aligned}$$

$$\text{และ } O\hat{M}N = R\hat{P}Q$$

และกำหนดให้  $MN = kPQ$  จาก  $A \sim B$  จะได้ว่า  $NO = kQR$  และ  $OM = kRP$

กรณีที่  $[B] = [A]$  จะพิสูจน์ว่า  $A$  สามารถซ้อนทับ  $B$  ได้สนิท โดยจะแสดงว่า  $A \equiv B$

ขั้นแรกจะแสดงว่า  $MN = PQ$

จากกฎของไซน์จะได้ว่า  $[A] = \frac{1}{2}(MN)(NO) \sin M\hat{N}O = \frac{1}{2}k^2(PQ)(QR) \sin P\hat{Q}R$

และ  $[B] = \frac{1}{2}(PQ)(QR) \sin P\hat{Q}R$  แต่  $[B] = [A]$  ดังนั้น  $k = 1$  นั่นคือ  $MN = PQ$

และจะได้ว่า  $NO = QR$  และ  $OM = RP$

ดังนั้นจะสามารถวาง  $M$  บน  $P$ ,  $N$  บน  $Q$  และ  $O$  บน  $R$  พร้อมกันได้ นั่นคือ  $A$  สามารถ

ซ้อนทับ  $B$  ได้สนิท

กรณีที่  $[B] < [A]$  จะพิสูจน์ว่า  $A$  สามารถซ้อนทับ  $B$  ได้สนิท

ขั้นแรกจะแสดงว่า  $MN > PQ$

จากกฎของไซน์จะได้ว่า  $[A] = \frac{1}{2}(MN)(NO) \sin M\hat{N}O = \frac{1}{2}k^2(PQ)(QR) \sin P\hat{Q}R$

และ  $[B] = \frac{1}{2}(PQ)(QR) \sin P\hat{Q}R$  แต่  $[B] < [A]$  ดังนั้น  $k > 1$  นั่นคือ  $MN > PQ$

และจะได้ว่า  $NO > QR$  และ  $OM > RP$

ดังนั้นจะมีจุด  $X$  บน  $\overline{MN}$  ที่ทำให้  $MX = PQ$  จาก  $X$  ลากเส้นขนาด  $\overline{QR}$  ตัด  $\overline{RP}$  ที่  $Y$

ด้วยวิธีการเดียวกับกรณีแรกจะได้ว่าสามเหลี่ยม  $MXY \sim PQR$  ดังนั้น  $MXY$  สามารถซ้อนทับ  $B$  ได้พอดี แต่เนื่องจาก  $MXY$  อยู่ในสามเหลี่ยม  $A$  ดังนั้น  $A$  สามารถซ้อนทับ  $B$  ได้สนิท

จากบทพิสูจน์ข้างต้นยังสรุปได้ว่า “มีทำหมาลงที่สามเหลี่ยมที่คล้ายกันทั้งสองชั้นทับกันได้พอดี และ มีด้านร่วมกัน 2 ด้าน และมุมร่วมกัน 1 มุม”

ต่อไปจะกล่าวถึงบทต่อไปจะใช้ในการพิสูจน์กระบวนการหาทำหมาลงที่ทำให้พื้นที่ชั้นทับมากที่สุด

#### บทต่อ 4.2.2

ให้รูป  $MNO$  และ  $PQR$  แทนด้วย  $A$  และ  $B$  ตามลำดับเป็นสามเหลี่ยมใดๆ ที่มีด้านร่วมกัน 1 ด้าน โดยที่ด้าน  $\overline{MN}$  เป็นด้านร่วมกับ  $\overline{PQ}$  และ  $M$  อยู่ใกล้  $P$  มากกว่า  $N$  จะได้ว่า “มีสามเหลี่ยม  $M'N'O'$  ~  $MNO$  เรียกว่าสามเหลี่ยม  $C$  ซึ่งทำให้สามเหลี่ยม  $B$  สามารถซ้อนทับสามเหลี่ยม  $C$  ได้พอดี และจะเรียกสามเหลี่ยม  $C$  ที่มีพื้นที่มากที่สุดว่าสามเหลี่ยม  $A'$

บทพิสูจน์ ให้รูป  $MNO$  และ  $PQR$  แทนด้วย  $A$  และ  $B$  ตามลำดับเป็นสามเหลี่ยมใดๆ โดยที่ด้าน  $\overline{MN}$  เป็นด้านร่วมกับ  $\overline{PQ}$  และ  $M$  อยู่ใกล้  $P$  มากกว่า  $N$  พิจารณากรณีตามมุมดังนี้

กรณีที่ 1  $O\hat{M}N = R\hat{P}Q$  และ  $O\hat{N}M \leq R\hat{Q}P$

กรณีที่ 2  $O\hat{M}N = R\hat{P}Q$  และ  $O\hat{N}M > R\hat{Q}P$

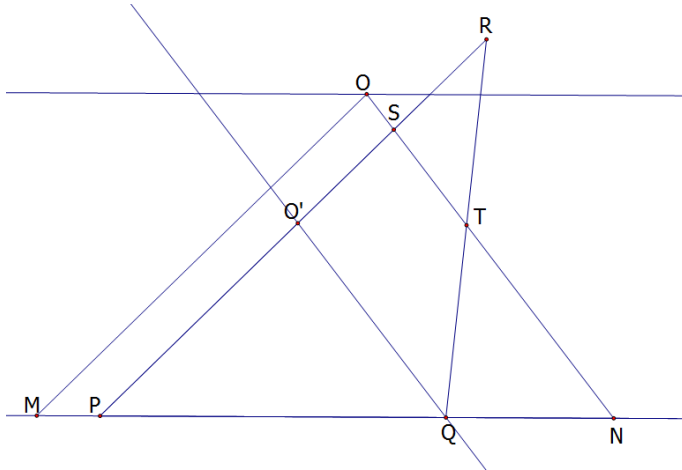
กรณีที่ 3  $O\hat{M}N < R\hat{P}Q$  และ  $O\hat{N}M \leq R\hat{Q}P$

กรณีที่ 4  $O\hat{M}N < R\hat{P}Q$  และ  $O\hat{N}M > R\hat{Q}P$

กรณีที่ 5  $O\hat{M}N > R\hat{P}Q$  และ  $O\hat{N}M \leq R\hat{Q}P$

กรณีที่ 6  $O\hat{M}N > R\hat{P}Q$  และ  $O\hat{N}M > R\hat{Q}P$

กรณีที่ 1  $O\hat{M}N = R\hat{P}Q$  และ  $O\hat{N}M \leq R\hat{Q}P$  สังเกตว่าถ้า  $O\hat{N}M = R\hat{Q}P$  แล้วสามเหลี่ยมทั้งสองจะคล้ายกัน จากบทต่อ 4.2.1 สามเหลี่ยมสองรูปใดๆ ที่คล้ายกันจะซ้อนทับกันได้สนิทเสมอ จึงชัดเจนว่าสามเหลี่ยม  $A'$  ที่เป็นรูปที่ใหญ่ที่สุดตามเงื่อนไขคือสามเหลี่ยมที่เท่ากันทุกประการกับ  $B$  นั่นเอง ดังนั้นต่อไปจะพิจารณาเมื่อ  $O\hat{N}M < R\hat{Q}P$

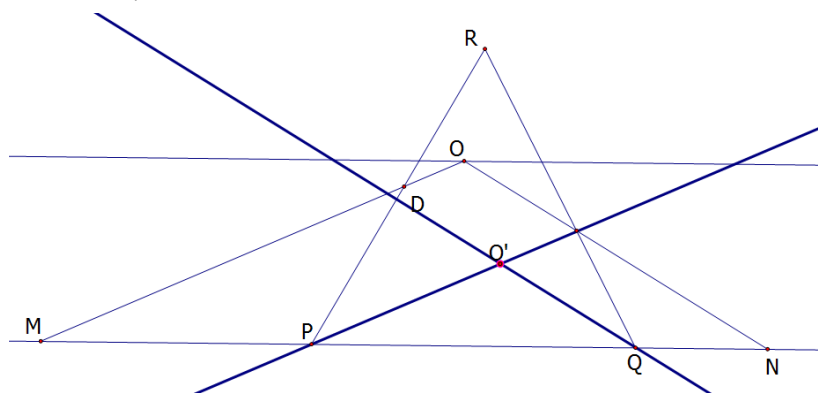


ภาพที่ 4.2.1 รูปประกอบการพิสูจน์บทตั้ง 4.2.2 กรณีที่ 1

สร้างเส้นนาน  $\overline{NO}$  ผ่าน  $Q$  ตัด  $\overline{RP}$  ที่  $O'$  สังเกตว่า  $PO'Q \sim MON$  และอยู่ภายใน  $PQR$  จากบทตั้ง 4.2.1 จะได้ว่าสามเหลี่ยมที่คล้ายกับ  $MON$  และเล็กกว่า  $PO'Q$  จะสามารถถูก  $PO'Q$  ปิดทับได้สนิท นั่นคือจะอยู่ใน  $PQR$  ด้วย ต่อไปจะแสดงว่า  $PO'Q$  เป็นรูปที่ใหญ่ที่สุดที่สอดคล้องนั่นคือเป็นสามเหลี่ยม  $A'$  นั่นเอง ให้สามเหลี่ยม  $XYZ \sim PO'Q$  เป็นสามเหลี่ยมที่ใหญ่กว่า  $PO'Q$  จากที่  $XYZ \sim PO'Q$  จะได้ว่า  $XZ > PQ$  จึงเป็นไปไม่ได้ที่  $PQR$  จะซ้อนทับ  $XYZ$  ได้สนิท จึงได้ว่า  $PO'Q$  เป็นสามเหลี่ยมที่ใหญ่ที่สุดที่สอดคล้อง

กรณีที่ 2  $\hat{OMN} = \hat{R\hat{P}Q}$  และ  $\hat{O\hat{N}M} > \hat{R\hat{Q}P}$  สังเกตว่าสามารถพิจารณาฐานสามเหลี่ยมทั้งสองสลับกันกับกรณีที่ 1 ได้

กรณีที่ 3  $\hat{OMN} < \hat{R\hat{P}Q}$  และ  $\hat{O\hat{N}M} \leq \hat{R\hat{Q}P}$  ถ้า  $\hat{O\hat{N}M} = \hat{R\hat{Q}P}$  สังเกตว่าสามารถพิจารณาได้คล้ายๆ กับกรณีที่ 1 ดังนั้นจะพิจารณาเมื่อ  $\hat{O\hat{N}M} < \hat{R\hat{Q}P}$



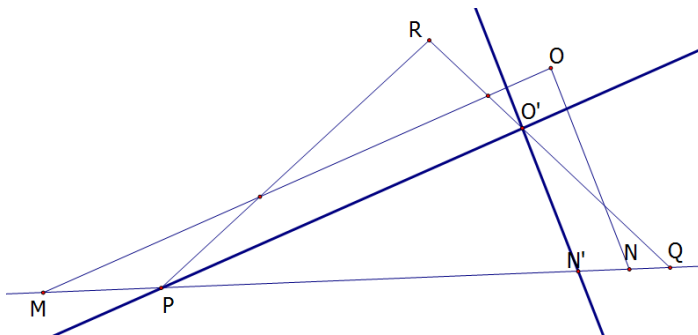
ภาพที่ 4.2.2 รูปประกอบการพิสูจน์บทตั้ง 4.2.2 กรณีที่ 3

สร้างเส้นนาน  $\overline{NO}$  ผ่าน  $Q$  และเส้นนาน  $\overline{MO}$  ผ่าน  $P$  ตัดกันที่  $O'$  สังเกตว่า  $PO'Q \sim MON$  และอยู่ภายใน  $PQR$  จากบทตั้ง 4.2.1 จะได้ว่าสามเหลี่ยมที่คล้าย

กับ  $MON$  และเล็กกว่า  $PO'Q$  จะสามารถถูก  $PO'Q$  ปิดทับได้สนิท นั่นคือจะอยู่ใน  $PQR$  ด้วย ต่อไปจะแสดงว่า  $PO'Q$  เป็นรูปที่ใหญ่ที่สุดที่สอดคล้องนั่นคือเป็นสามเหลี่ยม  $A'$  นั่นเอง

ให้สามเหลี่ยม  $XYZ \sim PO'Q$  เป็นสามเหลี่ยมที่ใหญ่กว่า  $PO'Q$  จากที่  $XYZ \sim PO'Q$  จะได้ว่า  $XZ > PQ$  จึงเป็นไปไม่ได้ที่  $PQR$  จะซ้อนทับ  $XYZ$  ได้สนิท จึงได้ว่า  $PO'Q$  เป็นสามเหลี่ยมที่ใหญ่ที่สุดที่สอดคล้อง

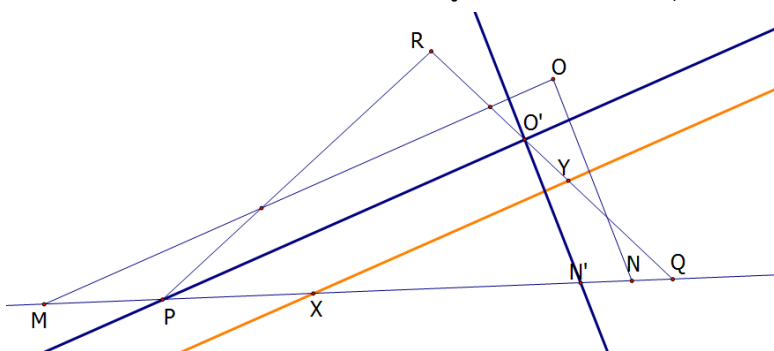
กรณีที่ 4  $O\hat{M}N < R\hat{P}Q$  และ  $O\hat{N}M > R\hat{Q}P$



ภาพที่ 4.2.3 รูปประกอบการพิสูจน์บทตั้ง 4.2.2 กรณีที่ 4 รูปที่ 1

สร้างเส้นนาน  $\overline{MO}$  ผ่าน  $P$  ตัด  $\overline{RQ}$  ที่  $O'$  จาก  $O'$  สร้างเส้นนาน  $\overline{NO}$  ตัด  $\overline{PQ}$  ที่  $N'$  สังเกตว่า  $PO'N' \sim MON$  และอยู่ภายใน  $PQR$  จากบทตั้ง 4.2.1 จะได้ว่าสามเหลี่ยมที่คล้ายกับ  $MON$  และเล็กกว่า  $PO'N'$  จะสามารถถูก  $PO'N'$  ปิดทับได้สนิท นั่นคือจะอยู่ใน  $PQR$  ด้วย ต่อไปจะแสดงว่า  $PO'Q$  เป็นรูปที่ใหญ่ที่สุดที่สอดคล้องนั่นคือเป็นสามเหลี่ยม  $A'$  นั่นเอง

จะแสดงว่าส่วนของเส้นตรงที่นาน  $\overline{MO}$  และอยู่ใน  $PQR$  จะยาวสุดเมื่อผ่านจุด  $P$

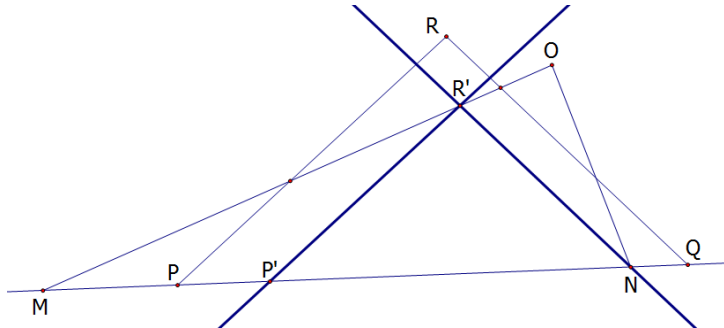


ภาพที่ 4.2.4 รูปประกอบการพิสูจน์บทตั้ง 4.2.2 กรณีที่ 4 รูปที่ 2

สร้างเส้นนาน  $\overline{MO}$  ผ่านจุด  $X$  ซึ่งอยู่ระหว่าง  $P$  กับ  $Q$  สังเกตว่า  $XYQ \sim PO'Q$  แต่  $XQ < PQ$  จึงได้ว่า  $XY < PO'$  ด้วย ในทำนองเดียวกัน หาก  $X$  อยู่บนส่วนของเส้นตรง  $\overline{PR}$  ก็จะได้ข้อสรุปในทำนองเดียวกัน ดังนั้นส่วนของ

เส้นตรงที่นาน  $\overline{MO}$  และอยู่ใน  $PQR$  จะยาวที่สุดเมื่อผ่านจุด  $P$  แสดงว่า  $PO'Q$  เป็นรูปที่ใหญ่ที่สุดที่สอดคล้อง

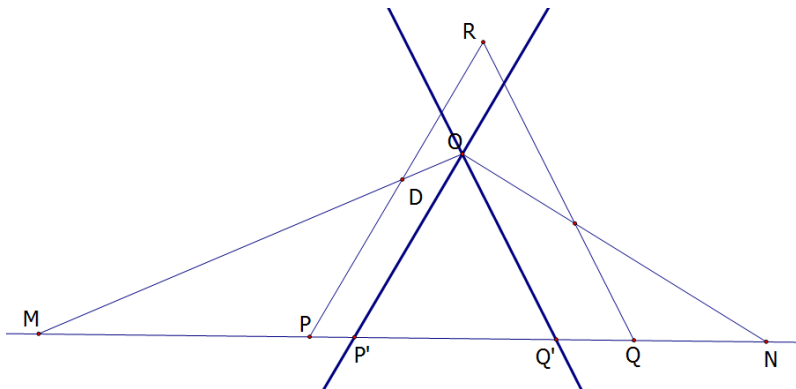
กรณีที่ 5  $O\hat{M}N > R\hat{P}Q$  และ  $O\hat{N}M \leq R\hat{Q}P$



ภาพที่ 4.2.5 รูปประกอบการพิสูจน์บทตั้ง 4.2.2 กรณีที่ 5

สร้างเส้นนาน  $\overline{QR}$  ผ่าน  $N$  ตัด  $\overline{MO}$  ที่  $R'$  จาก  $R'$  สร้างเส้นนาน  $\overline{PR}$  ตัด  $\overline{MN}$  ที่  $P'$  สังเกตว่าสามารถพิสูจน์ได้ด้วยวิธีเดียวกับกรณีที่ 4

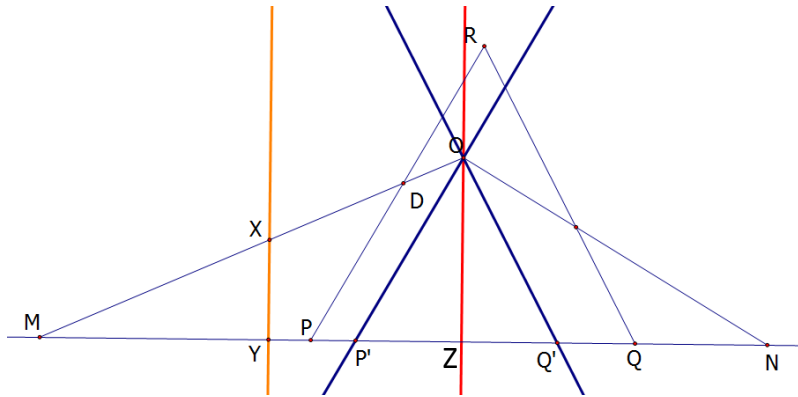
กรณีที่ 6  $O\hat{M}N > R\hat{P}Q$  และ  $O\hat{N}M > R\hat{Q}P$



ภาพที่ 4.2.6 รูปประกอบการพิสูจน์บทตั้ง 4.2.2 กรณีที่ 6 รูปที่ 1

สร้างเส้นนาน  $\overline{PR}$  และ  $\overline{QR}$  ผ่าน  $O$  ตัด  $\overline{PQ}$  ที่  $P'$  และ  $Q'$  ตามลำดับ สังเกตว่า  $P'Q'O \sim PRQ$  และอยู่ภายใน  $MON$  จากบทตั้ง 4.2.1 จะได้ว่าสามเหลี่ยมที่คล้ายกับ  $PRQ$  และเล็กกว่า  $P'Q'O$  จะสามารถถูก  $P'Q'O$  ปิดทับได้สนิท นั่นคือจะอยู่ใน  $MON$  ด้วย ต่อไปจะแสดงว่า  $PO'Q$  เป็นรูปที่ใหญ่ที่สุดที่สอดคล้องนั่นคือเป็นสามเหลี่ยม  $A'$  นั่นเอง

จะแสดงว่าส่วนของเส้นตรงที่ตั้งฉากกับ  $\overline{MN}$  และอยู่ใน  $MON$  จะยาวที่สุดเมื่อผ่านจุด  $O$



ภาพที่ 4.2.7 รูปประกอบการพิสูจน์บทตั้ง 4.2.2 กรณีที่ 6 รูปที่ 2

สร้างเส้นตั้งจากกับ  $\overline{MN}$  ผ่านจุด  $X$  ซึ่งอยู่บน  $\overline{MO}$  ตัด  $\overline{MN}$  ที่จุด  $Y$  สังเกตว่า  $XYM \sim OZM$  แต่  $MX < MO$  จึงได้ว่า  $XY < OZ$  ด้วย ในทำนองเดียวกัน หาก  $X$  อยู่บนส่วนของเส้นตรง  $\overline{NO}$  ก็จะได้ข้อสรุปในทำนองเดียวกัน นั่นคือส่วนของเส้นตรงที่ตั้งจากกับ  $\overline{MN}$  และอยู่ใน  $MON$  จะยาวสุดเมื่อผ่านจุด  $O$  หรือก็คือส่วนสูงที่ตั้งจากกับ  $\overline{MN}$  ของสามเหลี่ยมใดๆที่มีด้านร่วม  $\overline{MN}$  และอยู่ภายใต้  $MON$  จะน้อยกว่าหรือเท่ากับ  $OZ'$  จึงได้ว่า  $PO'Q$  เป็นรูปที่ใหญ่ที่สุดที่สอดคล้อง

### บทตั้ง 4.2.3

ให้รูป  $MNO$  และ  $PQR$  แทนด้วย  $A$  และ  $B$  ตามลำดับ เป็นสามเหลี่ยมใดๆที่มีด้านร่วมกัน 1 ด้าน โดยที่ด้าน  $\overline{MN}$  เป็นด้านร่วมกับ  $\overline{PQ}$  และ  $M$  อยู่ใกล้  $P$  มากกว่า  $N$  จะได้ว่ามีสามเหลี่ยม  $M'N'O' \sim MNO$  เเรียกว่าสามเหลี่ยม  $C$  ซึ่งทำให้สามเหลี่ยม  $C$  สามารถซ้อนทับสามเหลี่ยม  $B$  ได้พอดี และจะเรียกสามเหลี่ยม  $C$  ที่มีพื้นที่น้อยที่สุดว่าสามเหลี่ยม  $A''$

บทพิสูจน์ จากบทตั้ง 4.2.2 จะได้ว่าบทตั้ง 4.2.3 เป็นจริง □

ต่อไปจะอธิบายกระบวนการหาตำแหน่งที่ทำให้เกิดพื้นที่ซ้อนทับมากที่สุดสำหรับสามเหลี่ยมสองรูปที่ไม่คล้ายกัน รวมถึงบทพิสูจน์ในกรณีต่างๆ

จาก บทตั้ง 4.2.1 สังเกตว่าหากพิจารณาสามเหลี่ยมรูป  $MNO$  และ  $PQR$  เป็นสามเหลี่ยมที่คล้ายกัน โดยที่ด้าน  $\overline{MN}$  เป็นด้านร่วมกับ  $\overline{PQ}$  และ  $M$  อยู่ใกล้  $P$  มากกว่า  $N$  โดยที่  $O\hat{M}N = R\hat{P}Q$  และ  $O\hat{N}M = R\hat{Q}P$  เเลื่อนขานสามเหลี่ยมรูปหนึ่งขานกับด้านร่วมจน  $\overline{MO}$  ซ้อนทับ  $\overline{PR}$  สามเหลี่ยมทั้งสองจะมีด้านร่วม 2 ด้านและมุมร่วม 1 มุมซึ่งทำให้ซ้อนทับกันได้พอดี นั่นคือเกิดพื้นที่ซ้อนทับสูงสุดเมื่อด้าน  $\overline{MN}$  เป็นด้านร่วมกับ  $\overline{PQ}$  ดังนั้นกระบวนการที่จะกล่าวต่อไปนี้จะไม่พิจารณากรณีที่  $O\hat{M}N = R\hat{P}Q$  และ  $O\hat{N}M = R\hat{Q}P$

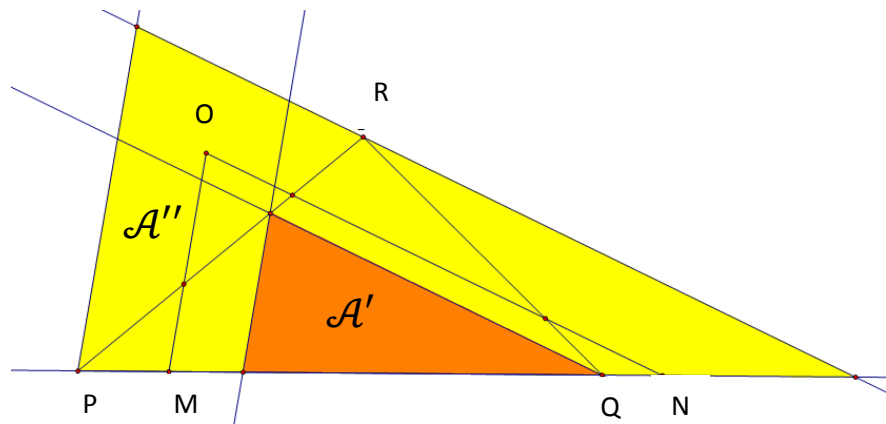
### กระบวนการ 4.2.1

ให้รูป  $MNO$  และ  $PQR$  แทนด้วย  $\mathcal{A}$  และ  $\mathcal{B}$  ตามลำดับเป็นสามเหลี่ยมใดๆซึ่งซ้อนทับกันไม่สนิทและมีด้านร่วมกัน 1 ด้าน โดยที่ด้าน  $\overline{MN}$  เป็นด้านร่วมกับ  $\overline{PQ}$  และ  $M$  อยู่ไกล  $P$  มากกว่า  $N$  โดยมีเงื่อนไขดังนี้

- ถ้า  $O\hat{M}N = R\hat{P}Q$  และ  $O\hat{N}M \neq R\hat{Q}P$
- ถ้า  $O\hat{N}M = R\hat{Q}P$  และ  $O\hat{M}N \neq R\hat{P}Q$

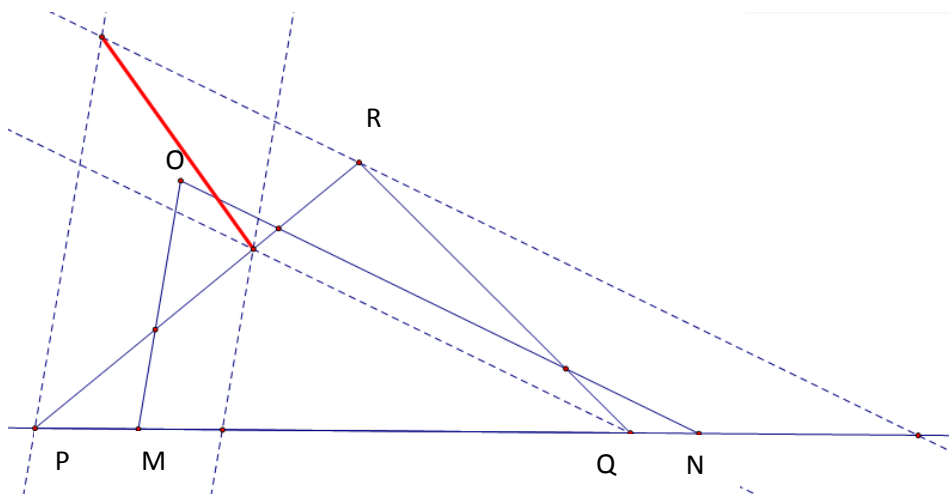
จะมีกระบวนการหาตำแหน่งที่ทำให้เกิดพื้นที่ซ้อนทับมากที่สุดดังนี้

1. สร้างสามเหลี่ยม  $\mathcal{A}'$  และ  $\mathcal{A}''$



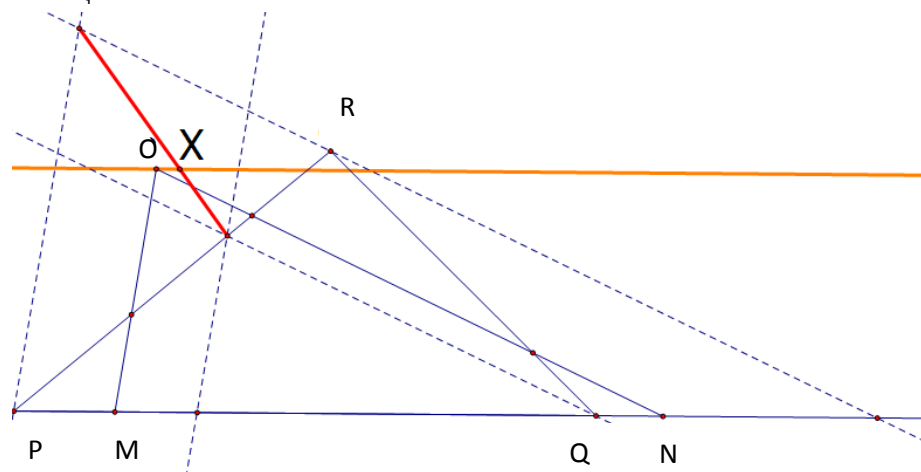
ภาพที่ 4.2.8 รูปประกอบกระบวนการ 4.2.1 ขั้นที่ 1

2. ลากเส้นเชื่อมจุดยอดของ  $\mathcal{A}'$  และ  $\mathcal{A}''$  ที่ไม่ได้อยู่บนแนวเส้นตรงเดียวกันกับด้านร่วมของสามเหลี่ยม  $\mathcal{A}$  และ  $\mathcal{B}$



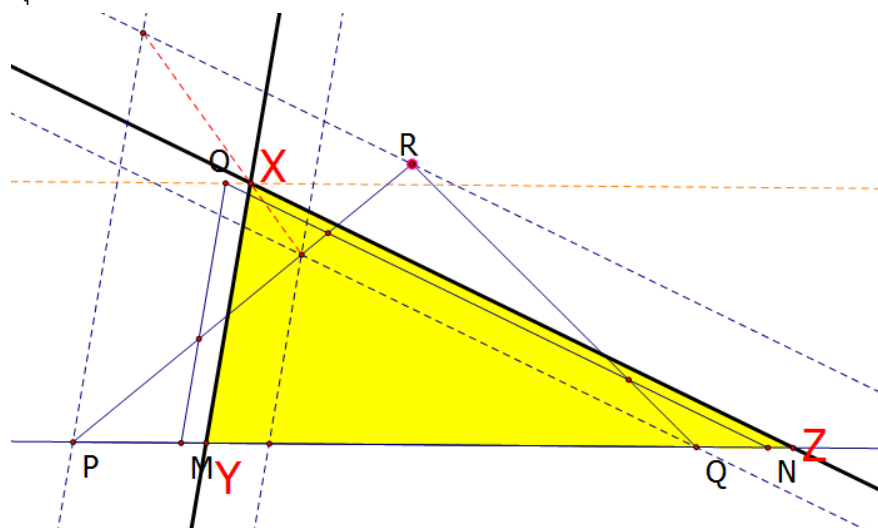
ภาพที่ 4.2.9 รูปประกอบกระบวนการ 4.2.1 ขั้นที่ 2

3. สร้างเส้นนานด้านร่วมผ่านจุดยอดที่ไม่ได้อยู่บนด้านร่วมของ  $\mathcal{A}$  ตัดกับส่วนเส้นตรงในข้อ 2 ที่จุด  $X$



ภาพที่ 4.2.10 รูปประกอบกระบวนการ 4.2.1 ขั้นที่ 3

4. จากจุด  $X$  ลากเส้นนานกับด้านของสามเหลี่ยม  $\mathcal{A}$  ตัดด้านร่วมที่  $Y$  และ  $Z$



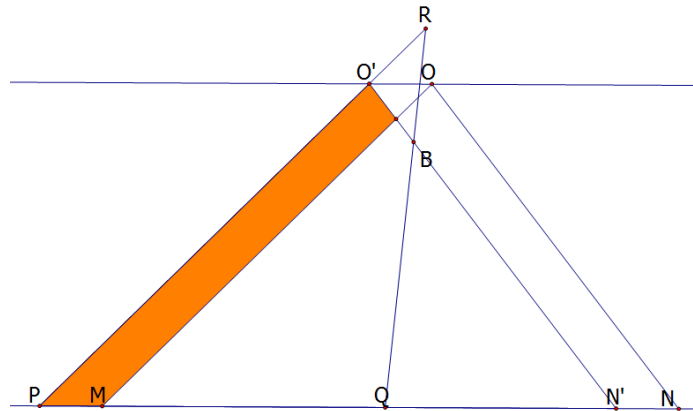
ภาพที่ 4.2.11 รูปประกอบกระบวนการ 4.2.1 ขั้นที่ 4

5. จำกบทสร้างทางเรขาคณิตจะเกิดรูป  $XYZ$  เรียกว่าสามเหลี่ยม  $C$  ซึ่งเท่ากันทุกประการกับสามเหลี่ยม  $\mathcal{A}$
6. จะได้ว่าตำแหน่งของสามเหลี่ยม  $C$  จะมีพื้นที่ช้อนหักกับ  $\mathcal{B}$  หากที่สุดเมื่อมีด้าน  $\overline{MN}$  เป็นด้านร่วมกับ  $\overline{PQ}$

บทพิสูจน์ พิจารณารูปสามเหลี่ยมตามเงื่อนไขเบื้องต้น

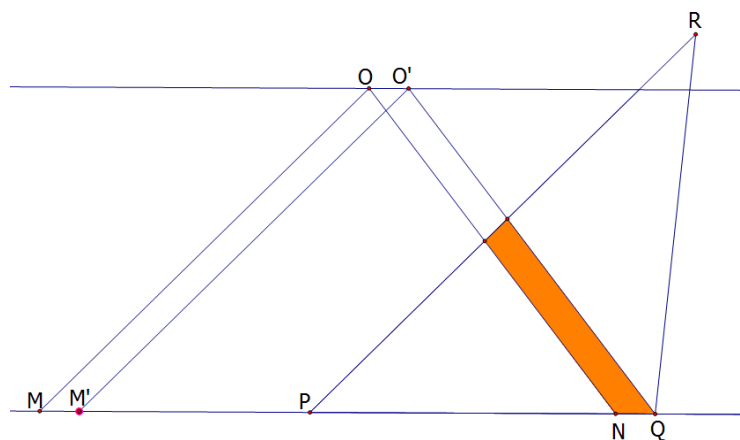
โดยไม่เสียนัยทั่วไปกำหนดให้  $O\hat{M}N \leq R\hat{P}Q$  กล่าวคือถ้า  $O\hat{M}N \geq R\hat{P}Q$  จะพิจารณาโดยยึด  $\mathcal{A}$  เป็นหลัก แล้วสร้าง  $\mathcal{B}'$  กับ  $\mathcal{B}''$  และทำการกระบวนการเดิม

ถ้า  $O\hat{M}N = R\hat{P}Q$  จากข้อกำหนดดังนั้น  $O\hat{N}M \neq R\hat{Q}P$  จากบทตั้ง 4.2.2 และ 4.2.3 สังเกตได้โดยง่ายว่ารูป  $A'$  และ  $A''$  จะมีด้าน  $\overline{MO}$  ซ้อนทับ  $\overline{PR}$  นั่นคือ  $X$  จะอยู่บน  $\overline{MO}$  ด้วย ดังนั้นจะพิสูจน์ว่าพื้นที่ช้อนทับจะมากที่สุดเมื่อด้าน  $\overline{MO}$  ซ้อนทับ  $\overline{PR}$  โดยไม่เสียนัยทั่วไปกำหนดให้  $O\hat{N}M < R\hat{Q}P$  เนื่องจากหาก  $O\hat{N}M > R\hat{Q}P$  จะสามารถพิจารณาโดยยมองรูป  $MNO$  และ  $PQR$  กลับกัน ขั้นแรกจะพิสูจน์ว่าพื้นที่ช้อนทับมากที่สุดจะเกิดเมื่อ  $P$  อยู่บน  $M'$



ภาพที่ 4.2.12 รูปประกอบที่พิสูจน์กระบวนการ 4.2.1 เมื่อ  $O\hat{M}N = R\hat{P}Q$  รูปที่ 1

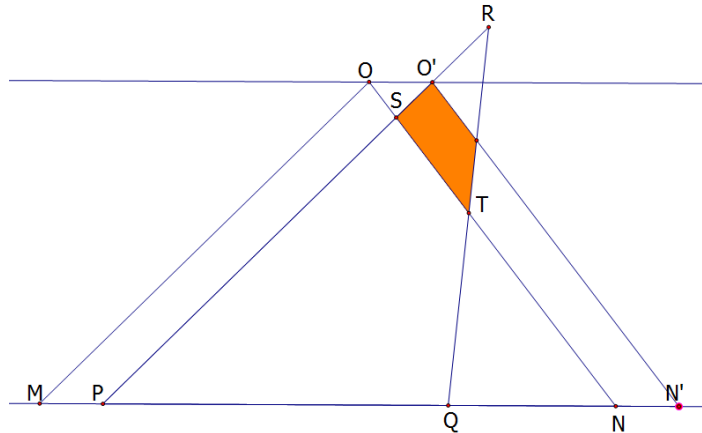
พิจารณาสามเหลี่ยม  $MNO$  มี  $M$  อยู่ระหว่าง  $P, Q$  และสามเหลี่ยม  $M'N'O'$  เท่ากันทุกประการกับ  $MNO$  มี  $O'$  อยู่บน  $\overline{PR}$  ดังภาพ สังเกตได้โดยง่ายว่าพื้นที่ช้อนทับของ  $PQR$  กับ  $M'N'O'$  มากกว่า  $PQR$  กับ  $MNO$



ภาพที่ 4.2.13 รูปประกอบที่พิสูจน์กระบวนการ 4.2.1 เมื่อ  $O\hat{M}N = R\hat{P}Q$  รูปที่ 2

พิจารณาสามเหลี่ยม  $MNO$  มี  $N$  อยู่ระหว่าง  $P, Q$  และสามเหลี่ยม  $M'N'O'$  เท่ากันทุกประการกับ  $MNO$  มี  $N'$  อยู่บน  $Q$  ดังภาพ สังเกตได้โดยง่ายว่าพื้นที่ช้อนทับของ  $PQR$  กับ  $M'N'O'$  มากกว่า  $PQR$  กับ  $MNO$

ดังนั้นจึงสรุปได้ว่าพื้นที่ช้อนทับมากที่สุดจะเกิดเมื่อ  $P, Q$  อยู่ระหว่างหรือบน  $M, N$



ภาพที่ 4.2.14 รูปประกอบบทพิสูจน์กระบวนการ 4.2.1 เมื่อ  $O\hat{M}N = R\hat{P}Q$  รูปที่ 3

พิจารณารูปสามเหลี่ยม  $MNO$  ที่  $P, Q$  อยู่ระหว่างหรือบน  $M, N$  และสามเหลี่ยม  $M'N'O'$  เท่ากันทุกประการกับ  $MNO$  มี  $M'$  อยู่บนจุด  $P$  ดังภาพ สังเกตได้โดยง่ายว่าพื้นที่ซ้อนทับของ  $PQR$  กับ  $M'N'O'$  大于  $PQR$  กับ  $MNO$   
ดังนั้นจึงสรุปได้ว่าพื้นที่ซ้อนทับมากที่สุดจะเกิดเมื่อ  $P$  อยู่บน  $M'$

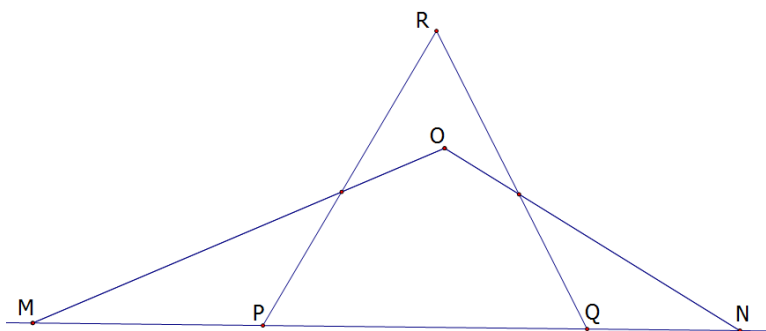
ถ้า  $O\hat{M}N < R\hat{P}Q$  ในกรณีที่  $M\hat{N}O = R\hat{Q}P$  สามารถพิจารณาได้เหมือนกรณีที่  $O\hat{M}N = R\hat{P}Q$  ดังนั้นแบ่งออกเป็น 2 กรณีใหญ่โดยพิจารณาจากมุมของสามเหลี่ยมทั้งสอง ดังนี้

กรณีที่ 1  $O\hat{N}M < R\hat{Q}P$

กรณีที่ 2  $O\hat{N}M > R\hat{Q}P$

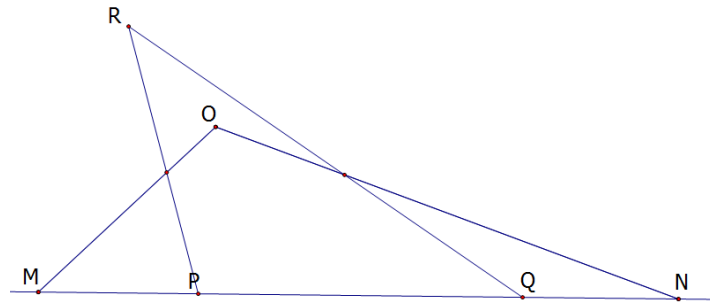
กรณีที่ 1  $O\hat{N}M < R\hat{Q}P$  แบ่งออกได้เป็น 5 กรณีอ่อย ได้แก่

กรณีที่ 1.1  $O\hat{N}M, O\hat{M}N, R\hat{Q}P, R\hat{P}Q \leq 90^\circ$



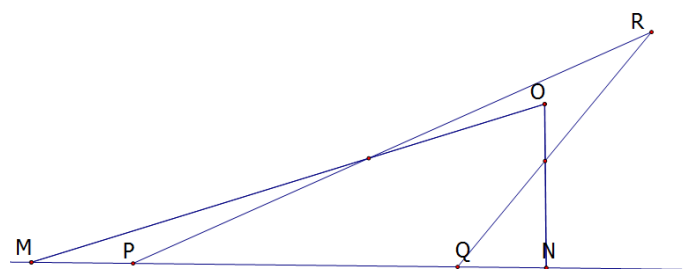
ภาพที่ 4.2.15 ตัวอย่างรูปกระบวนการ 4.2.1 กรณีที่ 1.1

กรณีที่ 1.2  $O\hat{N}M, O\hat{M}N, R\hat{Q}P \leq 90^\circ, R\hat{P}Q \geq 90^\circ$



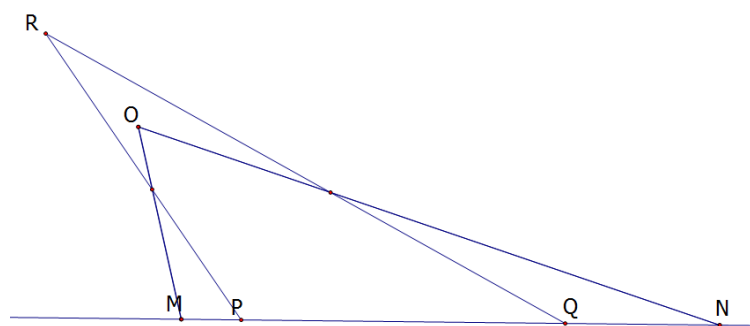
ภาพที่ 4.2.16 ตัวอย่างรูปกระบวนการ 4.2.1 กรณีที่ 1.2

กรณีที่ 1.3  $O\hat{N}M, O\hat{M}N, R\hat{P}Q \leq 90^\circ, R\hat{Q}P \geq 90^\circ$



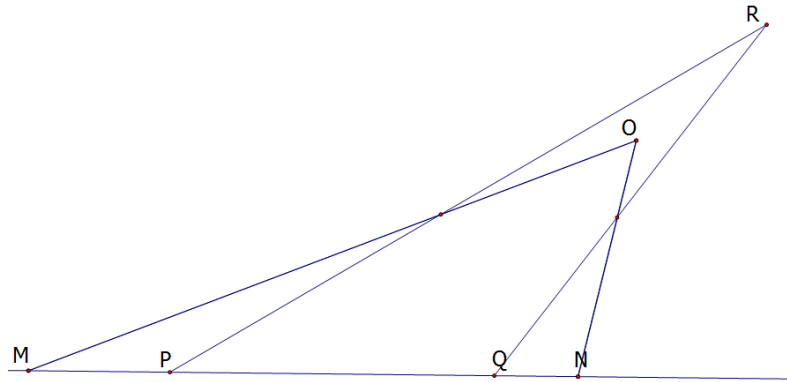
ภาพที่ 4.2.17 ตัวอย่างรูปกระบวนการ 4.2.1 กรณีที่ 1.3

กรณีที่ 1.4  $O\hat{N}M, R\hat{Q}P \leq 90^\circ, R\hat{P}Q, O\hat{M}N \geq 90^\circ$



ภาพที่ 4.2.18 ตัวอย่างรูปกระบวนการ 4.2.1 กรณีที่ 1.4

กรณีที่ 1.5  $O\hat{N}M, R\hat{Q}P \geq 90^\circ, R\hat{P}Q, O\hat{M}N \leq 90^\circ$

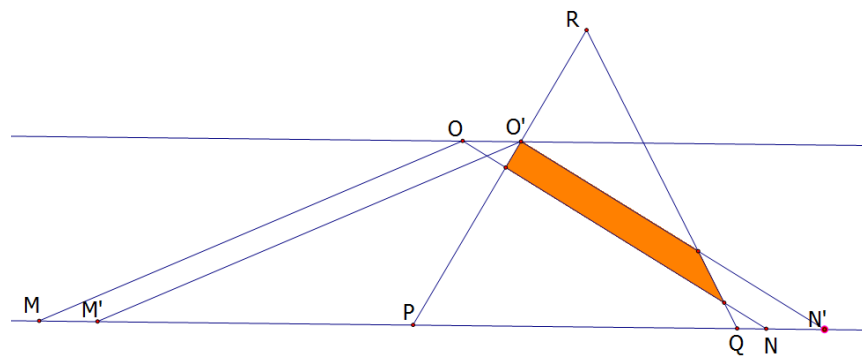


ภาพที่ 4.2.19 ตัวอย่างรูปกระบวนการ 4.2.1 กรณีที่ 1.5

สังเกตว่ากรณีที่ 1.3 เมื่อสะท้อนทั้งหมดจะเข้ากับกรณีที่ 1.2 ได้ นั่นคือสามารถทำในทำนองเดียวกันได้ ดังนั้นพิจารณาเพียงแค่กรณีที่ 1.2 ในทำนองเดียวกันจะไม่พิจารณากรณีที่ 1.5 เพราะสามารถทำในทำนองเดียวกันกับกรณีที่ 1.4 ได้

กรณีที่ 1.1  $O\hat{N}M, O\hat{M}N, R\hat{Q}P, R\hat{P}Q \leq 90^\circ$

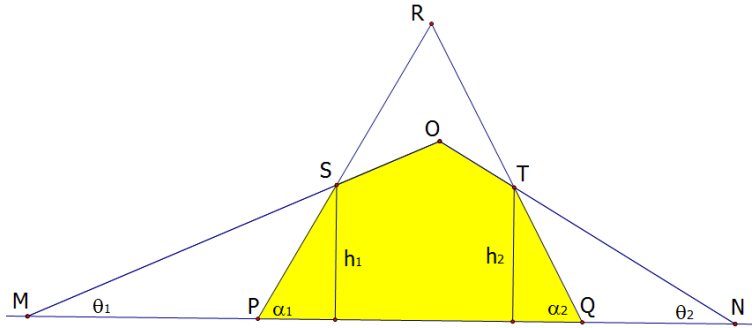
ขั้นแรกจะพิสูจน์ว่าทำແเน่งของ  $A$  ที่ทำให้พื้นที่ช่องทับสูงสุดจะมีจุด  $O$  อยู่บนด้านหรือภายใน  $B$



ภาพที่ 4.2.20 รูปประกอบพิสูจน์กระบวนการ 4.2.1 กรณีที่ 1.1 รูปที่ 1

พิจารณาสามเหลี่ยม  $MNO$  มี  $O$  อยู่นอก  $PQR$  ไปทางด้าน  $PR$  สามเหลี่ยม  $M'N'O'$  เท่ากันทุกประการกับ  $MNO$  มี  $O'$  อยู่บน  $PR$  ดังภาพ สังเกตได้โดยง่ายว่าพื้นที่ช่องทับของ  $PQR$  กับ  $M'N'O'$  大于  $PQR$  กับ  $MNO$  ในทำนองเดียวกันเมื่อ  $O$  อยู่นอก  $PQR$  ไปทางด้าน  $QR$  ดังนั้นจึงสรุปได้ว่า ทำແเน่งของ  $A$  ที่ทำให้พื้นที่ช่องทับสูงสุดจะมีจุด  $O$  อยู่บนด้านหรือภายใน  $B$

ต่อไปจะหาทำແນ່ງທີ່ກຳໄຫ້ພື້ນທີ່ຂອນທັນນັ້ນຄື່ອຟິ່ນທີ່ສີເໜີລືອງໃນກາພມີຄ່ານາກທີ່ສຸດ



ກາພທີ 4.2.21 ຮູບປະກອບທິສົງຈົນກະບວນກາຣ 4.2.1 ກຮົມທີ 1.1 ຮູບທີ 2

ກຳທັນດີໃຫ້  $\overline{MO}$  ຕັດກັບ  $\overline{PR}$  ທີ່  $S$  ແລະ  $\overline{NO}$  ຕັດກັບ  $\overline{QR}$  ທີ່  $T$  ດັ່ງກາພ  
ຈາກ  $S$  ແລະ  $T$  ລາກເສັ້ນຕຽນມາຕັ້ງຈາກກັບ  $\overline{MN}$  ມີຄວາມຍາວ້າ  $h_1, h_2$  ຕາມລຳດັບ

ກຳທັນດີໃຫ້  $O\hat{M}N = \theta_1, O\hat{N}M = \theta_2, R\hat{P}Q = \alpha_1, R\hat{Q}P = \alpha_2$

ກຳທັນດີໃຫ້  $m = \cot \theta_1 - \cot \alpha_1, n = \cot \theta_2 - \cot \alpha_2$

ແລະ  $p = MN - PQ = MP + QN$  ເນື່ອຈາກ  $MN, PQ$  ເປັນຄວາມຍາວ້າຮຸນ  
ຂອງສາມເຫຼືຍມທັງສອງ ດັ່ງນັ້ນ  $p$  ເປັນຄ່າຄົງທີ່ເສມອທຸກຕຳແໜ່ງຂອງສາມເຫຼືຍມ  $A$   
ແລະຈາກຕຽໂກນມີຕິຈະໄດ້ວ່າ

$$MP = \cot \theta_1 h_1 - \cot \alpha_1 h_1 = mh_1$$

ແລະ

$$\begin{aligned} QN &= \cot \theta_2 h_2 - \cot \alpha_2 h_2 = nh_2 \\ \therefore p &= mh_1 + nh_2 \end{aligned}$$

ຈຶ່ງໄດ້ວ່າ

$$h_2 = \frac{p - mh_1}{n}$$

ເນື່ອຈາກພື້ນທີ່ສາມເຫຼືຍມ  $A$  ມີຄ່າຄົງທີ່ ແລະຈາກ

$$[PQTOS] = [MNO] - [MPS] - [NQT]$$

ດັ່ງນັ້ນກາຮາ  $[PQTOS]$  ທີ່ມາກທີ່ສຸດ ສມມູລກັບກາຮາ  $k = [MPS] + [NQT]$   
ທີ່ນ້ອຍທີ່ສຸດ

$$\text{พิจารณา } [MPS] = \frac{1}{2}(MP)h_1 = \frac{1}{2}mh_1^2$$

$$\text{ในทำนองเดียวกันได้ว่า } [NQT] = \frac{1}{2}(NQ)h_2 = \frac{1}{2}nh_2^2$$

ดังนั้น

$$k = [MPS] + [NQT] = \frac{1}{2}mh_1^2 + \frac{1}{2}nh_2^2$$

$$\text{จาก } h_2 = \frac{p - mh_1}{n} \text{ จะได้ว่า}$$

$$\begin{aligned} k &= \frac{1}{2}mh_1^2 + \frac{1}{2}n\left(\frac{p - mh_1}{n}\right)^2 \\ &= \frac{1}{2}\left(mh_1^2 + \left(\frac{p^2 - 2pmh_1 + m^2h_1^2}{n}\right)\right) \\ &= \frac{1}{2}\left(\frac{mnh_1^2 + p^2 - 2pmh_1 + m^2h_1^2}{n}\right) \\ &= \frac{1}{2n}\left((m^2 + mn)h_1^2 - (2pm)h_1 + p^2\right) \end{aligned}$$

จะได้  $k$  ในรูปของตัวแปร  $h_1$  โดยที่  $m, n, p$  เป็นค่าคงที่ ต้องการหาค่าต่ำสุดของ  $k$

$$\text{สังเกตว่า } k'' = \frac{d^2k}{dh_1^2} = \frac{m^2 + mn}{n} > 0 \text{ นั่นคือ } k \text{ มีค่าต่ำสุด}$$

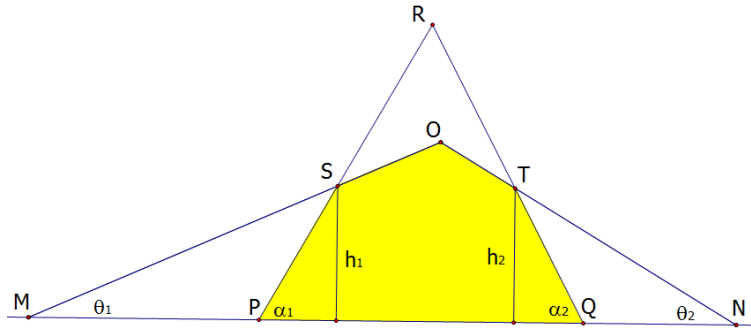
$$\text{พิจารณา } k' = \frac{dk}{dh_1} = \frac{1}{2n}(2(m^2 + mn)h_1 - 2pm) = 0$$

$$\text{จะได้ว่า } h_1 = \frac{p}{n+m} \text{ และเมื่อแทนค่ากลับจะได้ว่า}$$

$$h_1 = h_2 = \frac{p}{m+n}$$

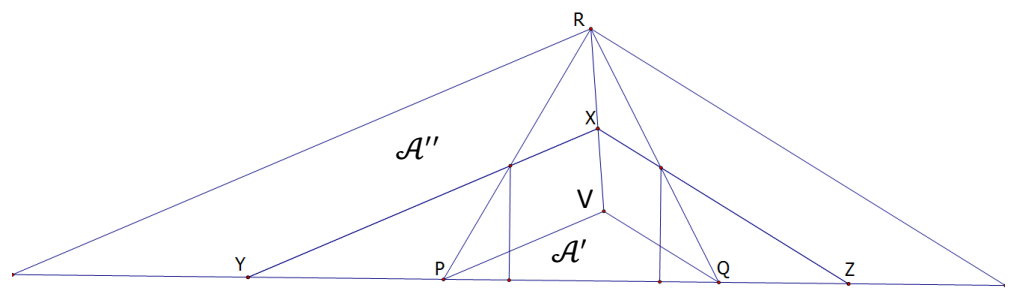
$$\text{เมื่อ } m = \cot \theta_1 - \cot \alpha_1, n = \cot \theta_2 - \cot \alpha_2, p = MN - PQ$$

เป็นตำแหน่งที่ทำให้พื้นที่  $k$  มีค่าต่ำสุด นั่นคือพื้นที่ซ้อนทับกันมากที่สุด ต่อไปจะแสดงว่าตำแหน่งดังกล่าวเป็นตำแหน่งเดียวกับสามเหลี่ยม  $C$



ภาพที่ 4.2.22 รูปประกอบบทพิสูจน์กระบวนการ 4.2.1 กรณีที่ 1.1 รูปที่ 3

สร้างรูปตามกระบวนการ 1 ดังภาพ



ภาพที่ 4.2.23 รูปประกอบบทพิสูจน์กระบวนการ 4.2.1 กรณีที่ 1.1 รูปที่ 4

จาก  $\overline{ST} \parallel \overline{MN}$  จาก  $h_1 = h_2$  จะได้ว่า  $\overline{ST} \parallel \overline{MN}$  ดังนั้น

$\triangle STO \sim \triangle MNO \sim \triangle PQV$  และจาก  $R, S, P$  และ  $R, T, Q$  อยู่บนเส้นตรง

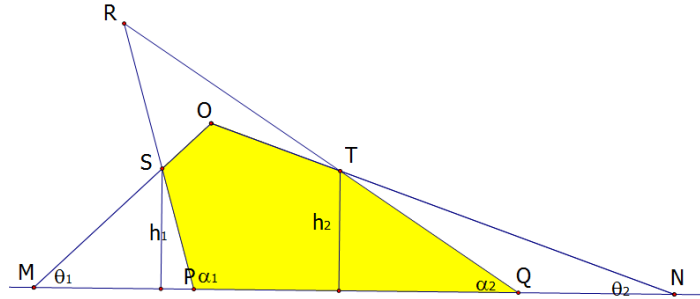
เดียวกัน จะได้ว่า  $R, X, V$  อยู่บนเส้นตรงเดียวกันด้วย

นั่นคือสามเหลี่ยมที่สร้างตามกระบวนการดังกล่าวเป็นตัวແහນ່ງທີ່ທຳໃຫ້ພື້ນທີ່  
ຂ້ອນທັບກັນນາກທີ່ສຸດ

กรณีที่ 1.2  $O\hat{N}M, O\hat{M}N, R\hat{Q}P \leq 90^\circ, R\hat{P}Q \geq 90^\circ$

ในทำนองเดียวกับกรณีที่ 1.1 สามารถพิสูจน์ได้ว่าตัวແහນ່ງຂອງ  $\mathcal{A}$  ທີ່ທຳໃຫ້ພື້ນທີ່  
ຂ້ອນທັບສູງສຸດຈະມີຈຸດ  $O$  อยู่บนດ້ານທີ່ກົດຕະກິດໃນ  $\mathcal{B}$

ต่อไปจะหาตัวແහນ່ງທີ່ທຳໃຫ້ພື້ນທີ່ຂ້ອນທັບນັ້ນຄື່ອພື້ນທີ່ສີເຫຼືອງໃນກາພນີ້ມີຄໍານາກທີ່ສຸດ



ภาพที่ 4.2.24 รูปประกอบพิสูจน์กระบวนการ 4.2.1 กรณีที่ 1.2

กำหนดให้  $\overline{MO}$  ตัดกับ  $\overline{PR}$  ที่  $S$  และ  $\overline{NO}$  ตัดกับ  $\overline{QR}$  ที่  $T$  ดังภาพ

จาก  $S$  และ  $T$  ลากเส้นตรงมาตั้งฉากกับ  $\overline{MN}$  มีความยาว  $h_1, h_2$  ตามลำดับ

กำหนดให้  $\hat{OMN} = \theta_1, \hat{ONM} = \theta_2, \hat{R\hat{P}Q} = \alpha_1, \hat{R\hat{Q}P} = \alpha_2$

กำหนดให้  $m = \cot \theta_1 - \cot \alpha_1, n = \cot \theta_2 - \cot \alpha_2$

และ  $p = MN - PQ = MP + QN$  เนื่องจาก  $MN, PQ$  เป็นความยาวฐานของสามเหลี่ยมทั้งสอง ดังนั้น  $p$  เป็นค่าคงที่เสมอทุกตำแหน่งของสามเหลี่ยม  $A$  และจากตรีgonometri จะได้ว่า

$$MP = \cot \theta_1 h_1 + \cot(180^\circ - \alpha_1) h_1 = (\cot \theta_1 - \cot \alpha_1) h_1 = mh_1$$

และ

$$\begin{aligned} QN &= \cot \theta_2 h_2 - \cot \alpha_2 h_2 = nh_2 \\ \therefore p &= mh_1 + nh_2 \end{aligned}$$

จึงได้ว่า

$$h_2 = \frac{p - mh_1}{n}$$

ทำในทำนองเดียวกับกรณีที่ 1.1 จะได้ว่า

$$h_1 = h_2 = \frac{p}{m+n}$$

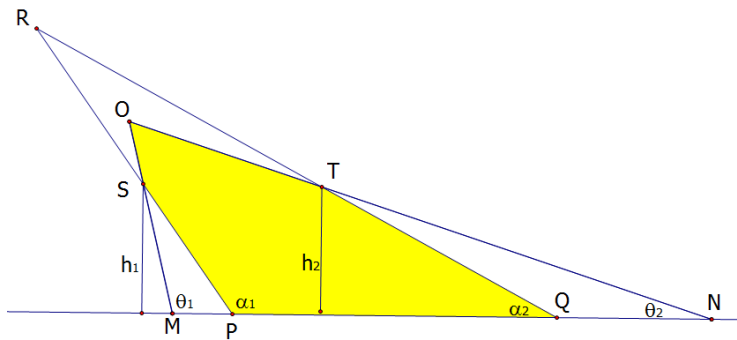
เมื่อ  $m = \cot \theta_1 - \cot \alpha_1, n = \cot \theta_2 - \cot \alpha_2, p = MN - PQ$

เป็นตำแหน่งที่ทำให้พื้นที่  $k$  มีค่าต่ำสุด นั่นคือพื้นที่ซ้อนทับกันมากที่สุด

ในทำนองเดียวกับกรณีที่ 1.1 จะได้ว่า ตำแหน่งตั้งกล่าวเป็นตำแหน่งเดียวกับ  
สามเหลี่ยม  $C$

กรณีที่ 1.4  $O\hat{N}M, R\hat{Q}P \leq 90^\circ, R\hat{P}Q, O\hat{M}N \geq 90^\circ$

ในทำนองเดียวกับกรณีที่ 1.1 สามารถพิสูจน์ได้ว่า ตำแหน่งของ  $A$  ที่ทำให้พื้นที่  
ช้อนทับสูงสุดจะมีจุด  $O$  อยู่บนด้านหรือภายใน  $B$   
ต่อไปจะหาตำแหน่งที่ทำให้พื้นที่ช้อนทับนั้นคือพื้นที่สีเหลืองในภาพมีค่ามากที่สุด



ภาพที่ 4.2.25 รูปประกอบพิสูจน์กระบวนการ 4.2.1 กรณีที่ 1.4

กำหนดให้  $\overline{MO}$  ตัดกับ  $\overline{PR}$  ที่  $S$  และ  $\overline{NO}$  ตัดกับ  $\overline{QR}$  ที่  $T$  ดังภาพ

จาก  $S$  และ  $T$  ลากเส้นตรงมาตั้งฉากกับ  $\overline{MN}$  มีความยาว  $h_1, h_2$  ตามลำดับ

กำหนดให้  $O\hat{M}N = \theta_1, O\hat{N}M = \theta_2, R\hat{P}Q = \alpha_1, R\hat{Q}P = \alpha_2$

กำหนดให้  $m = \cot \theta_1 - \cot \alpha_1, n = \cot \theta_2 - \cot \alpha_2$

และ  $p = MN - PQ = MP + QN$  เนื่องจาก  $MN, PQ$  เป็นความยาวฐาน  
ของสามเหลี่ยมทั้งสอง ดังนั้น  $p$  เป็นค่าคงที่เสมอทุกตำแหน่งของสามเหลี่ยม  $A$   
และจากตรีโกณมิติจะได้ว่า

$$MP = \cot(180^\circ - \alpha_1)h_1 - \cot(180^\circ - \theta_1)h_1 = (\cot \theta_1 - \cot \alpha_1)h_1 = mh_1$$

และ

$$QN = \cot \theta_2 h_2 - \cot \alpha_2 h_2 = nh_2$$

$$\therefore p = mh_1 + nh_2$$

จึงได้ว่า

$$h_2 = \frac{p - mh_1}{n}$$

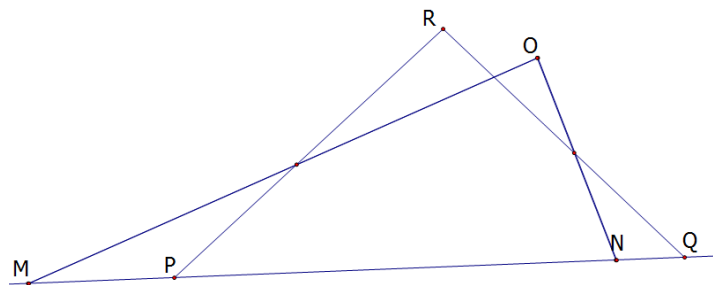
ทำในทำนองเดียวกับกรณีที่ 1.1 จะได้ว่า

$$h_1 = h_2 = \frac{p}{m+n}$$

เมื่อ  $m = \cot \theta_1 - \cot \alpha_1, n = \cot \theta_2 - \cot \alpha_2, p = MN - PQ$   
 เป็นตัวแหน่งที่ทำให้พื้นที่  $k$  มีค่าต่ำสุด นั่นคือพื้นที่ซ้อนทับกันมากที่สุด  
 ในทำนองเดียวกับกรณีที่ 1.1 จะได้ว่าตัวแหน่งดังกล่าวเป็นตัวแหน่งเดียวกับ  
 สามเหลี่ยม  $C$

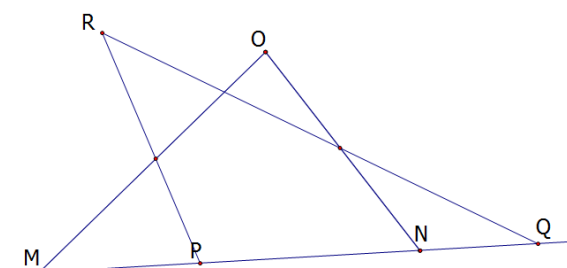
กรณีที่ 2  $O\hat{N}M > R\hat{Q}P$  โดยไม่เสียนัยทั่วไปให้  $O$  ใกล้  $N$  มากกว่า  $M$  เนื่องจากหากให้  $O$  ใกล้  $M$  มากกว่า  $N$  จะสามารถพิจารณาแบบทั่วไปได้ และแบ่งออกได้เป็น 6 กรณีย่อย ได้แก่

กรณีที่ 2.1  $O\hat{N}M, O\hat{M}N, R\hat{Q}P, R\hat{P}Q \leq 90^\circ$



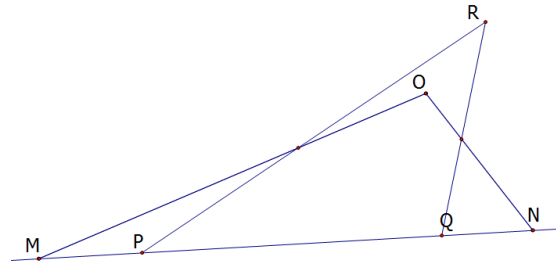
ภาพที่ 4.2.26 ตัวอย่างรูปกระบวนการ 4.2.1 กรณีที่ 2.1

กรณีที่ 2.2  $O\hat{N}M, O\hat{M}N, R\hat{Q}P \leq 90^\circ, R\hat{P}Q \geq 90^\circ$



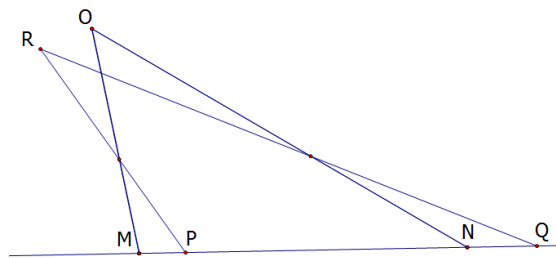
ภาพที่ 4.2.27 ตัวอย่างรูปกระบวนการ 4.2.1 กรณีที่ 2.2

กรณีที่ 2.3  $O\hat{N}M, O\hat{M}N, R\hat{P}Q \leq 90^\circ, R\hat{Q}P \geq 90^\circ$



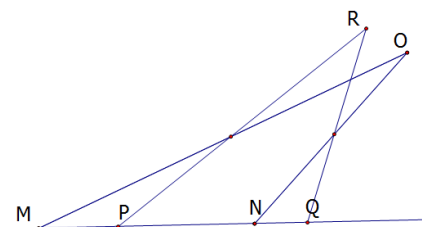
ภาพที่ 4.2.28 ตัวอย่างรูปกระบวนการ 4.2.1 กรณีที่ 2.3

กรณีที่ 2.4  $O\hat{N}M, R\hat{Q}P \leq 90^\circ, R\hat{P}Q, O\hat{M}N \geq 90^\circ$



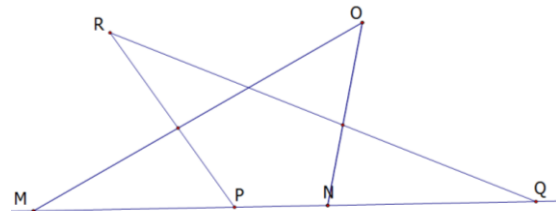
ภาพที่ 4.2.29 ตัวอย่างรูปกระบวนการ 4.2.1 กรณีที่ 2.4

กรณีที่ 2.5  $O\hat{N}M, R\hat{Q}P \geq 90^\circ, R\hat{P}Q, O\hat{M}N \leq 90^\circ$



ภาพที่ 4.2.30 ตัวอย่างรูปกระบวนการ 4.2.1 กรณีที่ 2.5

กรณีที่ 2.6  $O\hat{N}M, R\hat{P}Q \geq 90^\circ, R\hat{Q}P, O\hat{M}N \leq 90^\circ$

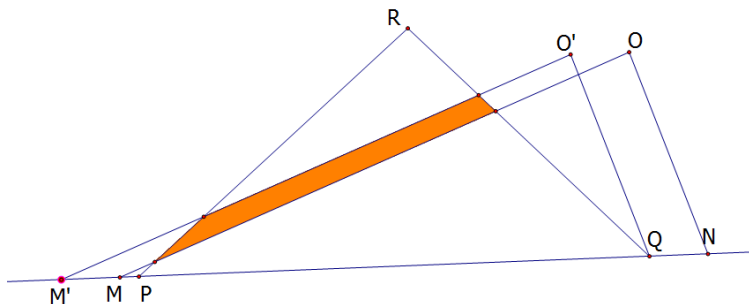


ภาพที่ 4.2.31 ตัวอย่างรูปกระบวนการ 4.2.1 กรณีที่ 2.6

สังเกตว่ากรณีที่ 2.3 เมื่อจะหันทั้งหมดจะเข้ากับกรณีที่ 2.2 ได้ นั่นคือสามารถทำในทำนองเดียวกันได้ ดังนั้นพิจารณาเพียงแค่กรณีที่ 2.2 ในทำนองเดียวกันจะไม่พิจารณากรณีที่ 2.5 เพราะสามารถทำในทำนองเดียวกันกับกรณีที่ 2.4 ได้

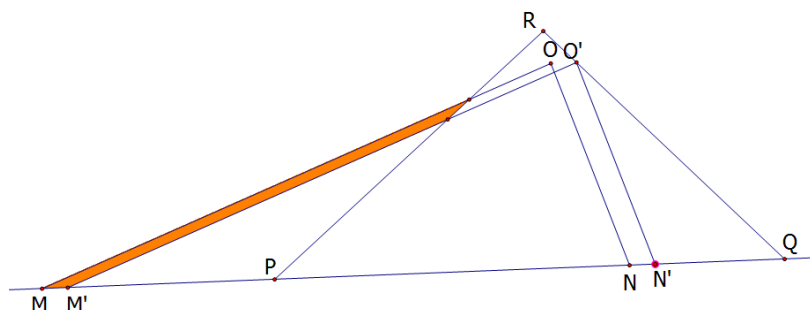
กรณีที่ 2.1  $O\hat{N}M, O\hat{M}N, R\hat{Q}P, R\hat{P}Q \leq 90^\circ$

ขั้นแรกจะพิสูจน์ว่าทำແหน่งของ  $\mathcal{A}$  ที่ทำให้พื้นที่ช่องทับสูงสุดจะอยู่ในช่วงตั้งแต่จุด  $N$  ตรงกับจุด  $Q$  จนถึงจุด  $O$  อยู่บนเส้นตรง  $\overline{QR}$



ภาพที่ 4.2.32 รูปประกอบบทพิสูจน์กระบวนการ 4.2.1 กรณีที่ 2.1 รูปที่ 1

พิจารณาสามเหลี่ยม  $MNO$  มี  $N$  อยู่นอก  $PQR$  ไปทางด้าน  $QR$  สามเหลี่ยม  $M'N'O'$  เท่ากันทุกประการกับ  $MNO$  มี  $N'$  อยู่บน  $Q$  ดังภาพ สังเกตได้โดยง่ายว่าพื้นที่ช่องทับของ  $PQR$  กับ  $M'N'O'$  大于  $PQR$  กับ  $MNO$

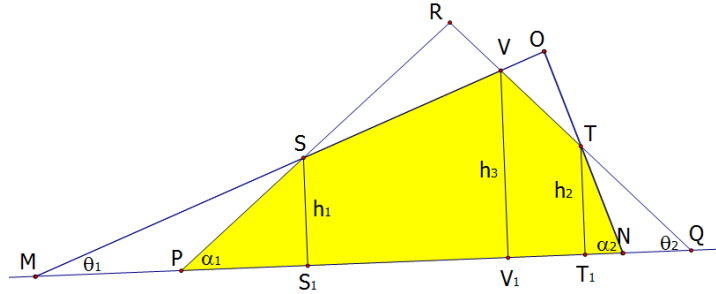


ภาพที่ 4.2.33 รูปประกอบบทพิสูจน์กระบวนการ 4.2.1 กรณีที่ 2.1 รูปที่ 2

พิจารณาสามเหลี่ยม  $MNO$  มี  $O$  อยู่ด้านใน  $PQR$  หรือ อยู่นอก  $PQR$  ไปทางด้าน  $\overline{PR}$  สามเหลี่ยม  $M'N'O'$  เท่ากันทุกประการกับ  $MNO$  มี  $O'$  อยู่บน  $\overline{RQ}$  ดังภาพ สังเกตได้โดยง่ายว่าพื้นที่ส่วนที่ไม่ถูกช่องทับของ  $PQR$  กับ  $MNO$  大于  $PQR$  กับ  $M'N'O'$  และว่าพื้นที่ช่องทับของ  $PQR$  กับ  $M'N'O'$  大于  $PQR$  กับ  $MNO$  จึงได้ว่าทำແหน่งของ  $\mathcal{A}$  ที่ทำให้พื้นที่

ช้อนทับสูงสุดจะอยู่ในช่วงตั้งแต่จุด  $N$  ตรงกับจุด  $Q$  จนถึงจุด  $O$  อยู่บนเส้นตรง  $\overline{QR}$

ต่อไปจะหาตำแหน่งที่ทำให้พื้นที่ช้อนทับบัน្តคือพื้นที่สี่เหลี่ยมในภาพมีค่ามากที่สุด



ภาพที่ 4.2.34 รูปประกอบบทพิสูจน์กระบวนการ 4.2.1 กรณีที่ 2.1 รูปที่ 3

กำหนดให้  $\overline{MO}$  ตัดกับ  $\overline{PR}$  ที่  $S$  และ  $\overline{NO}$  ตัดกับ  $\overline{QR}$  ที่  $V, T$  ดังภาพ

จาก  $S, T, V$  และ  $R$  ลากเส้นตรงมาตั้งฉากกับ  $\overline{MN}$  ที่  $S_1, T_1, V_1, R_1$  มีความยาว  $h_1, h_2, h_3, h$  ตามลำดับ

กำหนดให้  $O\hat{M}N = \theta_1, O\hat{N}M = \alpha_1, R\hat{P}Q = \alpha_1, R\hat{Q}P = \theta_2$

กำหนดให้  $m = \cot \theta_1 - \cot \alpha_1, n = \cot \theta_2 - \cot \alpha_2$

และ  $r = \cot \theta_1 + \cot \theta_2$

และ  $p = MN - PQ = (MP + PN) - (PN + QN) = MP - QN$

เนื่องจาก  $MN, PQ$  เป็นความยาวฐานของสามเหลี่ยมทั้งสอง ดังนั้น  $p$  เป็นค่าคงที่เสมอทุกตำแหน่งของสามเหลี่ยม  $A$  และจากตรีโกณมิติจะได้ว่า

$$MP = MS_1 - PS_1 = \cot \theta_1 h_1 - \cot \alpha_1 h_1 = mh_1$$

และ

$$\begin{aligned} QN &= QT_1 - NT_1 = \cot \theta_2 h_2 - \cot \alpha_2 h_2 = nh_2 \\ \therefore p &= mh_1 - nh_2 \end{aligned}$$

จึงได้ว่า

$$h_2 = \frac{mh_1 - p}{n}$$

ต้องการหา  $[PSVTN]$  ที่มากที่สุด

$$\text{พิจารณา } [PSVTN] = [PSS_1] + [SS_1V_1V] + [V_1T_1TV] + [TT_1N]$$

$$\text{พิจารณา } [PSS_1] = \frac{1}{2} (PS_1)(h_1) = \frac{1}{2} h_1^2 \cot \alpha_1$$

$$\text{พิจารณา } [TT_1N] = \frac{1}{2} (QT_1)(h_2) = \frac{1}{2} h_2^2 \cot \alpha_2$$

$$\text{พิจารณา } [SS_1V_1V] = \frac{1}{2} (S_1V_1)(h_1 + h_3)$$

$$= \frac{1}{2} (h_3 \cot \theta_1 - h_1 \cot \theta_1) (h_1 + h_3)$$

$$= \frac{1}{2} (h_3^2 - h_1^2) \cot \theta_1$$

$$\text{ในทำนองเดียวกันจะได้ว่า } [V_1T_1TV] = \frac{1}{2} (h_3^2 - h_2^2) \cot \theta_2$$

ดังนั้น

$$[PSVTN] = \frac{1}{2} h_1^2 \cot \alpha_1 + \frac{1}{2} (h_3^2 - h_1^2) \cot \theta_1$$

$$+ \frac{1}{2} (h_3^2 - h_2^2) \cot \theta_2 + \frac{1}{2} h_2^2 \cot \alpha_2$$

$$= \frac{1}{2} h_1^2 (\cot \alpha_1 - \cot \theta_1) + \frac{1}{2} h_2^2 (\cot \alpha_2 - \cot \theta_2)$$

$$+ \frac{1}{2} (\cot \theta_1 + \cot \theta_2) h_3^2$$

$$= \frac{1}{2} (-m) h_1^2 + \frac{1}{2} (-n) h_2^2 + \frac{1}{2} r h_3^2$$

$$= \frac{1}{2} r h_3^2 - \left( \frac{1}{2} m h_1^2 + \frac{1}{2} n h_2^2 \right)$$

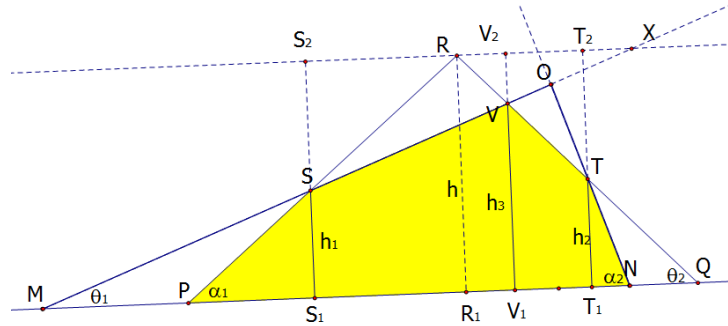
$$\text{จาก } h_2 = \frac{mh_1 - p}{n} \text{ ให้ } l = \frac{1}{2} m h_1^2 + \frac{1}{2} n h_2^2 \text{ จะได้ว่า}$$

$$l = \frac{1}{2} m h_1^2 + \frac{1}{2} n \left( \frac{mh_1 - p}{n} \right)^2$$

$$= \frac{1}{2} \left( m h_1^2 + \left( \frac{p^2 - 2pmh_1 + m^2 h_1^2}{n} \right) \right)$$

$$\begin{aligned}
&= \frac{1}{2} \left( \frac{mn h_1^2 + p^2 - 2pm h_1 + m^2 h_1^2}{n} \right) \\
&= \frac{1}{2n} \left( (m^2 + mn) h_1^2 - 2pm h_1 + p^2 \right)
\end{aligned}$$

ต่อไปจะหาค่า  $h_3$  ในรูปતัวแปร  $h_1$  และค่าคงที่  $h, m, n, r$



ภาพที่ 4.2.35 รูปประกอบพิสูจน์กระบวนการ 4.2.1 กรณีที่ 2.1 รูปที่ 4

สร้างเส้นนานด้านร่วมผ่านจุด  $R$  ตัด  $\overline{MO}$  หรือส่วนต่อที่  $X$  จาก  $S, T, V$   
ลากเส้นตรงมาตั้งฉากกับเส้นนานดังกล่าวที่  $S_2, T_2, V_2$

สังเกตว่า  $h = h_1 + SS_2 = h_3 + VV_2$

และ  $\Delta RSS_2 \sim \Delta PSS_1$  และ  $\Delta RSX \sim \Delta PSM$  จึงได้ว่า

$$\frac{XR}{MP} = \frac{RS}{PS} = \frac{SS_2}{SS_1}$$

$$\frac{XR}{mh_1} = \frac{SS_2}{h_1}$$

$$SS_2 = \frac{XR}{m}$$

$$\therefore h = h_1 + \frac{XR}{m}$$

$$XR = m(h - h_1)$$

จากตรีgonมิติ ได้ว่า  $MQ = MV_1 + V_1Q = \cot \theta_1 h_3 + \cot \theta_2 h_3 = rh_3$

สังเกตว่า  $\Delta RXV \sim \Delta MQV$

$$\frac{XR}{MQ} = \frac{VV_2}{VV_1}$$

$$\frac{XR}{rh_3} = \frac{VV_2}{h_3}$$

$$VV_2 = \frac{XR}{r}$$

$$\therefore h = h_3 + \frac{XR}{r}$$

$$h_3 = h - \frac{XR}{r} = h - \frac{m(h-h_1)}{r} = \frac{hr - hm + mh_1}{r} \text{ จะได้ว่า}$$

$$\begin{aligned} k &= [PSVTN] = \frac{1}{2} rh_3^2 - l \\ &= \frac{1}{2} r \left( \frac{hr - hm + mh_1}{r} \right)^2 - l \end{aligned}$$

$$k = \frac{1}{2} \left( \frac{h^2 r^2 + h^2 m^2 + m^2 h_1^2 - 2mrh^2 + 2mrhh_1 - 2m^2 hh_1}{r} \right) - l$$

$$\text{จาก } l = \frac{1}{2n} \left( (m^2 + mn)h_1^2 - 2pmh_1 + p^2 \right)$$

$$\therefore k = \frac{1}{2} \left( \frac{(nm^2 - rm^2 - mnr)h_1^2 + (2mnrh - 2m^2 nh + 2mpr)h_1 + (nh^2 r^2 + nh^2 m^2 - 2mnrh^2 - rp^2)}{nr} \right)$$

จะได้  $k$  ในรูปของตัวแปร  $h_1$  โดยที่  $m, n, p, r$  เป็นค่าคงที่ ต้องการหาค่าสูงสุด

ของ  $k$

สังเกตว่า  $\cot \theta_1 > \cot \alpha_1$  และ  $\cot \theta_2 > \cot \alpha_2$  ดังนั้น

$$\omega_1 = \cot \theta_1 (\cot \alpha_1 - \cot \theta_1) < 0$$

$$\omega_2 = \cot \theta_2 (\cot \alpha_2 - \cot \theta_2) < 0$$

$$\omega_3 = \cot \alpha_1 \cot \alpha_2 - \cot \theta_1 \cot \theta_2 < 0$$

$$\therefore nm - rm - nr = \omega_1 + \omega_2 + \omega_3 < 0$$

$$\therefore k'' = \frac{d^2 k}{dh_1^2} = \frac{nm^2 - rm^2 - mnr}{nr} = \frac{m}{nr} (nm - rm - nr) < 0 \text{ นั่นคือ}$$

$k$  มีค่าสูงสุด

## พิจารณา

$$k' = \frac{dk}{dh_1} = \frac{1}{2nr} \left( 2(nm^2 - rm^2 - mnr)h_1 + (2mnrh - 2m^2nh + 2mpr) \right) = 0$$

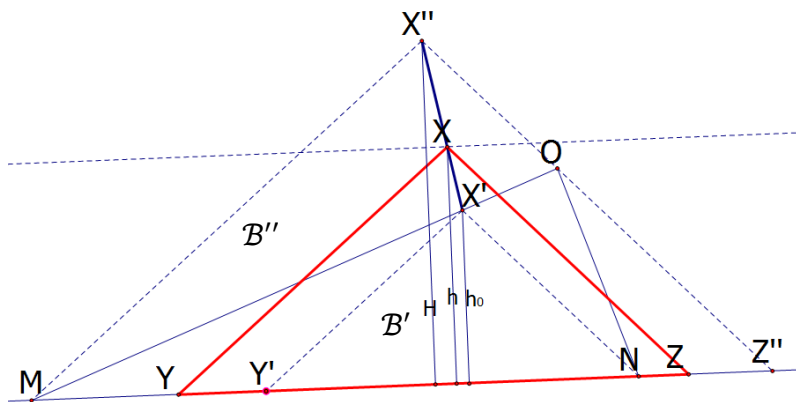
จะได้ว่า  $h_1 = \frac{mnh - rp - nrh}{mn - rm - nr}$  เป็นตัวแหน่งที่ทำให้พื้นที่  $k$  มีค่าสูงสุด นั่นคือ พื้นที่ซ้อนทับกันมากที่สุด

เมื่อ  $m = \cot \theta_1 - \cot \alpha_1, n = \cot \theta_2 - \cot \alpha_2, r = \cot \theta_1 + \cot \theta_2$

และ  $p = MN - PQ$

ต่อไปจะแสดงว่าตัวแหน่งดังกล่าวเป็นตัวแหน่งเดียวกับสามเหลี่ยม  $C$

สร้างรูปตามกระบวนการ 1 ดังภาพ



ภาพที่ 4.2.36 รูปประกอบบทพิสูจน์กระบวนการ 4.2.1 กรณีที่ 2.1 รูปที่ 5

โดยให้  $B'$  มีความสูงที่ตั้งจากกับด้านร่วมเป็น  $h_0$

และ  $B''$  มีความสูงที่ตั้งจากกับด้านร่วมเป็น  $H$

และ  $A$  มีความสูงที่ตั้งจากกับด้านร่วมเป็น  $H'$

$$\begin{aligned} \text{จะได้ว่า } p_B &= MN - YZ = H'(\cot \theta_1 + \cot \alpha_2) - h(\cot \alpha_1 + \cot \theta_2) \\ &= H'(r - n) - h(r - m) \end{aligned}$$

จะแสดงว่า  $B''$  กับ  $B'$  สอดคล้องกับตัวแหน่งที่หาข้างต้น

$$\text{สังเกตว่า } p_{B'} = MN - Y'N = MY' = mh_0$$

$$\text{จาก } h_1 = \frac{mnh - rp - nrh}{mn - rm - nr} \text{ จะได้ว่า } h_{B'} = \frac{mnh_0 - rmh_0 - nrh_0}{mn - rm - nr} = h_0$$

แสดงว่าจุดตัดของ  $\overline{X'Y'}$  กับ  $\overline{MO}$  คือจุด  $X'$  นั่นเอง

นั่นคือ  $B'$  สอดคล้องกับตัวแหน่งที่หาข้างต้น

$$\text{และจาก } p_{B'} = H'(r - n) - h_0(r - m)$$

$$\therefore mh_0 = H'(r-n) - h_0(r-m)$$

$$h_0 = \frac{H'(r-n)}{r}$$

ສັງເກດວ່າ  $p_{\mathcal{B}^*} = MN - MZ''$

$$= H'(\cot \theta_1 + \cot \alpha_2) - H'(\cot \theta_1 + \cot \theta_2)$$

$$= H'(r-n) - rH' = -nH'$$

ແຕ່  $p_{\mathcal{B}^*} = H'(r-n) - H(r-m)$

$$\therefore H'(r-n) - H(r-m) = -nH'$$

$$rH' = H(r-m)$$

$$H' = \frac{H(r-m)}{r}$$

ຈາກ  $h_1 = \frac{mnh - rp - nrh}{mn - rm - nr}$  ຈະໄດ້ວ່າ

$$h_{l_{\mathcal{B}^*}} = \frac{mnH + rnH' - nrH}{mn - rm - nr} = \frac{mnH + nH(r-m) - nrH}{mn - rm - nr} = 0$$

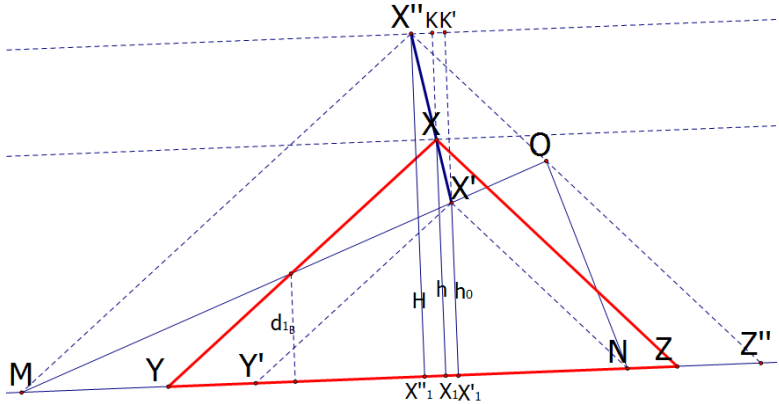
ແສດງວ່າຈຸດຕົດຂອງ  $\overline{XY}$  ກັບ  $\overline{MO}$  ອືອຈຸດ  $Y''$  ນິ້ນເອງ  
ນິ້ນຄືອ  $\mathcal{B}''$  ເປັນຕຳແໜ່ງທີ່ສອດຄລ້ອງກັບຕຳແໜ່ງທີ່ຫາຂ້າງຕົນ

$$\text{ແລະຈະໄດ້ວ່າ } H = \frac{rH'}{r-m}$$

ໃກ້  $d_{l_{\mathcal{B}}}$  ແທນຮະຢະຕູ້ນຳຈາກຈຸດຕົດ  $\overline{XY}$  ກັບ  $\overline{MO}$  ໄປຢັງດ້ານຮ່ວມ

ຈະແສດງວ່າ  $d_{l_{\mathcal{B}}} = h_{l_{\mathcal{B}}}$

$$\text{ຂັ້ນແຮກຈະແສດງວ່າ } d_{l_{\mathcal{B}}} = \frac{h_0(H-h)}{H-h_0}$$



ภาพที่ 4.2.37 รูปประกอบบทพิสูจน์กระบวนการ 4.2.1 กรณีที่ 2.1 รูปที่ 6

จาก  $X, X'$  และ  $X''$  ลากเส้นตรงมาตั้งฉากกับเส้นฐานดังกล่าว ที่  $X_1, X'_1$  และ  $X''_1$  ตามลำดับ  
สังเกตว่า

$$md_{I_B} = MY = MX'_1 - YX_1 - X_1X'_1 = h_0 \cot \theta_1 - h \cot \alpha_1 - X_1X'_1$$

สังเกตว่า

$$X''X'_1 = MX'_1 - MX'' = h_0 \cot \theta_1 - H \cot \alpha_1$$

จะหา  $X_1X'_1$  โดยลากเส้นฐานด้านร่วมผ่าน  $X''$  ดังภาพ  
จาก  $X$  และ  $X'$  ลากเส้นตรงมาตั้งฉากกับเส้นฐานดังกล่าว ที่  $K, K'$   
ตามลำดับ  
สังเกตว่า  $X_1X'_1 = KK'$

และได้ว่า  $\Delta X'K'X'' \sim \Delta XKX''$  ดังนั้น  $\frac{X''K}{X''K'} = \frac{XK}{X'K'} = \frac{H-h}{H-h_0}$   
แต่  $X''K' = X_1X'_1 = h_0 \cot \theta_1 - H \cot \alpha_1$

$$\therefore X''K = (h_0 \cot \theta_1 - H \cot \alpha_1) \left( \frac{H-h}{H-h_0} \right)$$

$$X_1X'_1 = KK' = X''K' - X''K = (h_0 \cot \theta_1 - H \cot \alpha_1) \left( \frac{h-h_0}{H-h_0} \right)$$

$$\text{จึงได้ว่า } md_{l_B} = h_0 \cot \theta_1 - h \cot \alpha_1 - (h_0 \cot \theta_1 - H \cot \alpha_1) \left( \frac{h - h_0}{H - h_0} \right)$$

$$md_{l_B} = h_0 \cot \theta_1 \left( 1 - \frac{h - h_0}{H - h_0} \right) - \cot \alpha_1 \left( h - H \left( \frac{h - h_0}{H - h_0} \right) \right)$$

$$md_{l_B} = h_0 \cot \theta_1 \left( \frac{H - h}{H - h_0} \right) - \cot \alpha_1 \left( \frac{hH - hh_0 - Hh + Hh_0}{H - h_0} \right)$$

$$md_{l_B} = h_0 \cot \theta_1 \left( \frac{H - h}{H - h_0} \right) - h_0 \cot \alpha_1 \left( \frac{H - h}{H - h_0} \right)$$

$$md_{l_B} = h_0 \left( \frac{H - h}{H - h_0} \right) (\cot \theta_1 - \cot \alpha_1)$$

$$md_{l_B} = mh_0 \left( \frac{H - h}{H - h_0} \right)$$

$$\text{ดังนั้น } d_{l_B} = \frac{h_0(H - h)}{H - h_0}$$

$$\text{จาก } h_0 = \frac{H'(r - n)}{r} \text{ และ } H = \frac{rH'}{r - m} \text{ ได้ว่า}$$

$$H - h_0 = H' \left( \frac{r^2 - (r - n)(r - m)}{r(r - m)} \right)$$

$$H - h_0 = H' \left( \frac{mn - rm - nr}{r(m - r)} \right)$$

$$d_{l_B} = \frac{r(m - r)h_0(H - h)}{H'(mn - rm - nr)} = \frac{(m - r)(r - n)(H - h)}{mn - rm - nr}$$

$$d_{l_B} = \frac{-r(r - n)H' + (r - m)(r - n)h}{mn - rm - nr}$$

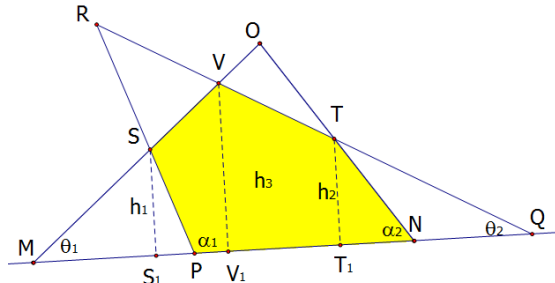
$$d_{l_B} = \frac{-r(r - n)H' + r(r - m)h - n(r - m)h}{mn - rm - nr}$$

$$d_{l_B} = \frac{-rp - rnh + nmh}{mn - rm - nr} = \frac{mnh - rp - nrh}{mn - rm - nr} = h_{l_B}$$

นั่นคือสามเหลี่ยมที่สร้างตามกระบวนการนี้เป็นตัวแทนที่ทำให้พื้นที่ซ้อนทับกันมากที่สุด

กรณีที่ 2.2  $O\hat{N}M, O\hat{M}N, R\hat{Q}P \leq 90^\circ, R\hat{P}Q \geq 90^\circ$

ในทำนองเดียวกับกรณีที่ 2.1 ได้ว่า ว่า ตำแหน่งของ  $\mathcal{A}$  ที่ทำให้พื้นที่ช่องทับสูงสุด จะอยู่ในช่วงตั้งแต่จุด  $N$  ตรงกับจุด  $Q$  จนถึงจุด  $O$  อยู่บนเส้นตรง  $\overline{QR}$  ต่อไปจะหาตำแหน่งที่ทำให้พื้นที่ช่องทับบันนี่คือพื้นที่สี่เหลี่ยมในภาพมีค่ามากที่สุด



ภาพที่ 4.2.38 รูปประกอบบทพิสูจน์กระบวนการ 4.2.1 กรณีที่ 2.2 รูปที่ 1

กำหนดให้  $\overline{MO}$  ตัดกับ  $\overline{PR}$  ที่  $S$ ,  $\overline{MO}, \overline{NO}$  ตัดกับ  $\overline{QR}$  ที่  $V, T$  ดังภาพ  
จาก  $S, T, V$  และ  $R$  ลากเส้นตรงมาตั้งฉากกับ  $\overline{MN}$  ที่  $S_1, T_1, V_1, R_1$  มีความ  
ยะ  $h_1, h_2, h_3, h$  ตามลำดับ

กำหนดให้  $O\hat{M}N = \theta_1$ ,  $O\hat{N}M = \alpha_1$ ,  $R\hat{P}Q = \alpha_1$ ,  $R\hat{Q}P = \theta_2$

กำหนดให้  $m = \cot \theta_1 - \cot \alpha_1$ ,  $n = \cot \theta_2 - \cot \alpha_2$

และ  $r = \cot \theta_1 + \cot \theta_2$

และ  $p = MN - PQ = (MP + PN) - (PN + QN) = MP - QN$

เนื่องจาก  $MN, PQ$  เป็นความยาวฐานของสามเหลี่ยมทั้งสอง ดังนั้น  $p$  เป็น  
ค่าคงที่เสมอทุกตำแหน่งของสามเหลี่ยม  $\mathcal{A}$  และจากตรีโกณมิติจะได้ว่า

$$\begin{aligned} MP &= MS_1 + S_1P = \cot \theta_1 h_1 + \cot(180^\circ - \alpha_1) h_1 \\ &= \cot \theta_1 h_1 - \cot \alpha_1 h_1 = mh_1 \end{aligned}$$

และ

$$\begin{aligned} QN &= QT_1 - NT_1 = \cot \theta_2 h_2 - \cot \alpha_2 h_2 = nh_2 \\ \therefore p &= mh_1 - nh_2 \end{aligned}$$

จึงได้ว่า

$$h_2 = \frac{mh_1 - p}{n}$$

ต้องการหา  $[PSVTN]$  ที่มากที่สุด

$$\text{พิจารณา } [PSVTN] = [SS_1V_1V] + [V_1T_1TV] + [TT_1N] - [PSS_1]$$

พิจารณา

$$[PSS_1] = \frac{1}{2}(PS_1)(h_1) = \frac{1}{2}h_1^2 \cot(180^\circ - \alpha_1) = -\frac{1}{2}h_1^2 \cot \alpha_1$$

ในทำนองเดียวกับกรณีที่ 2.1 ได้ว่า

$$[TT_1N] = \frac{1}{2}(QT_1)(h_2) = \frac{1}{2}h_2^2 \cot \alpha_2$$

$$[SS_1V_1V] = \frac{1}{2}(h_3^2 - h_1^2) \cot \theta_1$$

$$[V_1T_1TV] = \frac{1}{2}(h_3^2 - h_2^2) \cot \theta_2$$

ดังนั้น

$$[PSVTN] = -\left(-\frac{1}{2}h_1^2 \cot \alpha_1\right) + \frac{1}{2}(h_3^2 - h_1^2) \cot \theta_1$$

$$+ \frac{1}{2}(h_3^2 - h_2^2) \cot \theta_2 + \frac{1}{2}h_2^2 \cot \alpha_2$$

$$= \frac{1}{2}h_1^2(\cot \alpha_1 - \cot \theta_1) + \frac{1}{2}h_2^2(\cot \alpha_2 - \cot \theta_2)$$

$$+ \frac{1}{2}(\cot \theta_1 + \cot \theta_2)h_3^2$$

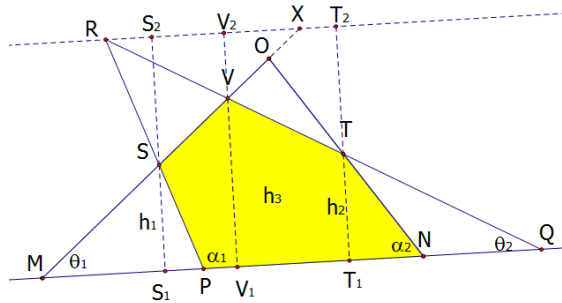
$$= \frac{1}{2}(-m)h_1^2 + \frac{1}{2}(-n)h_2^2 + \frac{1}{2}rh_3^2$$

$$= \frac{1}{2}rh_3^2 - \left(\frac{1}{2}mh_1^2 + \frac{1}{2}nh_2^2\right)$$

จาก  $h_2 = \frac{mh_1 - p}{n}$  ให้  $l = \frac{1}{2}mh_1^2 + \frac{1}{2}nh_2^2$  ในทำนองเดียวกับกรณีที่ 2.1

$$\text{จะได้ว่า } l = \frac{1}{2n} \left( (m^2 + mn)h_1^2 - 2pmh_1 + p^2 \right)$$

ต่อไปจะหาค่า  $h_3$  ในรูปตัวแปร  $h_1$  และค่าคงที่  $h, m, n, r$



ภาพที่ 4.2.39 รูปประกอบบทพิสูจน์กระบวนการ 4.2.1 กรณีที่ 2.2 รูปที่ 2

สร้างเส้นนานด้านร่วมผ่านจุด  $R$  ตัด  $\overline{MO}$  หรือส่วนต่อที่  $X$  จาก  $S, T, V$  ลากเส้นตรงมาตั้งฉากกับเส้นนานดังกล่าวที่  $S_2, T_2, V_2$

$$\text{สังเกตว่า } h = h_1 + SS_2 = h_3 + VV_2$$

และ  $\Delta RSS_2 \sim \Delta PSS_1$  และ  $\Delta RSX \sim \Delta PSM$  ในทำนองเดียวกับกรณีที่ 2.1 ได้ว่า

$$XR = m(h - h_1)$$

จากตรีโกณมิติ ได้ว่า  $MQ = MV_1 + V_1Q = \cot \theta_1 h_3 + \cot \theta_2 h_3 = rh_3$

สังเกตว่า  $\Delta RXV \sim \Delta MQV$  ในทำนองเดียวกับกรณีที่ 2.1 ได้ว่า

$$h = h_3 + \frac{XR}{r}$$

$$h_3 = h - \frac{XR}{r} = h - \frac{m(h - h_1)}{r} = \frac{hr - hm + mh_1}{r}$$

ด้วยวิธีการเดียวกับกรณีที่ 2.1 จะได้ว่า

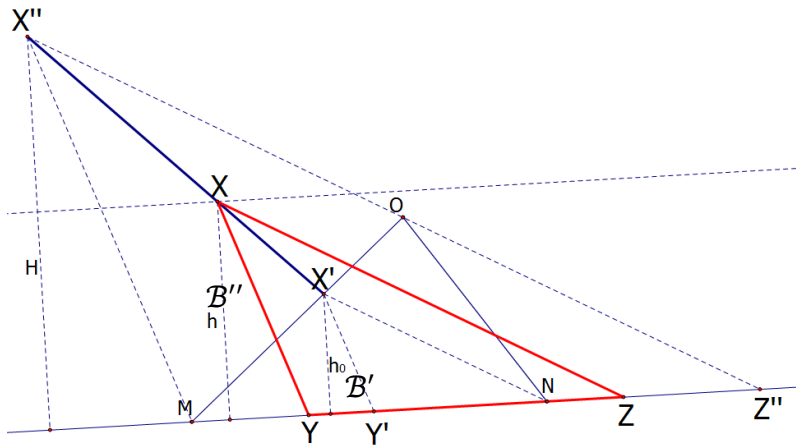
จะได้ว่า  $h_1 = \frac{mnh - rp - nrh}{mn - rm - nr}$  เป็นตัวแหน่งที่ทำให้พื้นที่  $k$  มีค่าสูงสุด นั่นคือ พื้นที่ซ้อนทับกันมากที่สุด

$$\text{เมื่อ } m = \cot \theta_1 - \cot \alpha_1, n = \cot \theta_2 - \cot \alpha_2, r = \cot \theta_1 + \cot \theta_2$$

$$\text{และ } p = MN - PQ$$

ต่อไปจะแสดงว่าตัวแหน่งดังกล่าวเป็นตัวแหน่งเดียวกับสามเหลี่ยม  $C$

สร้างรูปตามกระบวนการ 1 ดังภาพ



ภาพที่ 4.2.40 รูปประกอบบทพิสูจน์กระบวนการ 4.2.1 กรณีที่ 2.2 รูปที่ 3

โดยให้  $B'$  มีความสูงที่ตั้งฉากกับด้านร่วมเป็น  $h_0$

และ  $B''$  มีความสูงที่ตั้งฉากกับด้านร่วมเป็น  $H$

และ  $A$  มีความสูงที่ตั้งฉากกับด้านร่วมเป็น  $H'$

จะได้ว่า  $p_B = MN - YZ$

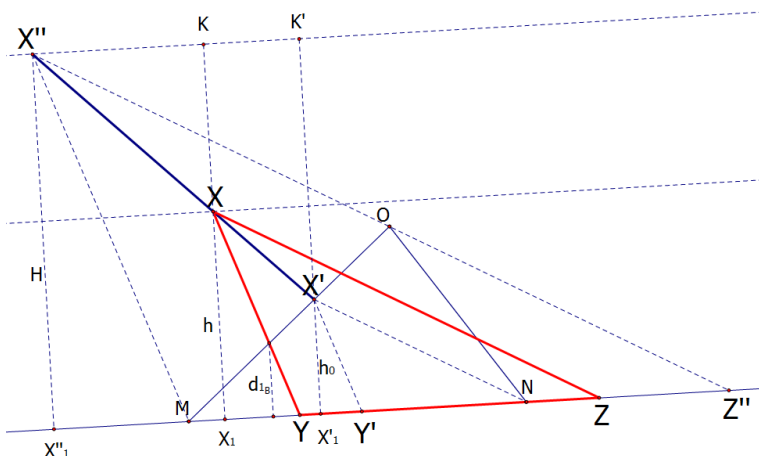
$$\begin{aligned} &= H'(\cot \theta_1 + \cot \alpha_2) - h(-\cot(180^\circ - \alpha_1) + \cot \theta_2) \\ &= H'(r - n) - h(r - m) \end{aligned}$$

ในทำนองเดียวกับกรณีที่ 2.1 ได้ว่า  $B''$  กับ  $B'$  สอดคล้องกับตำแหน่งที่หาข้างต้น

ให้  $d_{1_B}$  แทนระยะตั้งฉากจากจุดตัด  $\overline{XY}$  กับ  $\overline{MO}$  ไปยังด้านร่วม

จะแสดงว่า  $d_{1_B} = h_{1_B}$

$$\text{ขึ้นแรกจะแสดงว่า } d_{1_B} = \frac{h_0(H - h)}{H - h_0}$$



ภาพที่ 4.2.41 รูปประกอบบทพิสูจน์กระบวนการ 4.2.1 กรณีที่ 2.2 รูปที่ 4

จาก  $X, X'$  และ  $X''$  ลากเส้นตรงมาตั้งฉากกับเส้นนานดังกล่าว ที่  $X_1, X'_1$  และ  $X''_1$  ตามลำดับ  
สังเกตว่า

$$\begin{aligned} md_{l_B} &= MY = MX'_1 + YX_1 - X_1X'_1 \\ &= h_0 \cot \theta_1 + h \cot(180^\circ - \alpha_1) - X_1X'_1 \\ &= h_0 \cot \theta_1 - h \cot \alpha_1 - X_1X'_1 \end{aligned}$$

สังเกตว่า

$$\begin{aligned} X''X'_1 &= MX'_1 + MX''_1 = h_0 \cot \theta_1 + H \cot(180^\circ - \alpha_1) \\ &= h_0 \cot \theta_1 - H \cot \alpha_1 \end{aligned}$$

จะหา  $X_1X'_1$  โดยลากเส้นนานด้านร่วมผ่าน  $X''$  ดังภาพ  
จาก  $X$  และ  $X'$  ลากเส้นตรงมาตั้งฉากกับเส้นนานดังกล่าว ที่  $K, K'$   
ตามลำดับ

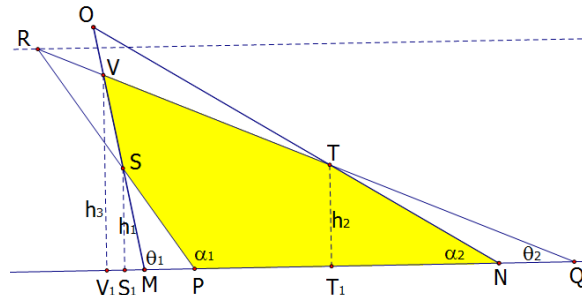
สังเกตว่า  $X_1X'_1 = KK'$

ในทำนองเดียวกับกรณีที่ 2.1 ได้ว่า  $d_{l_B} = \frac{h_0(H-h)}{H-h_0}$  และได้ว่า  $d_{l_B} = h_{l_B}$

นั่นคือสามเหลี่ยมที่สร้างตามกระบวนการนี้เป็นตัวหนาที่ทำให้พื้นที่ช่องหักกันมากที่สุด

กรณีที่ 2.4  $O\hat{N}M, R\hat{Q}P \leq 90^\circ, R\hat{P}Q, O\hat{M}N \geq 90^\circ$

ในทำนองเดียวกับกรณีที่ 2.1 ได้ว่าว่าตัวหนาของ  $\mathcal{A}$  ที่ทำให้พื้นที่ช่องหักสูงสุดจะอยู่ในช่วงตั้งแต่จุด  $N$  ตรงกับจุด  $Q$  จนถึงจุด  $O$  อยู่บนเส้นตรง  $\overline{QR}$   
ต่อไปจะหาตัวหนาที่ทำให้พื้นที่ช่องหักนั่นคือพื้นที่สี่เหลี่ยมในภาพมีค่ามากที่สุด



ภาพที่ 4.2.42 รูปประกอบที่สูงที่สุดกระบวนการ 4.2.1 กรณีที่ 2.4 รูปที่ 1

กำหนดให้  $\overline{MO}$  ตัดกับ  $\overline{PR}$  ที่  $S$   $\overline{MO}, \overline{NO}$  ตัดกับ  $\overline{QR}$  ที่  $V, T$  ดังภาพ  
จาก  $S, T, V$  และ  $R$  ลากเส้นตรงมาตั้งฉากกับ  $\overline{MN}$  ที่  $S_1, T_1, V_1, R_1$  มีความ  
ยาว  $h_1, h_2, h_3, h$  ตามลำดับ

กำหนดให้  $O\hat{M}N = \theta_1$ ,  $O\hat{N}M = \alpha_2$ ,  $R\hat{P}Q = \alpha_1$ ,  $R\hat{Q}P = \theta_2$

กำหนดให้  $m = \cot \theta_1 - \cot \alpha_1$ ,  $n = \cot \theta_2 - \cot \alpha_2$

และ  $r = \cot \theta_1 + \cot \theta_2$

และ  $p = MN - PQ = (MP + PN) - (PN + QN) = MP - QN$

เนื่องจาก  $MN, PQ$  เป็นความยาวฐานของสามเหลี่ยมทั้งสอง ดังนั้น  $p$  เป็น  
ค่าคงที่เสมอทุกตำแหน่งของสามเหลี่ยม  $A$  และจากตรีโกณมิติจะได้ว่า

$$\begin{aligned} MP &= S_1P - MS_1 = \cot(180^\circ - \alpha_1)h_1 - \cot(180^\circ - \theta_1)h_1 \\ &= \cot \theta_1 h_1 - \cot \alpha_1 h_1 = mh_1 \end{aligned}$$

และ

$$\begin{aligned} QN &= QT_1 - NT_1 = \cot \theta_2 h_2 - \cot \alpha_2 h_2 = nh_2 \\ \therefore p &= mh_1 - nh_2 \end{aligned}$$

จึงได้ว่า

$$h_2 = \frac{mh_1 - p}{n}$$

ต้องการหา  $[PSVTN]$  ที่มากที่สุด

$$\text{พิจารณา } [PSVTN] = [V_1T_1TV] + [TT_1N] - [PSS_1] - [SS_1V_1V]$$

$$\text{พิจารณา } [PSS_1] = \frac{1}{2}(PS_1)(h_1) = \frac{1}{2}h_1^2 \cot(180^\circ - \alpha_1) = -\frac{1}{2}h_1^2 \cot \alpha_1$$

ในท่านองเดียวกับกรณีที่ 2.1 ได้ว่า

$$[TT_1N] = \frac{1}{2}(QT_1)(h_2) = \frac{1}{2}h_2^2 \cot \alpha_2$$

$$[V_1T_1TV] = \frac{1}{2}(h_3^2 - h_2^2) \cot \theta_2$$

$$\text{พิจารณา } [SS_1V_1V] = \frac{1}{2}(S_1V_1)(h_1 + h_3)$$

$$\begin{aligned}
&= \frac{1}{2} \left( h_3 \cot(180^\circ - \theta_1) - h_1 \cot(180^\circ - \theta_1) \right) (h_1 + h_3) \\
&= \frac{1}{2} (h_3^2 - h_1^2) \cot(180^\circ - \theta_1) \\
&= -\frac{1}{2} (h_3^2 - h_1^2) \cot \theta_1
\end{aligned}$$

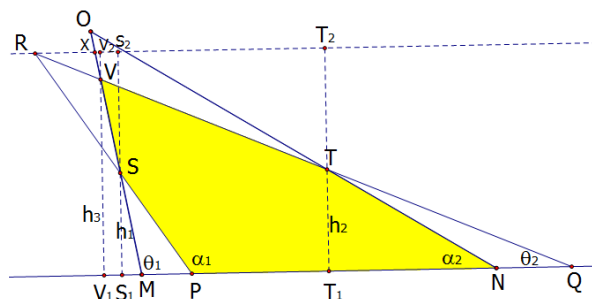
ดังนั้น

$$\begin{aligned}
[PSVTN] &= -\left( -\frac{1}{2} h_1^2 \cot \alpha_1 \right) - \left( -\frac{1}{2} (h_3^2 - h_1^2) \cot \theta_1 \right) \\
&\quad + \frac{1}{2} (h_3^2 - h_2^2) \cot \theta_2 + \frac{1}{2} h_2^2 \cot \alpha_2 \\
&= \frac{1}{2} h_1^2 (\cot \alpha_1 - \cot \theta_1) + \frac{1}{2} h_2^2 (\cot \alpha_2 - \cot \theta_2) \\
&\quad + \frac{1}{2} (\cot \theta_1 + \cot \theta_2) h_3^2 \\
&= \frac{1}{2} (-m) h_1^2 + \frac{1}{2} (-n) h_2^2 + \frac{1}{2} r h_3^2 \\
&= \frac{1}{2} r h_3^2 - \left( \frac{1}{2} m h_1^2 + \frac{1}{2} n h_2^2 \right)
\end{aligned}$$

จาก  $h_2 = \frac{mh_1 - p}{n}$  ให้  $l = \frac{1}{2} mh_1^2 + \frac{1}{2} nh_2^2$  ในทำนองเดียวกับกรณีที่ 2.1

จะได้ว่า  $l = \frac{1}{2n} ((m^2 + mn) h_1^2 - 2pmh_1 + p^2)$

ต่อไปจะหาค่า  $h_3$  ในรูปตัวแปร  $h_1$  และค่าคงที่  $h, m, n, r$



ภาพที่ 4.2.43 รูปประกอบบทพิสูจน์กระบวนการ 4.2.1 กรณีที่ 2.4 รูปที่ 2

สร้างเส้นขนานด้านร่วมผ่านจุด  $R$  ตัด  $\overline{MO}$  หรือส่วนต่อที่  $X$  จาก  $S, T, V$  ลากเส้นตรงมาตั้งฉากกับเส้นขนานดังกล่าวที่  $S_2, T_2, V_2$

สังเกตว่า  $h = h_1 + SS_2 = h_3 + VV_2$

และ  $\Delta RSS_2 \sim \Delta PSS_1$  และ  $\Delta RSX \sim \Delta PSM$  ในทำนองเดียวกับกรณีที่ 2.1 ได้ว่า

$$XR = m(h - h_1)$$

$$\begin{aligned} \text{จากตรีโกณมิติ } \text{ได้ว่า } MQ &= V_1 Q - MV_1 = \cot \theta_2 h_3 - \cot(180^\circ - \theta_1) h_3 \\ &= \cot \theta_2 h_3 + \cot \theta_1 h_3 = rh_3 \end{aligned}$$

สังเกตว่า  $\Delta RXV \sim \Delta MQV$  ในทำนองเดียวกับกรณีที่ 2.1 ได้ว่า

$$\begin{aligned} h &= h_3 + \frac{XR}{r} \\ h_3 &= h - \frac{XR}{r} = h - \frac{m(h - h_1)}{r} = \frac{hr - hm + mh_1}{r} \end{aligned}$$

ด้วยวิธีการเดียวกับกรณีที่ 2.1 จะได้ว่า

จะได้ว่า  $h_1 = \frac{mnh - rp - nrh}{mn - rm - nr}$  เป็นตัวแหน่งที่ทำให้พื้นที่  $k$  มีค่าสูงสุด นั่นคือ

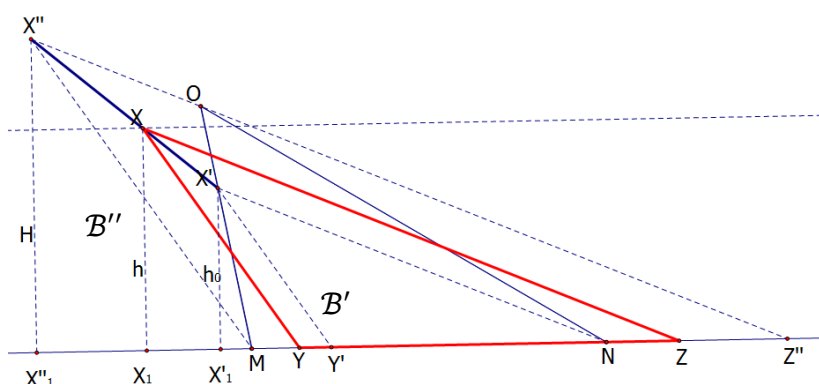
พื้นที่ซ้อนทับกันมากที่สุด

เมื่อ  $m = \cot \theta_1 - \cot \alpha_1, n = \cot \theta_2 - \cot \alpha_2, r = \cot \theta_1 + \cot \theta_2$

และ  $p = MN - PQ$

ต่อไปจะแสดงว่าตัวแหน่งดังกล่าวเป็นตัวแหน่งเดียวกับสามเหลี่ยม  $C$

สร้างรูปตามกระบวนการ 1 ดังภาพ



ภาพที่ 4.2.44 รูปประกอบบทพิสูจน์กระบวนการ 4.2.1 กรณีที่ 2.4 รูปที่ 3

โดยให้  $B'$  มีความสูงที่ตั้งจากกับด้านร่วมเป็น  $h_0$

และ  $B''$  มีความสูงที่ตั้งจากกับด้านร่วมเป็น  $H$

และ  $A$  มีความสูงที่ตั้งจากกับด้านร่วมเป็น  $H'$

จะได้ว่า  $p_B = MN - YZ$

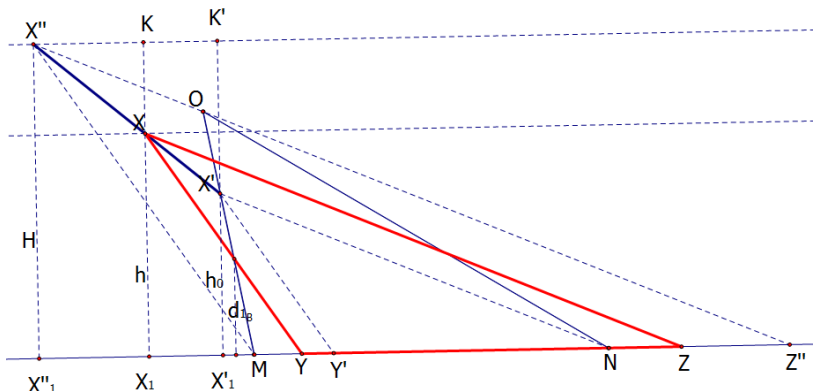
$$\begin{aligned} &= H' \left( -\cot(180^\circ - \theta_1) + \cot \alpha_2 \right) - h \left( -\cot(180^\circ - \alpha_1) + \cot \theta_2 \right) \\ &= H' (r - n) - h(r - m) \end{aligned}$$

ในทำนองเดียวกับกรณีที่ 2.1 ได้ว่า  $B''$  กับ  $B'$  สอดคล้องกับตำแหน่งที่หาข้างต้น

ให้  $d_{1_B}$  แทนระยะตั้งจากจากจุดตัด  $\overline{XY}$  กับ  $\overline{MO}$  ไปยังด้านร่วม

จะแสดงว่า  $d_{1_B} = h_{1_B}$

$$\text{ขั้นแรกจะแสดงว่า } d_{1_B} = \frac{h_0(H-h)}{H-h_0}$$



ภาพที่ 4.2.45 รูปประกอบพิสูจน์กระบวนการ 4.2.1 กรณีที่ 2.4 รูปที่ 4

จาก  $X, X'$  และ  $X''$  ลากเส้นตรงมาตั้งจากกับเส้นฐานดังกล่าว ที่  $X_1, X'_1$

และ  $X''_1$  ตามลำดับ

สังเกตว่า

$$\begin{aligned} md_{1_B} &= MY = YX_1 - MX'_1 - X_1X'_1 \\ &= h \cot(180^\circ - \alpha_1) - h_0 \cot(180^\circ - \theta_1) - X_1X'_1 \\ &= h_0 \cot \theta_1 - h \cot \alpha_1 - X_1X'_1 \end{aligned}$$

สังเกตว่า

$$X''X'_1 = MX''_1 - MX'_1 = H \cot(180^\circ - \alpha_1) - h_0 \cot(180^\circ - \theta_1)$$

$$= h_0 \cot \theta_1 - H \cot \alpha_1$$

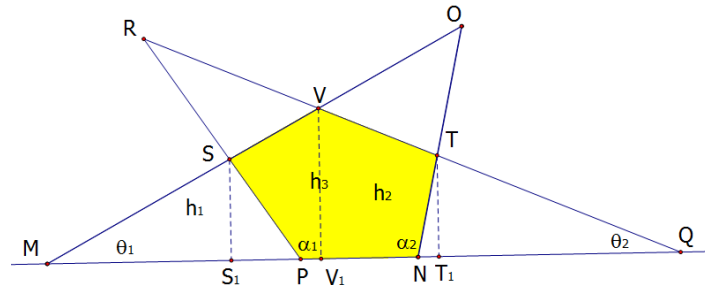
จะหา  $X_1 X'_1$  โดยลากเส้นขนานด้านร่วมผ่าน  $X''$  ดังภาพ  
 จาก  $X$  และ  $X'$  ลากเส้นตรงมาตั้งจากกับเส้นขนานดังกล่าว ที่  $K, K'$   
 ตามลำดับ  
 สังเกตว่า  $X_1 X'_1 = KK'$

ในทำนองเดียวกับกรณีที่ 2.1 ได้ว่า  $d_{l_B} = \frac{h_0(H-h)}{H-h_0}$  และได้ว่า  $d_{l_B} = h_{l_B}$

นั่นคือสามเหลี่ยมที่สร้างตามกระบวนการนี้เป็นตำแหน่งที่ทำให้พื้นที่ซ้อนทับกันมากที่สุด

กรณีที่ 2.6  $O\hat{N}M, R\hat{P}Q \geq 90^\circ, R\hat{Q}P, O\hat{M}N \leq 90^\circ$

ในทำนองเดียวกับกรณีที่ 2.1 ได้ว่าว่าตำแหน่งของ  $A$  ที่ทำให้พื้นที่ซ้อนทับสูงสุดจะอยู่ในช่วงตั้งแต่จุด  $N$  ตรงกับจุด  $Q$  จนถึงจุด  $O$  อยู่บนเส้นตรง  $\overline{QR}$   
 ต่อไปจะหาตำแหน่งที่ทำให้พื้นที่ซ้อนทับนั่นคือพื้นที่สี่เหลี่ยมในภาพมีค่ามากที่สุด



ภาพที่ 4.2.46 รูปประกอบพิสูจน์กระบวนการ 4.2.1 กรณีที่ 2.6 รูปที่ 1

กำหนดให้  $\overline{MO}$  ตัดกับ  $\overline{PR}$  ที่  $S$ ,  $\overline{MO}, \overline{NO}$  ตัดกับ  $\overline{QR}$  ที่  $V, T$  ดังภาพ

จาก  $S, T, V$  และ  $R$  ลากเส้นตรงมาตั้งจากกับ  $\overline{MN}$  ที่  $S_1, T_1, V_1, R_1$  มีความ  
 uya  $h_1, h_2, h_3, h$  ตามลำดับ

กำหนดให้  $O\hat{M}N = \theta_1$ ,  $O\hat{N}M = \alpha_2$ ,  $R\hat{P}Q = \alpha_1$ ,  $R\hat{Q}P = \theta_2$

กำหนดให้  $m = \cot \theta_1 - \cot \alpha_1$ ,  $n = \cot \theta_2 - \cot \alpha_2$

และ  $r = \cot \theta_1 + \cot \theta_2$

และ  $p = MN - PQ = (MP + PN) - (PN + QN) = MP - QN$

เนื่องจาก  $MN, PQ$  เป็นความยาวฐานของสามเหลี่ยมทั้งสอง ดังนั้น  $p$  เป็นค่าคงที่เสมอทุกตำแหน่งของสามเหลี่ยม  $\mathcal{A}$  และจากตรีgonometric จะได้ว่า

$$\begin{aligned} MP &= MS_1 + S_1P = \cot \theta_1 h_1 + \cot(180^\circ - \alpha_1)h_1 \\ &= \cot \theta_1 h_1 - \cot \alpha_1 h_1 = mh_1 \end{aligned}$$

และ

$$\begin{aligned} QN &= QT_1 + T_1N = \cot \theta_2 h_2 + \cot(180^\circ - \alpha_2)h_2 = nh_2 \\ &= \cot \theta_2 h_2 - \cot \alpha_2 h_2 = nh_2 \\ \therefore p &= mh_1 - nh_2 \end{aligned}$$

จึงได้ว่า

$$h_2 = \frac{mh_1 - p}{n}$$

ต้องการหา  $[PSVTN]$  ที่มากที่สุด

$$\text{พิจารณา } [PSVTN] = [SS_1V_1V] + [V_1T_1TV] - [TT_1N] - [PSS_1]$$

พิจารณา

$$[PSS_1] = \frac{1}{2}(PS_1)(h_1) = \frac{1}{2}h_1^2 \cot(180^\circ - \alpha_1) = -\frac{1}{2}h_1^2 \cot \alpha_1$$

$$[TT_1N] = \frac{1}{2}(QT_1)(h_2) = \frac{1}{2}h_2^2 \cot(180^\circ - \alpha_2) = -\frac{1}{2}h_2^2 \cot \alpha_2$$

ในทำนองเดียวกับกรณีที่ 2.1 ได้ว่า

$$\begin{aligned} [SS_1V_1V] &= \frac{1}{2}(h_3^2 - h_1^2) \cot \theta_1 \\ [V_1T_1TV] &= \frac{1}{2}(h_3^2 - h_2^2) \cot \theta_2 \end{aligned}$$

ดังนั้น

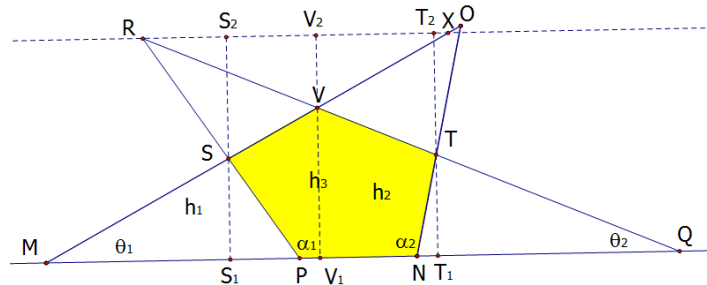
$$[PSVTN] = -\left(-\frac{1}{2}h_1^2 \cot \alpha_1\right) + \frac{1}{2}(h_3^2 - h_1^2) \cot \theta_1$$

$$\begin{aligned}
& + \frac{1}{2} (h_3^2 - h_2^2) \cot \theta_2 - \left( -\frac{1}{2} h_2^2 \cot \alpha_2 \right) \\
& = \frac{1}{2} h_1^2 (\cot \alpha_1 - \cot \theta_1) + \frac{1}{2} h_2^2 (\cot \alpha_2 - \cot \theta_2) \\
& + \frac{1}{2} (\cot \theta_1 + \cot \theta_2) h_3^2 \\
& = \frac{1}{2} (-m) h_1^2 + \frac{1}{2} (-n) h_2^2 + \frac{1}{2} r h_3^2 \\
& = \frac{1}{2} r h_3^2 - \left( \frac{1}{2} m h_1^2 + \frac{1}{2} n h_2^2 \right)
\end{aligned}$$

จาก  $h_2 = \frac{mh_1 - p}{n}$  ให้  $l = \frac{1}{2} mh_1^2 + \frac{1}{2} nh_2^2$  ในทำนองเดียวกับกรณีที่ 2.1

จะได้ว่า  $l = \frac{1}{2n} ((m^2 + mn) h_1^2 - 2pmh_1 + p^2)$

ต่อไปจะหาค่า  $h_3$  ในรูปตัวแปร  $h_1$  และค่าคงที่  $h, m, n, r$



ภาพที่ 4.2.47 รูปประกอบบทพิสูจน์กระบวนการ 4.2.1 กรณีที่ 2.6 รูปที่ 2

สร้างเส้นนานด้านร่วมผ่านจุด  $R$  ตัด  $\overline{MO}$  หรือส่วนต่อที่  $X$  จาก  $S, T, V$   
ลากเส้นตรงมาตั้งฉากกับเส้นนานดังกล่าวที่  $S_2, T_2, V_2$

สังเกตว่า  $h = h_1 + SS_2 = h_3 + VV_2$

และ  $\Delta RSS_2 \sim \Delta PSS_1$  และ  $\Delta RSX \sim \Delta PSM$  ในทำนองเดียวกับกรณีที่ 2.1  
ได้ว่า

$$XR = m(h - h_1)$$

จากตรีgonมิติ ได้ว่า  $MQ = MV_1 + V_1Q = \cot \theta_1 h_3 + \cot \theta_2 h_3 = r h_3$

สังเกตว่า  $\Delta RXV \sim \Delta MQV$  ในทำนองเดียวกับกรณีที่ 2.1 ได้ว่า

$$h = h_3 + \frac{XR}{r}$$

ด้วยวิธีการเดียวกับกรณีที่ 2.1 จะได้ว่า

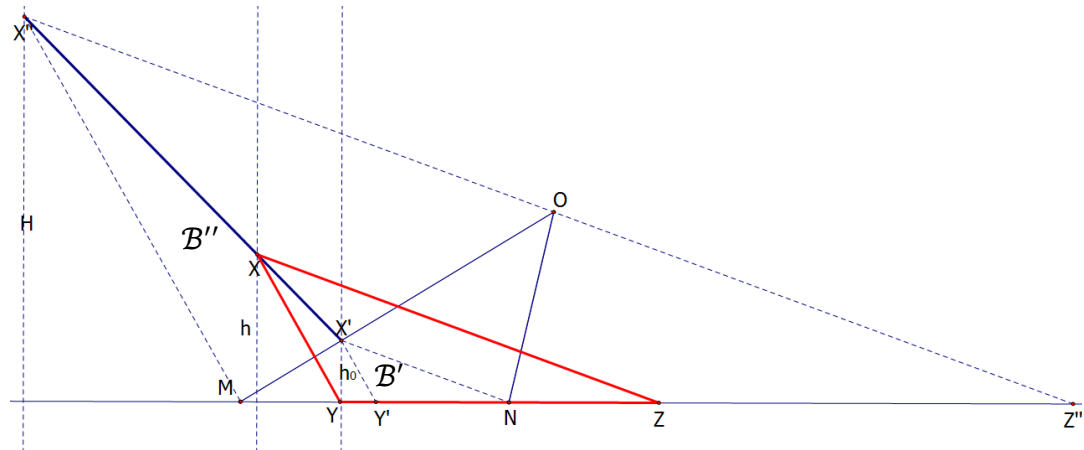
จะได้ว่า  $h_1 = \frac{mnh - rp - nrh}{mn - rm - nr}$  เป็นตัวแหน่งที่ทำให้พื้นที่  $k$  มีค่าสูงสุด นั่นคือพื้นที่ซ้อนทับกันมากที่สุด

$$\text{เมื่อ } m = \cot \theta_1 - \cot \alpha_1, n = \cot \theta_2 - \cot \alpha_2, r = \cot \theta_1 + \cot \theta_2$$

$$\text{และ } p = MN - PQ$$

ต่อไปจะแสดงว่า คำแทนงดังกล่าว เป็นคำแทนงเดียวกับ สามเหลี่ยม  $C$

## สร้างรูปตามกระบวนการ 1 ดังภาพ



ภาพที่ 4.2.48 รูปประกอบพิสูจน์กระบวนการ 4.2.1 กรณีที่ 2.6 รูปที่ 3

โดยให้  $B'$  มีความสูงที่ตั้งฉากกับด้านร่วมเป็น  $h_0$

และ  $B$  " มีความสูงที่ตั้งจากกับด้านร่วมเป็น  $H$

และ  $A$  มีความสูงที่ตั้งจากกับด้านร่วมเป็น  $H'$

จะได้ว่า  $p_B = MN - YZ$

$$= H' \left( \cot \theta_1 - \cot(180^\circ - \alpha_2) \right) - h \left( -\cot(180^\circ - \alpha_1) + \cot \theta_2 \right)$$

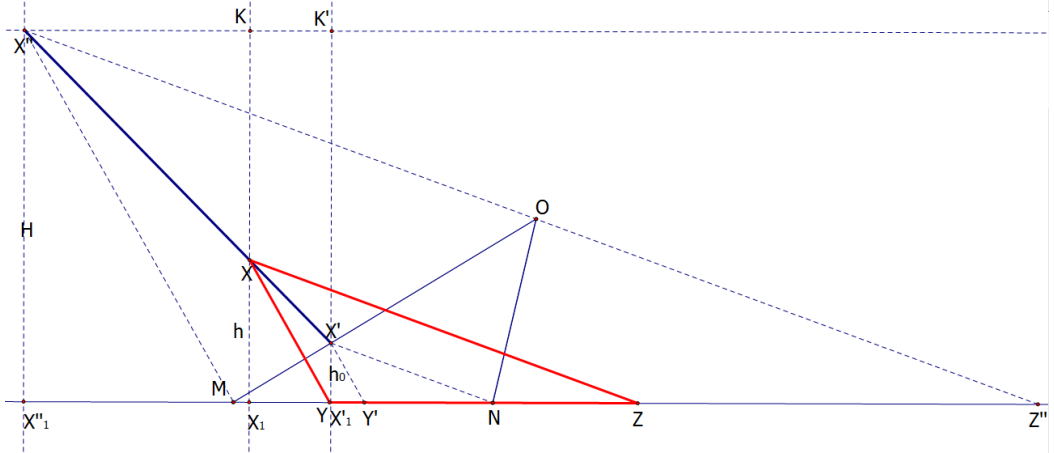
$$= H' (r - n) - h(r - m)$$

ในทำนองเดียวกับกรณีที่ 2.1 ได้ว่า  $B''$  กับ  $B'$  สอดคล้องกับตำแหน่งที่ทางตัน

ให้  $d_{1_r}$  แทนระยะตั้งฉากจากจุดตัด  $\overline{XY}$  กับ  $\overline{MO}$  ไปยังด้านร่วม

จะแสดงว่า  $d_{l_2} = h_{l_2}$

ขั้นแรกจะแสดงว่า  $d_{l_B} = \frac{h_0(H-h)}{H-h_0}$



ภาพที่ 4.2.49 รูปประกอบบทพิสูจน์กระบวนการ 4.2.1 กรณีที่ 2.6 รูปที่ 4

จาก  $X, X'$  และ  $X''$  ลักษณะเด่นตรงมาตั้งจากกับเส้นขนานดังกล่าว ที่  $X_1, X'_1$  และ  $X''_1$  ตามลำดับ

สังเกตว่า

$$\begin{aligned}
 md_{I_B} &= MY = MX_1' + YX_1 - X_1X_1' \\
 &= h_0 \cot \theta_1 + h \cot(180^\circ - \alpha_1) - X_1X_1' \\
 &= h_0 \cot \theta_1 - h \cot \alpha_1 - X_1X_1'
 \end{aligned}$$

ສັງເກຕວ່າ

$$\begin{aligned} X''_1 X'_1 &= M X'_1 + M X''_1 = h_0 \cot \theta_1 + H \cot(180^\circ - \alpha_1) \\ &= h_0 \cot \theta_1 - H \cot \alpha_1 \end{aligned}$$

จะหา  $X_1 X_1'$  โดยลากเส้นขนานด้านร่วมผ่าน  $X$ " ดังภาพ

จาก  $X$  และ  $X'$  ลากเส้นตรงมาตั้งฉากกับเส้นขนาดดังกล่าว ที่  $K, K'$   
ตามลำดับ

สังเกตว่า  $X_1 X_1' = K K'$

ในทำนองเดียวกับกรณีที่ 2.1 ได้ว่า  $d_{1_B} = \frac{h_0(H-h)}{H-h_0}$  และได้ว่า  $d_{1_B} = h_{1_B}$

นั่นคือสามเหลี่ยมที่สร้างตามกระบวนการนั้นเป็นตำแหน่งที่ทำให้มีพื้นที่ซ้อนทับกันมากที่สุด

□

จากระบวนการข้างต้นจะสามารถหาตำแหน่งที่ทำให้สามเหลี่ยมสองรูปมีพื้นที่ซ้อนทับกันมากที่สุด เมื่อมีด้านที่กำหนดให้ร่วมกันได้เมื่อรู้คุณสมบัติของสามเหลี่ยมทั้งสองรูป โดยหากพิจารณาคู่ด้านทุกคู่ก็จะสามารถหาตำแหน่งที่ทำให้มีพื้นที่ซ้อนทับกันมากที่สุดของสามเหลี่ยมสองรูปเมื่อมีด้านร่วมกันด้านหนึ่งได้

#### บทแทรก 4.2.1

สามเหลี่ยม  $MNO$  และ  $PQR$  แทนด้วย  $A$  และ  $B$  ตามลำดับเป็นสามเหลี่ยมใดๆซึ่งซ้อนทับกันไม่สนิทและมีด้านร่วมกัน 1 ด้าน โดยที่ด้าน  $\overline{MN}$  เป็นด้านร่วมกับ  $\overline{PQ}$  และ  $M$  อยู่ใกล้  $P$  มากกว่า  $N$  และให้สามเหลี่ยม  $M'N'O'$  ~  $MNO$  แทนด้วย  $C$  จะได้ว่า

- ตำแหน่งของจุดยอดที่ไม่อยู่บนด้านร่วมที่ทำให้  $A$  และ  $B$  มีพื้นที่ซ้อนทับกันมากที่สุดเมื่อมีด้าน  $\overline{MN}$  เป็นด้านร่วมกับ  $\overline{PQ}$
- ตำแหน่งของจุดยอดที่ไม่อยู่บนด้านร่วมที่ทำให้  $C$  และ  $B$  มีพื้นที่ซ้อนทับกันมากที่สุดเมื่อมีด้าน  $\overline{M'N'}$  เป็นด้านร่วมกับ  $\overline{PQ}$
- จุดยอดที่ไม่อยู่บนด้านร่วมของสามเหลี่ยม  $A'$
- จุดยอดที่ไม่อยู่บนด้านร่วมของสามเหลี่ยม  $A''$

อยู่บนเส้นตรงเดียวกัน

บทพิสูจน์ บทตั้งที่ 4.2.2 และ 4.2.3 สังเกตได้ว่าสามเหลี่ยม  $C'$  เป็นรูปเดียวกับ  $A'$  และสามเหลี่ยม  $C'$  เป็นรูปเดียวกับ  $A''$  ดังนั้นเส้นตรงที่เชื่อมจุดยอดตามกระบวนการ 4.2.1 ของทั้ง  $A'$  และ  $C'$  จึงเป็นเส้นเดียวกัน เนื่องจากตำแหน่งของจุดยอดที่ไม่อยู่บนด้านร่วมที่ทำให้  $A'$  และ  $B$  มีพื้นที่ซ้อนทับกันมากที่สุดเมื่อมีด้าน  $\overline{MN}$  เป็นด้านร่วมกับ  $\overline{PQ}$  และ ตำแหน่งของจุดยอดที่ไม่อยู่บนด้านร่วมที่ทำให้  $C'$  และพื้นที่ซ้อนทับกันมากที่สุดเมื่อมีด้าน  $\overline{M'N'}$  เป็นด้านร่วมกับ  $\overline{PQ}$  อยู่บนเส้นตรงดังกล่าวทั้งคู่จึงได้ว่าบทแทรกนี้เป็นจริง □

#### บทแทรก 4.2.2

สามเหลี่ยม  $MNO$  และ  $PQR$  แทนด้วย  $A$  และ  $B$  ตามลำดับเป็นสามเหลี่ยมใดๆซึ่งซ้อนทับกันไม่สนิทและมีด้านร่วมกัน 1 ด้าน โดยที่ด้าน  $\overline{MN}$  โดยที่ด้าน  $\overline{MN}$  เป็นด้านร่วมกับ  $\overline{PQ}$  และ  $M$  อยู่ใกล้  $P$  มากกว่า  $N$  ได้ว่าทุกจุดบนเส้นตรงที่สร้างตามกระบวนการที่ 2.1 จะเป็นจุดยอดของสามเหลี่ยมที่คล้ายกับ  $A$  และมีพื้นที่ซ้อนทับกับ  $B$  เมื่อมีด้านที่กำหนดร่วมกันมากที่สุด

บทพิสูจน์ ให้สามเหลี่ยม  $M'N'O' \sim MNO$  แทนด้วย  $C$

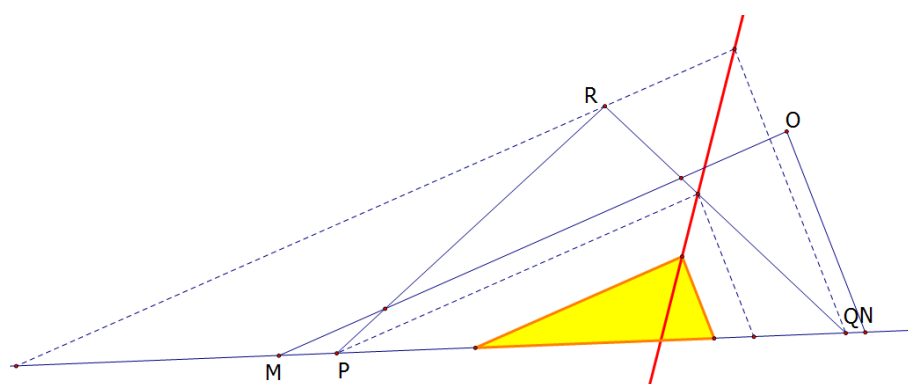
จากบทแทรกรที่ 2.1 สังเกตว่าบทแทรกรนี้เป็นจริงเมื่อ  $C$  กับ  $B$  ซ้อนทับกันไม่สนิท ดังนั้นพิจารณาในกรณีที่  $C$  กับ  $B$  ซ้อนทับกันสนิท

ในกรณีที่  $C$  ถูก  $B$  ซ้อนทับได้สนิท จะได้ว่า  $C$  เล็กกว่า  $A'$  พิจารณาจุด  $W$  บนเส้นตรงดังกล่าว ซึ่งมีระยะห่างถึงด้านร่วมเท่ากับส่วนสูงจากจุด  $M'$  ของ  $C$  จะได้ว่า  $W$  อยู่ในรูป  $A'$

จาก  $W$  ลากเส้นตรงนาน  $\overline{MO}$  และ  $\overline{NO}$  ตัดด้านร่วมที่  $H$  และ  $G$  ตามลำดับ จะได้ว่า

$HGW \cong M'N'O'$  เป็นสามเหลี่ยมที่อยู่ใน  $A'$  ซึ่งอยู่ใน  $B$  และมีจุดยอดอยู่บนเส้นตรงจาก

กระบวนการ 2.1



ภาพที่ 4.2.50 รูปประกอบบทพิสูจน์บทแทรกรที่ 4.2.2

ด้วยวิธีคล้ายๆ กันจะสามารถพิสูจน์สำหรับกรณีที่  $B$  ถูก  $C$  ซ้อนทับได้สนิทได้เช่นกัน

□

## บทที่ 5

### สรุปและวิจารณ์ผลการทดลอง

จากการแบ่งกรณีที่เป็นไปได้ทั้งหมดในการจัดเรียงรูปสามเหลี่ยมสองรูปให้ซ้อนทับกัน พบว่า เกือบทุกกรณีจะมีวิธีการเลื่อนขานหรือหมุนรูปสามเหลี่ยมเพื่อเพิ่มพื้นที่ซ้อนทับ มีเพียงบางกรณีที่ยังไม่สามารถหาได้โดย จะแบ่งออกได้เป็น 2 ลักษณะ ดังนี้

1. สามเหลี่ยมทั้งสองรูปมีด้านหนึ่งด้านที่อยู่บนเส้นตรงเดียวกัน
2. สามเหลี่ยมสองรูปเรียงตัวกันเป็นรูปดาว (Star-shaped) และกรณีอื่นๆ บางส่วน

ซึ่งสำหรับกรณีที่ 1 นั้นสามารถหากระบวนการในการหาตำแหน่งที่ทำให้เกิดพื้นที่ซ้อนทับมากที่สุด เมื่อมีด้านที่กำหนดให้ร่วมกันได้ ตั้งแสดงในกระบวนการที่ 4.2.1 นั่นคือ

#### กระบวนการ 4.2.1

ให้รูป  $MNO$  และ  $PQR$  แทนด้วย  $\mathcal{A}$  และ  $\mathcal{B}$  ตามลำดับเป็นสามเหลี่ยมใดๆ ซึ่งซ้อนทับกันไม่สนิทและมีด้านร่วมกัน 1 ด้าน โดยที่ด้าน  $\overline{MN}$  เป็นด้านร่วมกับ  $\overline{PQ}$  และ  $M$  อยู่ใกล้  $P$  มากกว่า  $N$  โดยมีเงื่อนไขดังนี้

- ถ้า  $O\hat{M}N = R\hat{P}Q$  และ  $O\hat{N}M \neq R\hat{Q}P$
- ถ้า  $O\hat{N}M = R\hat{Q}P$  และ  $O\hat{M}N \neq R\hat{P}Q$

จะมีกระบวนการหาตำแหน่งที่ทำให้เกิดพื้นที่ซ้อนทับมากที่สุดดังนี้

1. สร้างสามเหลี่ยม  $\mathcal{A}'$  และ  $\mathcal{A}''$
2. ลากเส้นเชื่อมจุดยอดของ  $\mathcal{A}'$  และ  $\mathcal{A}''$  ที่ไม่ได้อยู่บนแนวเส้นตรงเดียวกันกับด้านร่วมของสามเหลี่ยม  $\mathcal{A}$  และ  $\mathcal{B}$
3. สร้างเส้นขานด้านร่วมผ่านจุดยอดที่ไม่ได้อยู่บนด้านร่วมของ  $\mathcal{A}$  ตัดกับส่วนเส้นตรงในข้อ 2 ที่จุด  $X$
4. จากจุด  $X$  ลากเส้นขานกับด้านของสามเหลี่ยม  $\mathcal{A}$  ตัดด้านร่วมที่  $Y$  และ  $Z$
5. จากบทสร้างทางเรขาคณิตจะเกิดรูป  $XYZ$  เรียกว่าสามเหลี่ยม  $\mathcal{C}$  ซึ่งเท่ากันทุกประการกับสามเหลี่ยม  $\mathcal{A}$
6. จะได้ว่าตำแหน่งของสามเหลี่ยม  $\mathcal{C}$  จะมีพื้นที่ซ้อนทับกับ  $\mathcal{B}$  มากที่สุดเมื่อมีด้าน  $\overline{MN}$  เป็นด้านร่วมกับ  $\overline{PQ}$

## ปัญหาปลายเปิด

จากระบวนการที่ 4.2.1 สังเกตว่าทำແນ่งที่มีพื้นที่ช้อนทับมากที่สุดของสามเหลี่ยมสองรูป  $A$  และ  $B$  ที่มีด้านที่กำหนดให้ร่วมกัน มีความสัมพันธ์กับ  $A'$  รูปสามเหลี่ยมที่ใหญ่ที่สุดที่แนบใน  $B$  โดยมีด้านที่กำหนดร่วมกัน กับ  $A''$  รูปสามเหลี่ยมที่เล็กที่สุดที่  $B$  แนบในได้โดยมีด้านที่กำหนดร่วมกัน ซึ่งสามเหลี่ยมทั้งสองทำให้เกิดการซ้อนทับพอตื่นนี้คือพื้นที่ช้อนทับมากสุดเข่นกัน ดังนั้นหากลองขยายทฤษฎีนี้ให้กว้างขึ้น

**ปัญหาที่ 1** เป็นไปได้หรือไม่ที่ทำແນ่งที่มีพื้นที่ช้อนทับมากที่สุดของสามเหลี่ยมสองรูป  $A$  และ  $B$  จะมีความลับพันธ์กับรูปสามเหลี่ยมที่ใหญ่ที่สุดที่แนบใน  $B$  กับ รูปสามเหลี่ยมที่เล็กที่สุดที่  $B$  แนบในได้

**ปัญหาที่ 2** สำหรับกรณีที่เป็นรูปดาวจะมีกระบวนการสำหรับการทำແນ่งที่ทำให้เกิดพื้นที่ช้อนทับสูงสุดหรือไม่ และพื้นที่ที่ได้จะมากกว่าหรือน้อยกว่ากรณีที่มีด้านร่วมกัน

ซึ่งสำหรับปัญหาข้อนี้คณิสุศึกษาได้ตั้งข้อคาดเดาเอาไว้ว่าพื้นที่ช้อนทับที่มากที่สุดจะเกิดขึ้นเมื่อมีด้านร่วมกัน

**ปัญหาที่ 3** จะมีวิธีการสำหรับรูปสามเหลี่ยมที่มากกว่า 2 รูปหรือไม่

**ปัญหาที่ 4** จะมีวิธีการสำหรับรูปหลายเหลี่ยมอีกหรือไม่

## บรรณานุกรม

- [1] Eric Plante. The Algorithm of convex polygons translation. Detecting Whether Two Convex Polygons Overlap. Retrieved 6 September, 2014 from <http://www.iro.umontreal.ca/~plante/>
- [2] Fletcher. Detecting Whether Two Convex Polygons Overlap. Retrieved 7 October, 2014 from <http://gammemath.com/2011/09/detecting-whether-two-convex-polygons-overlap/>
- [3] Hee-Kap Ahn, Peter Brassb, Chan-Su Shin. Maximum overlap and minimum convex hull of two convex polyhedral under translations. *Computational Geometry*, 40, Issue 2: 2008, 171–177.
- [4] Mark de Berg, Olivier Devillers, Marc van Kreveld, Otfried Schwarzkopf, Monique Teillaud. Computing the Maximum Overlap of Two Convex Polygons Under Translations, *Lecture Notes in Computer Science*, 1178: 1996, 126-135.
- [5] Zi-qiang Li, Yan He, Zhuo-jun Tian. Overlapping Area Computation between Irregular Polygons for Its Evolutionary Layout Based on Convex Decomposition, *Journal of Software*, 7, No 2: 2012, 485-492.
- [6] ดำรง ทิพย์โยรา. (2551). คณิตศาสตร์ปัณฑ์ เล่มที่ 32 : โลกรेखาคณิต(พิมพ์ครั้งที่ 1). กรุงเทพฯ : โรงพิมพ์แห่งจุฬาลงกรณ์มหาวิทยาลัย. 480 หน้า.

## ประวัติผู้วิจัย

นายภูมิ เลิศภิญโญวงศ์ เกิดวันที่ 5 ธันวาคม พ.ศ. 2540 ที่เขต ตลิ่งชัน จังหวัดกรุงเทพมหานคร สำเร็จการศึกษาระดับประถมศึกษาจากโรงเรียนราชวินิต กรุงเทพมหานคร ในปีการศึกษา 2552 ระดับ มัธยมศึกษาตอนต้นจากโรงเรียนสวนกุหลาบวิทยาลัย กรุงเทพมหานคร ในปีการศึกษา 2555 และปัจจุบัน ศึกษาอยู่ในระดับมัธยมศึกษาตอนปลาย โรงเรียนมหิดลวิทยานุสรณ์

นายกฤตเมธ เลี้ງรักษา เกิดวันที่ 5 มิถุนายน พ.ศ. 2541 ที่อำเภอกระทุ่มแบน จังหวัดสมุทรสาคร สำเร็จการศึกษาระดับประถมศึกษาจากโรงเรียนกรุงเทพคริสเตียนวิทยาลัย กรุงเทพมหานคร ในปีการศึกษา 2552 ระดับมัธยมศึกษาตอนต้นจากโรงเรียนสวนกุหลาบวิทยาลัย กรุงเทพมหานคร ในปีการศึกษา 2555 และปัจจุบันศึกษาอยู่ในระดับมัธยมศึกษาตอนปลาย โรงเรียนมหิดลวิทยานุสรณ์

นางสาว นวพรรณ วัฒนาวนิชกุล เกิดวันที่ 27 เมษายน พ.ศ. 2541 ที่อำเภอเมือง จังหวัด อุบลราชธานี สำเร็จการศึกษาระดับประถมศึกษาจากโรงเรียนอนุบาลอุบลราชธานี อุบลราชธานี ในปี การศึกษา 2552 ระดับมัธยมศึกษาตอนต้นจากโรงเรียนเบญจมบพิตรราชวิทยาลัย อุบลราชธานี ในปีการศึกษา 2555 และปัจจุบันศึกษาอยู่ในระดับมัธยมศึกษาตอนปลาย โรงเรียนมหิดลวิทยานุสรณ์